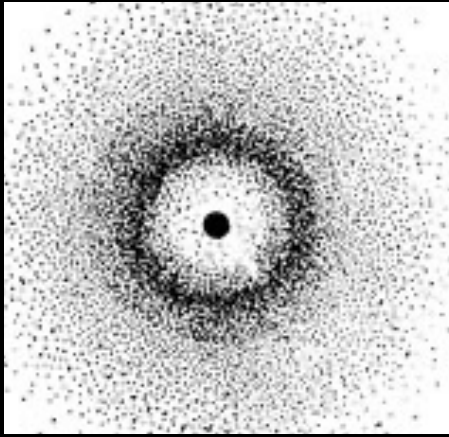
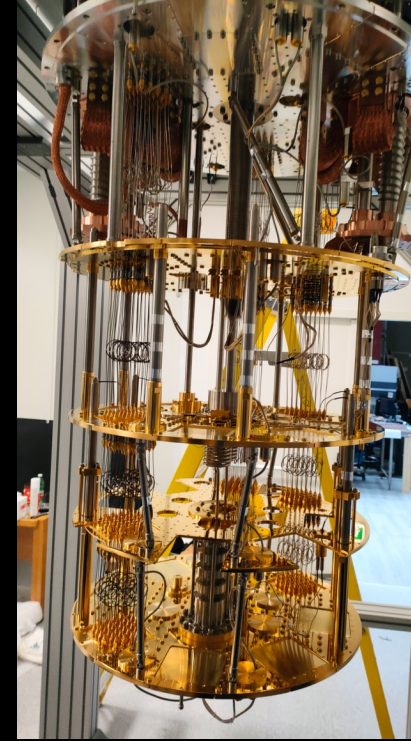
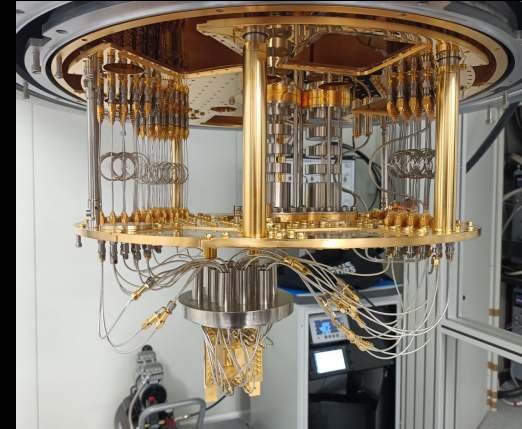
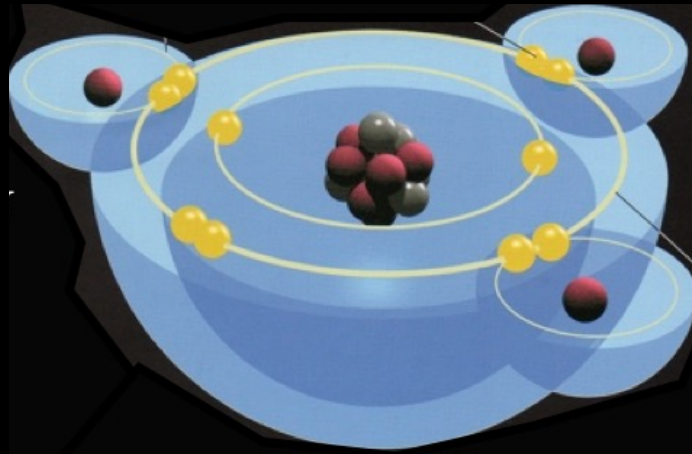


Incerto, quantistico e infine reale



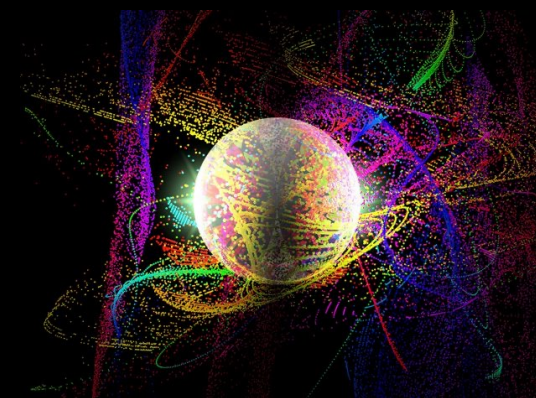
$$-\frac{\hbar^2}{2m}\nabla^2\psi(\vec{r},t) - \frac{e^2}{r}\psi(\vec{r},t) = E\psi(\vec{r},t)$$



**Le risorse
dell'incertezza**
Napoli 2-6 Settembre 2024
SETTIMANA DI ORIENTAMENTO DELLA SCUOLA SUPERIORE MERIDIONALE

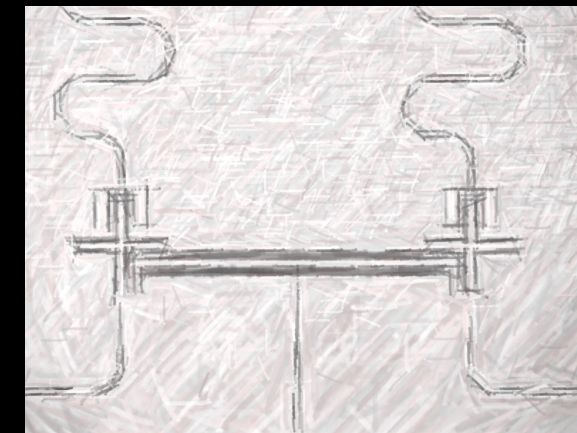
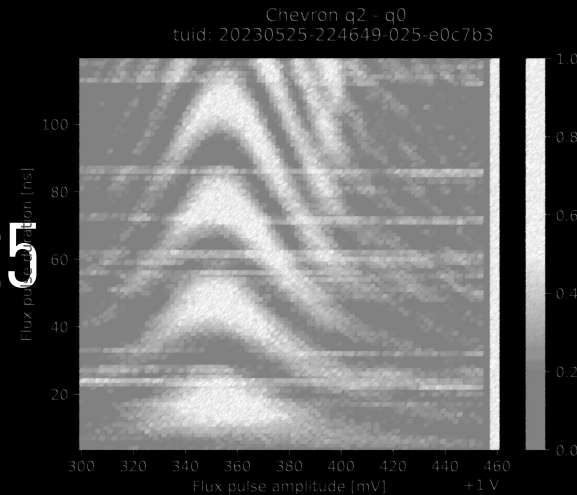
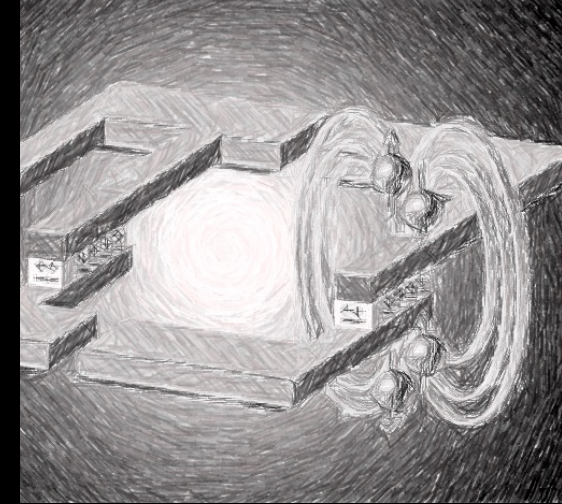
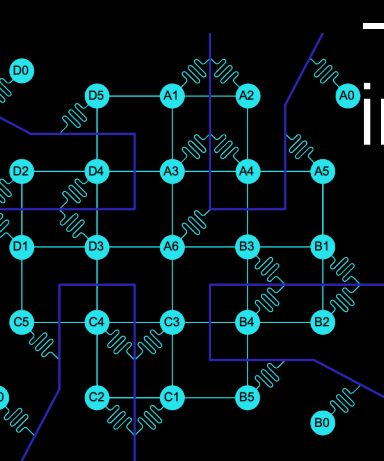
SSM
Scuola Superiore Meridionale

Francesco Tafuri
Università di Napoli Federico II



Sommario

- Pillole di fisica classica
- Concetti di meccanica quantistica
- Gli oggetti macroscopici e la meccanica quantistica, la superconduttività e Harry Potter
- Computer quantistico superconduttivo 25 → 40 qubits, «intreccio» fra fisica ed informazione
- Come funziona un computer quantistico: incerto, complesso, quantistico, reale
- Epilogo,



"Potenza e stranezza del mondo quantistico" di Serge Haroche, Premio Nobel per la Fisica 2012

La teoria quantistica è probabilmente il più potente risultato della mente umana. Getta luce sulle leggi della natura, da quelle che spiegano il mondo microscopico a quelle che governano l'evoluzione dell'Universo nel suo complesso.

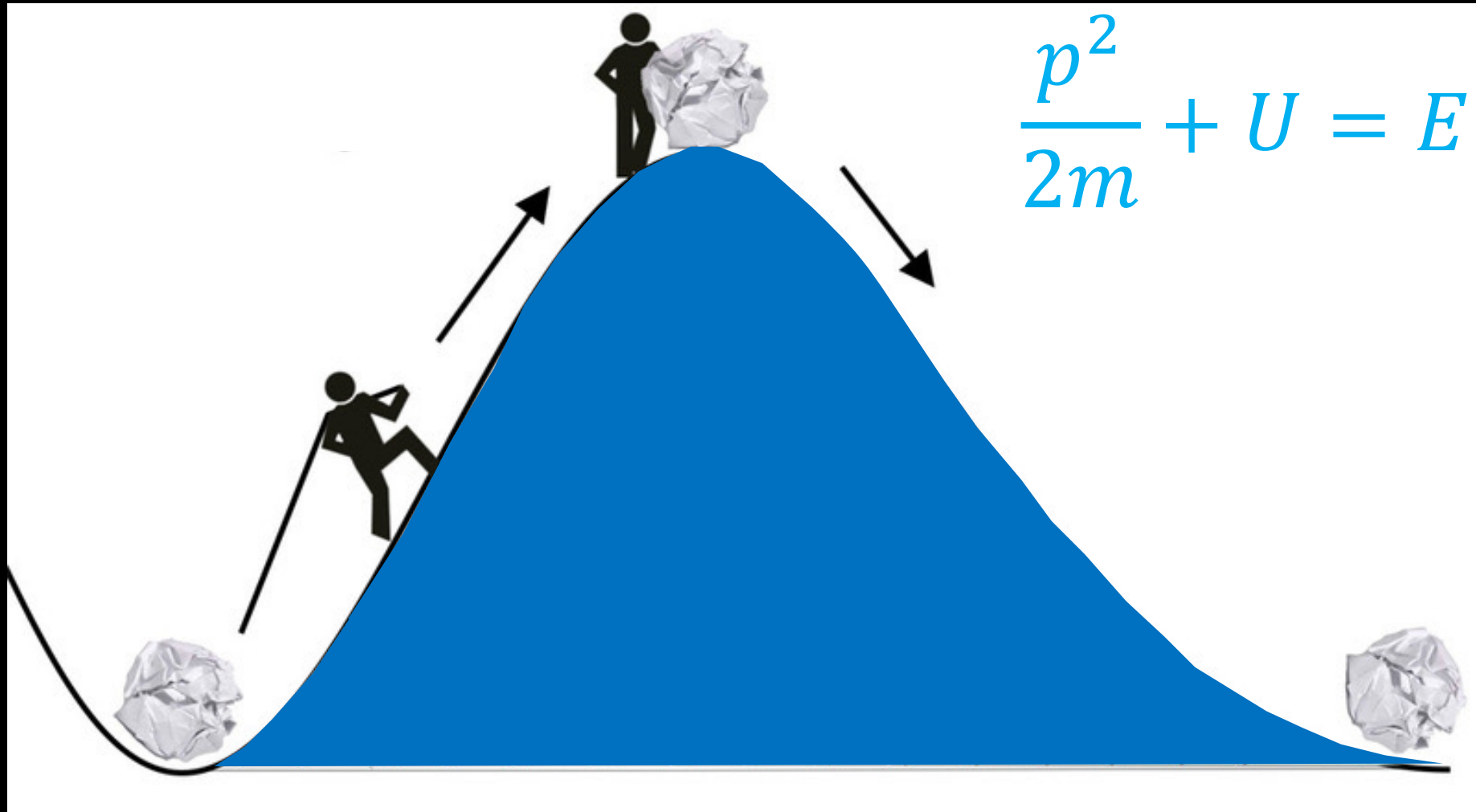
La fisica quantistica sembra strana perché le sue leggi sono contro la nostra visione intuitiva della realtà derivante dalla nostra visione macroscopica del mondo classico.

I progressi della tecnologia hanno resi reali gli esperimenti che prevedono la manipolazione di sistemi quantistici aprendo quindi la strada per il controllo delle stranezze quantistiche.



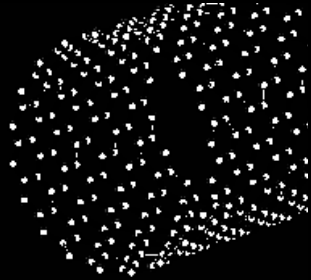
Come attraversare una barriera-considerazioni energetiche

Esempi di stranezze quantistiche: effetto tunnel per un elettrone

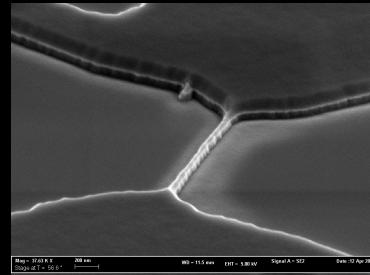


Scale spaziali

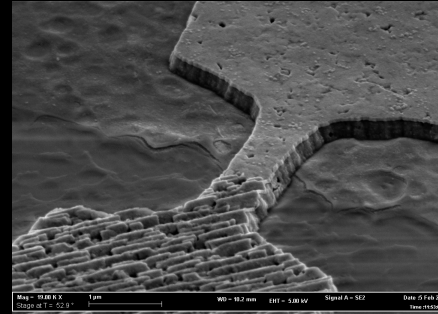
Nanotubo



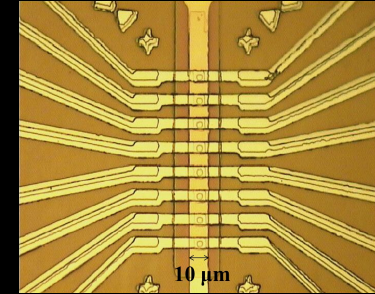
Risoluzione litografica minima



2003 Si transistor (0.13 μm)



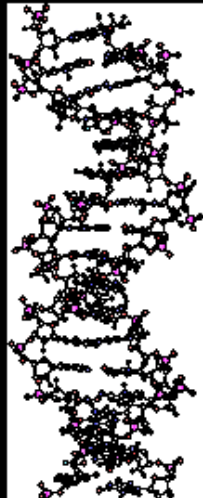
1970 Si transistor (10 μm)



Atomo



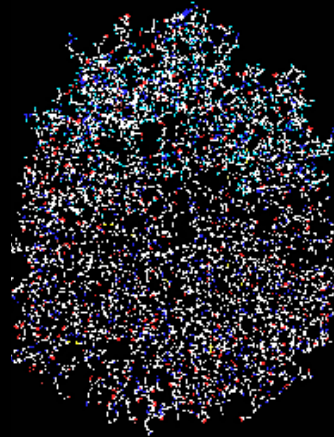
1 Å



DNA

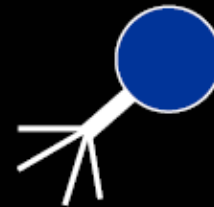
1 nm

Protein



100 nm

Virus



1 μm

Cell



10 μm

Why quantum computers?

Richard Feynman (1982): Nature isn't classical, and if you want to make a simulation of nature, you'd better make it quantum mechanical, and it's a wonderful problem, because it doesn't look so easy!

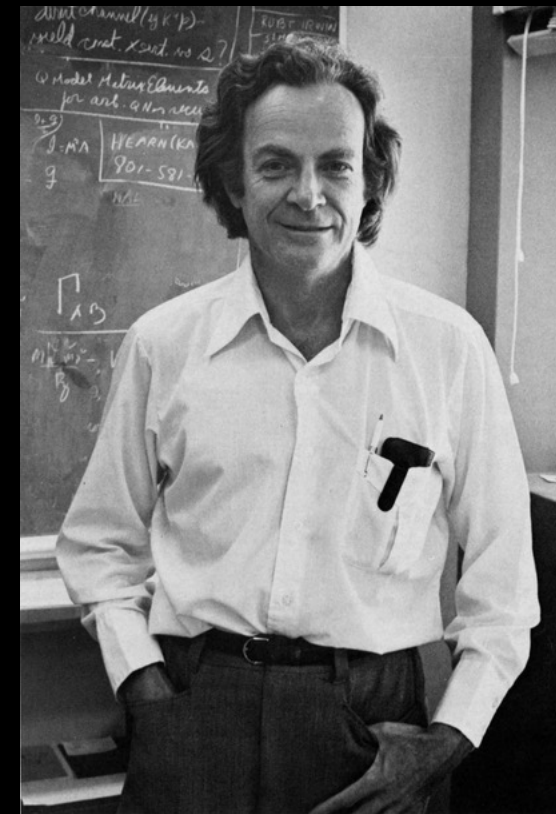
Simulating Physics with Computers

Richard P. Feynman

Department of Physics, California Institute of Technology, Pasadena, California 91107

Received May 7, 1981

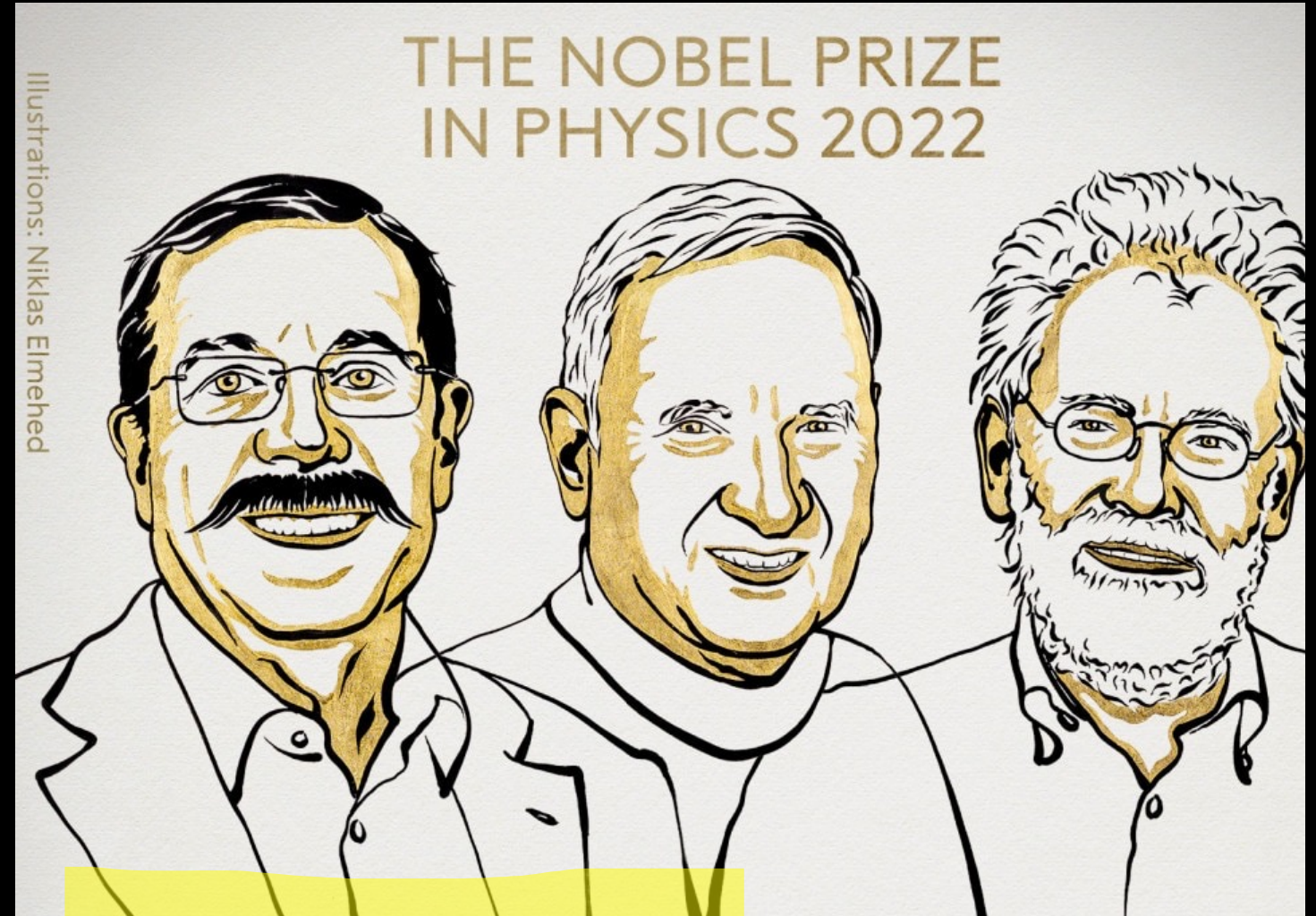
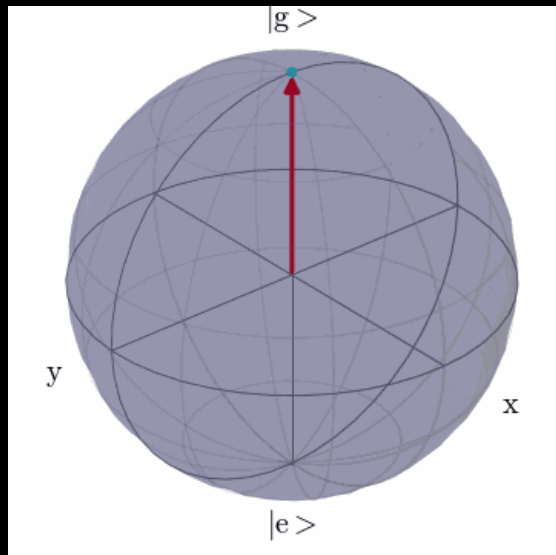
Now, what kind of physics are we going to imitate? First, I am going to describe the possibility of simulating physics in the classical approximation, a thing which is usually described by local differential equations. But the physical world is quantum mechanical, and therefore the proper problem is the simulation of quantum physics—which is what I really want to talk about, but I'll come to that later. So what kind of simulation do I mean? There is, of course, a kind of approximate simulation in which you design numerical algorithms for differential equations, and then use the computer to compute these algorithms and get an approximate view of what physics ought to do. That's an interesting subject, but is not what I want to talk about. I want to talk about the possibility that there is to be an *exact* simulation, that the computer will do *exactly* the same as nature. If this is to be proved and the type of computer is as I've already explained, then it's



Premio Nobel per la fisica nel 1965 per l'elaborazione dell'elettrodinamica quantistica. Feynman viene considerato un pioniere del campo del computer quantistico e gli è attribuita l'introduzione del concetto della nanotecnologia.

Il Nobel per la Fisica 2022 agli studi sui fenomeni quantistici

Alain Aspect, John F. Clauser e Anton Zeilinger hanno vinto il Nobel per la Fisica 2022 per i loro studi nella scienza dell'informazione quantistica.



Article

Quantum supremacy using a programmable superconducting processor

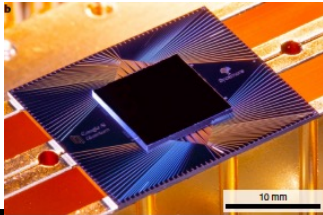
Nature | Vol 574 | 24 OCTOBER 2019 | 505

<https://doi.org/10.1038/s41586-019-1666-5>

Received: 22 July 2019

Accepted: 20 September 2019

Published online: 23 October 2019



Frank Arute¹, Kunal Arya¹, Ryan Babbush¹, Dave Bacon¹, Joseph C. Bardin^{1,2}, Rami Barends¹, Rupak Biswas³, Sergio Boixo¹, Fernando G. S. L. Brandao^{1,4}, David A. Buell¹, Brian Burkett¹, Yu Chen¹, Zijun Chen¹, Ben Chiaro⁵, Roberto Collins¹, William Courtney¹, Andrew Dunsworth¹, Edward Farhi⁶, Brooks Foxen^{1,5}, Austin Fowler¹, Craig Gidney¹, Marissa Giustina¹, Rob Graff¹, Keith Guerin¹, Steve Habegger¹, Matthew P. Harrigan¹, Michael J. Hartmann^{1,6}, Alan Ho¹, Markus Hoffmann¹, Trent Huang¹, Travis S. Humble⁷, Sergei V. Isakov¹, Evan Jeffrey¹, Zhang Jiang¹, Dvir Kafri¹, Kostyantyn Kechedzhi¹, Julian Kelly¹, Paul V. Klimov¹, Sergey Knys¹, Alexander Korotkov^{1,5}, Fedor Kostritsa¹, David Landhuis¹, Mike Lindmark¹, Erik Lucero¹, Dmitry Lyakh⁹, Salvatore Mandrà^{3,10}, Jarrod R. McClean¹, Matthew McEwen², Anthony Megrant¹, Xiao Mi¹, Kristel Michielsen^{1,12}, Masoud Mohseni¹, Josh Mutus¹, Ofer Naaman¹, Matthew Neeley¹, Charles Neill¹, Murphy Yuezhen Niu¹, Eric Ostby¹, Andre Petukhov¹, John C. Platt¹, Chris Quintana¹, Eleanor G. Rieffel¹, Pedram Roushan¹, Nicholas C. Rubin¹, Daniel Sank¹, Kevin J. Satzinger¹, Vadim Smelyanskiy¹, Kevin J. Sung^{1,13}, Matthew D. Trevithick¹, Amit Vainsencher¹, Benjamin Villalonga^{1,14}, Theodore White¹, Z. Jamie Yao¹, Ping Yeh¹, Adam Zalcman¹, Hartmut Neven¹ & John M. Martinis^{1,15*}

Expert insight into current research

News & views

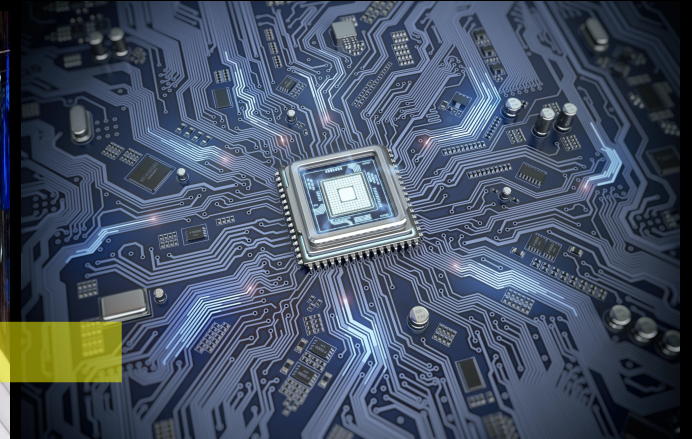
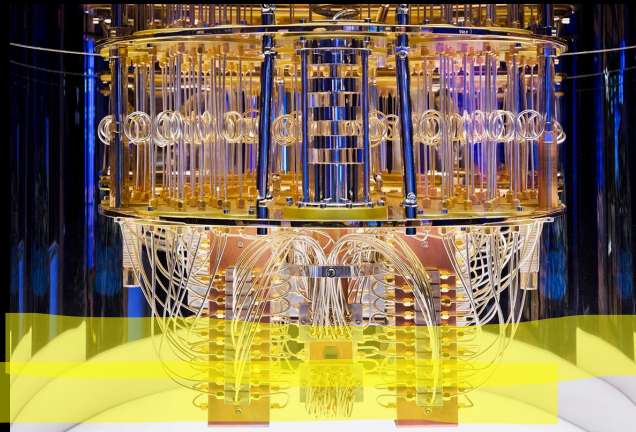
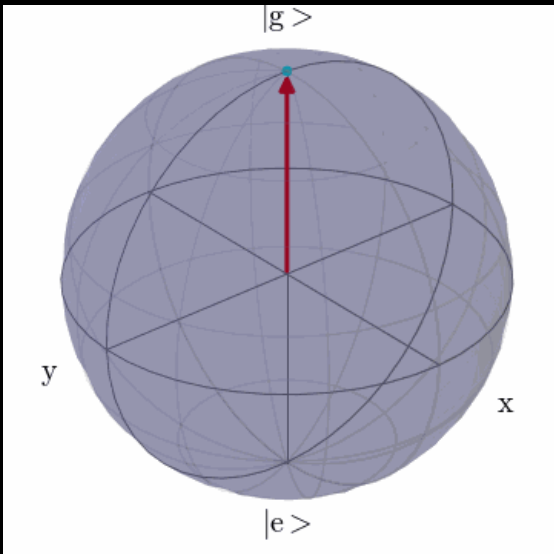
Quantum information

Quantum computing takes flight

William D. Oliver

A programmable quantum computer has been reported to outperform the most powerful conventional computers in a specific task – a milestone in computing comparable in importance to the Wright brothers' first flights. See p.505

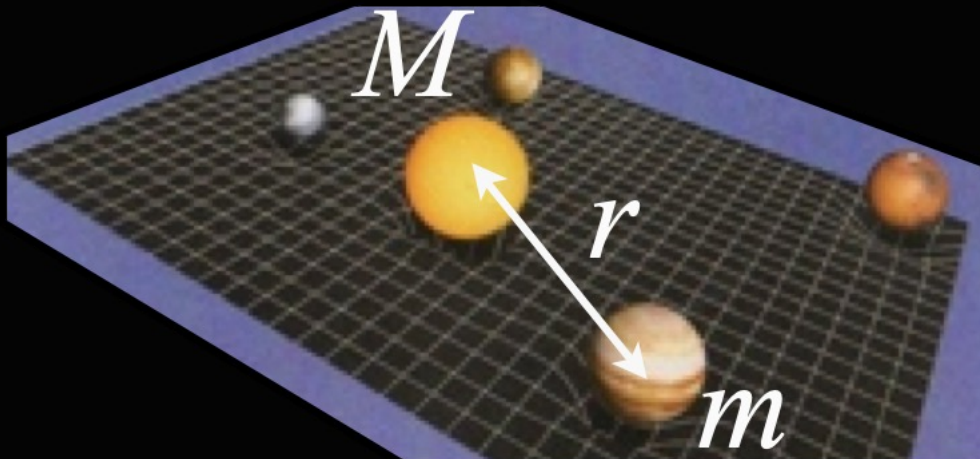
200 secondi invece di 10⁴ anni !!!!!!!!!!!!!



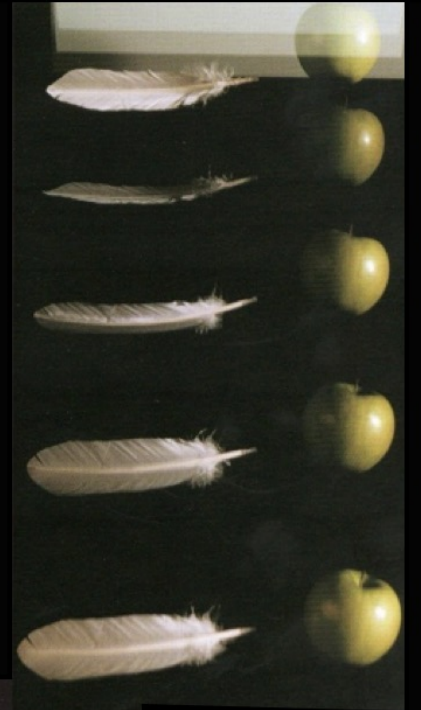
Pillole di meccanica classica



$$\vec{F} = -\frac{GMm}{r^2} \hat{r}$$



$$\vec{F} = m\vec{a}$$



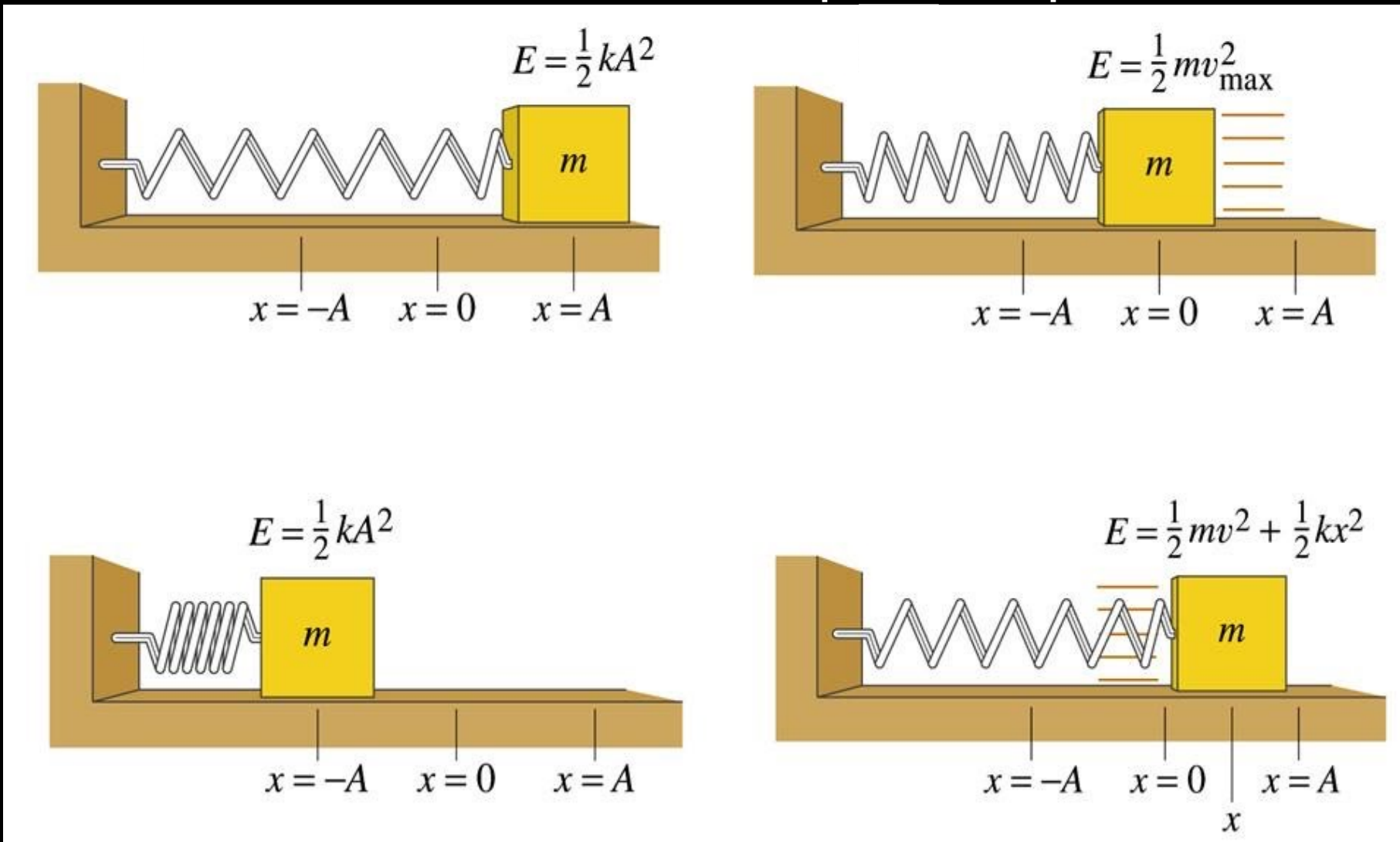
Oscillatore armonico ...per esempio

$$m \frac{d^2 x}{dt^2} = -kx$$

$$\frac{d^2 x}{dt^2} + \omega^2 x = 0$$

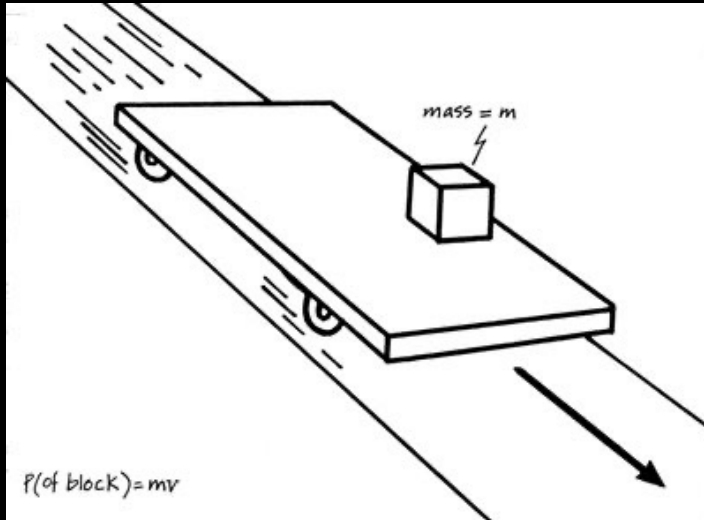
$$\omega^2 = \frac{k}{m}$$

$$x(t) = A \cos(\omega t + \phi)$$



Traduciamo tutto in energia incluso gli urti e usiamo leggi di conservazione dove possibile

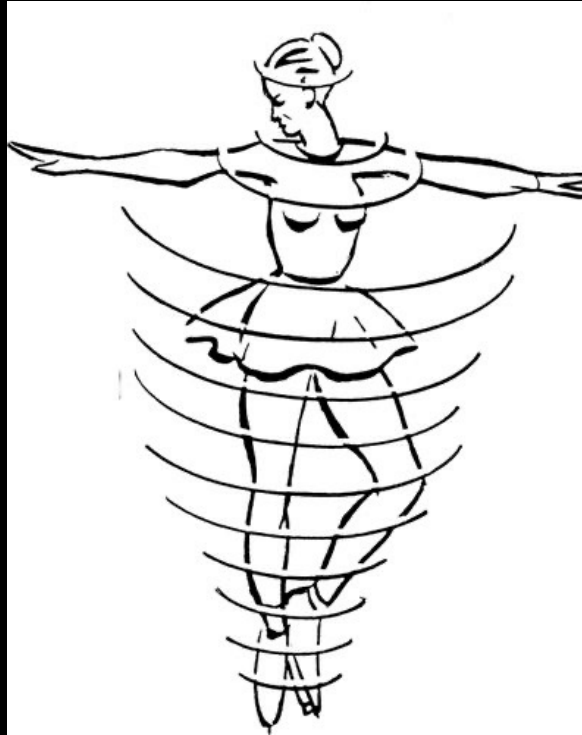
quantità moto



$$\vec{p} = m \vec{v} = \text{costante}$$

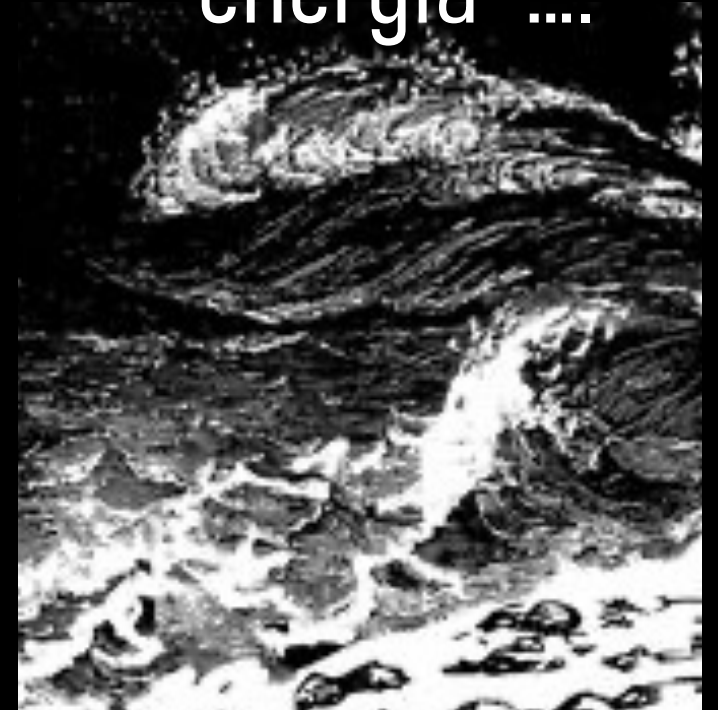
per esempio forze centrali

momento angolare



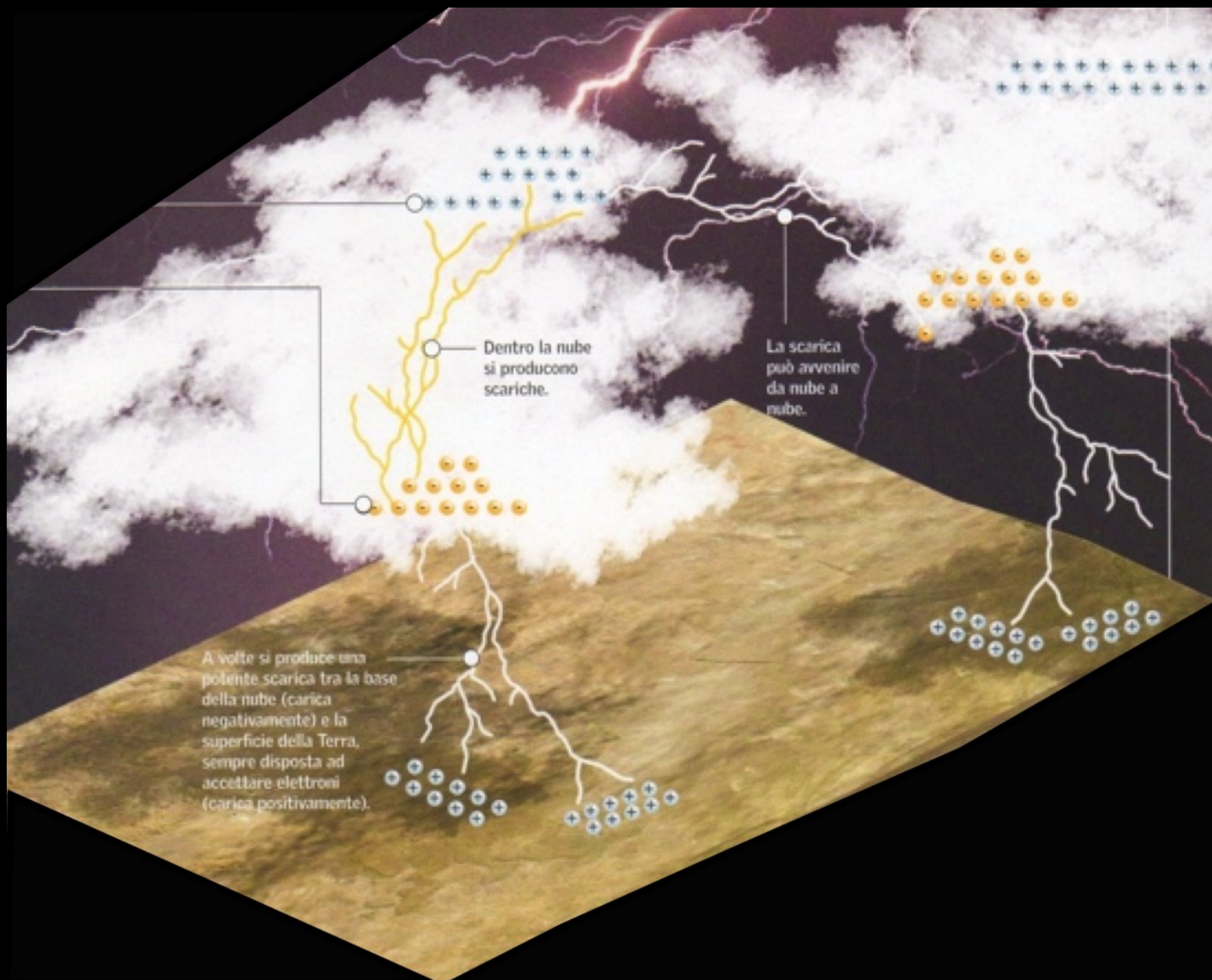
$$\vec{L} = m \vec{r} \times \vec{v} = \text{costante}$$

energia



$$E = \frac{1}{2} m v^2 + E_p = \text{costante}$$

Pillole di elettromagnetismo



$$\int_S \vec{E} \cdot d\vec{A} = \frac{Q_{enc}}{\epsilon_0}$$

$$\oint \vec{E} \cdot d\vec{l} = 0$$

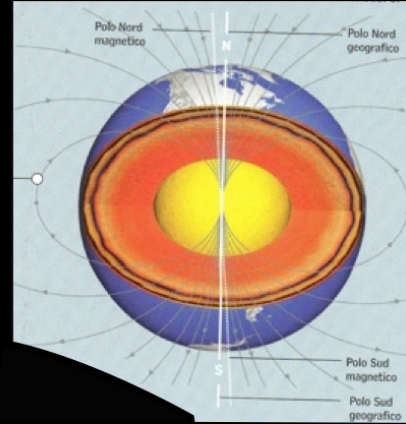
$\vec{F} = \frac{kQq}{r^2} \hat{r}$

The diagram shows two point charges, Q and q, represented as yellow spheres. Charge Q is on the left and charge q is on the right. A white arrow labeled r points from charge q to charge Q. A blue vector arrow labeled F points from charge q towards charge Q, representing the attractive force between them.

Pillole di elettromagnetismo

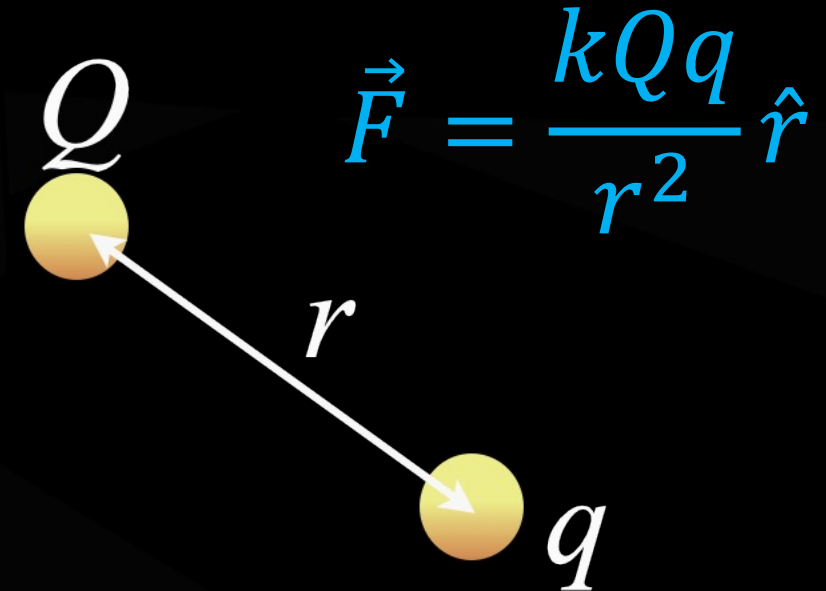
$$\int_S \vec{B} \cdot d\vec{A} = 0$$

$$\oint \vec{B} \cdot d\vec{l} = \mu_0 I_{enc}$$

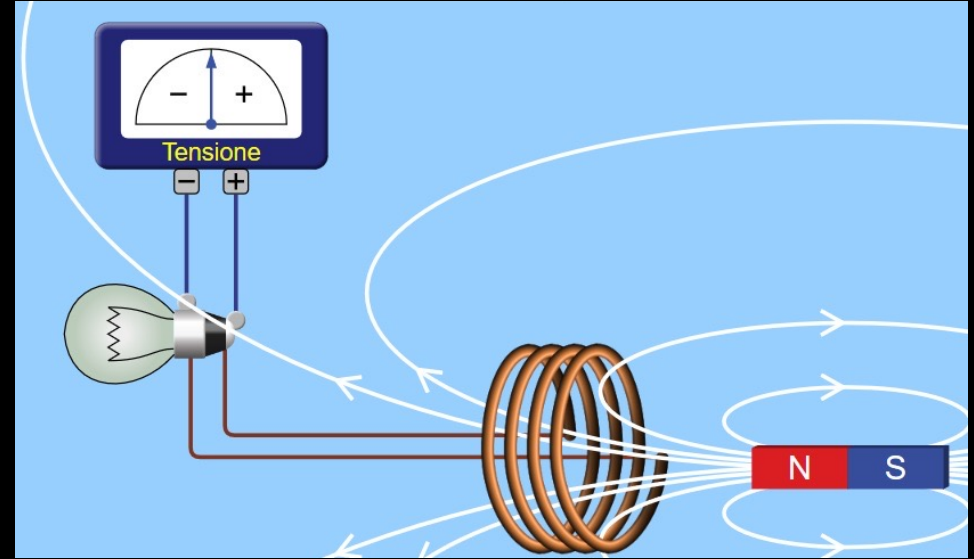
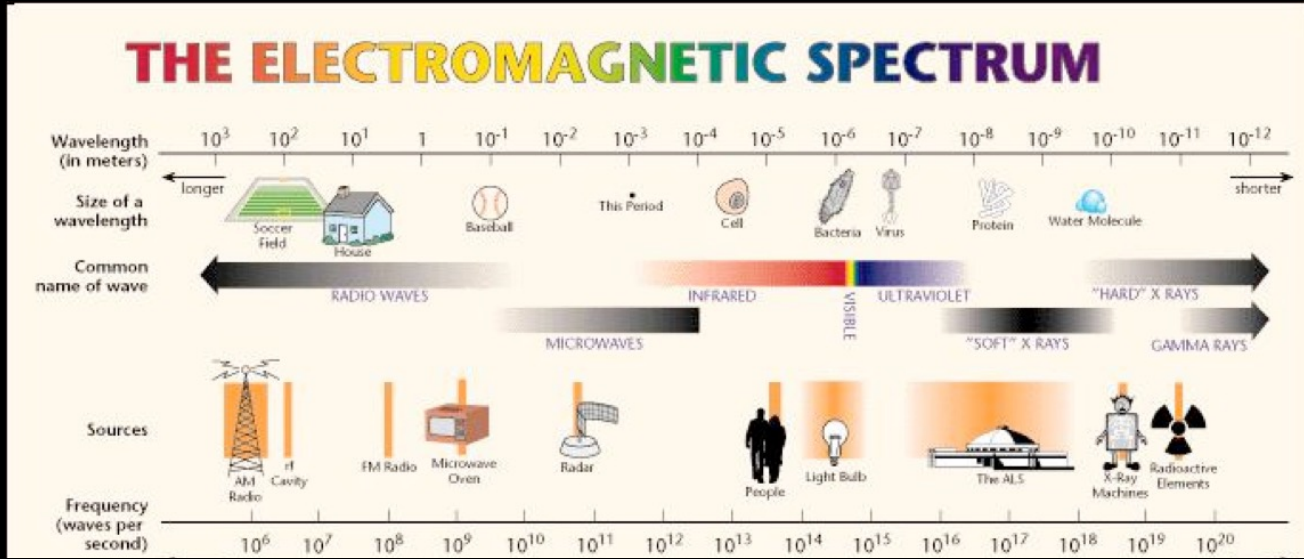


$$\int_S \vec{E} \cdot d\vec{A} = \frac{Q_{enc}}{\epsilon_0}$$

$$\oint \vec{E} \cdot d\vec{l} = 0$$



Pillole di elettromagnetismo



Maxwell's Equations

Differential form

$$\nabla \cdot \vec{E} = \frac{\rho}{\epsilon_0}$$

$$\nabla \times \vec{E} = -\frac{\partial \vec{B}}{\partial t}$$

$$\nabla \cdot \vec{B} = 0$$

$$\nabla \times \vec{B} = \mu_0 \vec{J} + \mu_0 \epsilon_0 \frac{\partial \vec{E}}{\partial t}$$

Maxwell's Equations

Integral form

$$\oint \vec{E} \cdot d\vec{a} = \frac{Q_{enc}}{\epsilon_0}$$

$$\oint \vec{E} \cdot d\vec{l} = -\int \frac{\partial \vec{B}}{\partial t} \cdot d\vec{a}$$

$$\oint \vec{B} \cdot d\vec{a} = 0$$

$$\oint \vec{B} \cdot d\vec{l} = \mu_0 I_{enc} + \mu_0 \epsilon_0 \int \frac{\partial \vec{E}}{\partial t} \cdot d\vec{a}$$

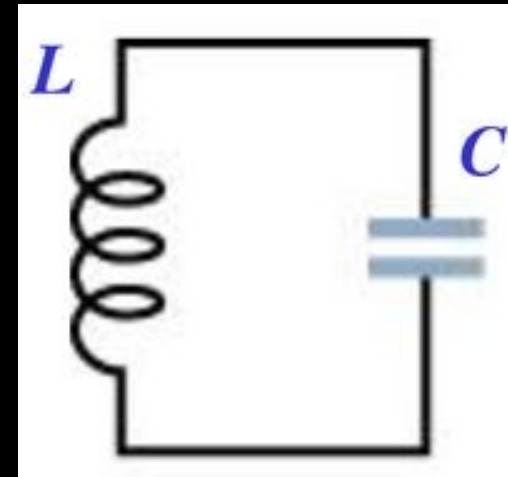
Circuito LC ... ancora
«oscillatore armonico»

$$L \frac{d^2 q}{dt^2} + \frac{1}{C} q = 0$$

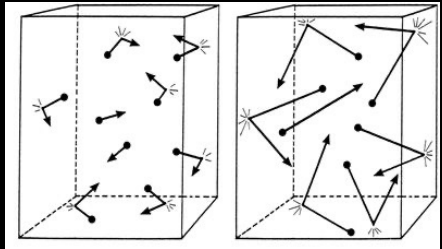
$$\frac{d^2 q}{dt^2} + \omega^2 q = 0$$

$$\omega^2 = \frac{1}{LC}$$

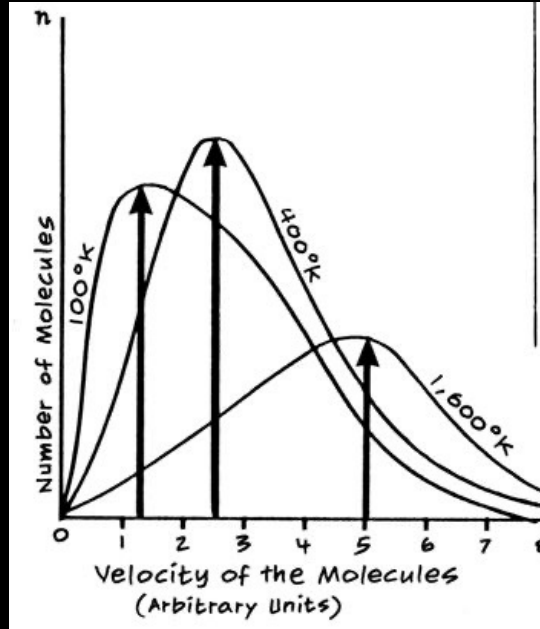
$$q(t) = A \cos(\omega t + \phi)$$



Teoria cinetica dei gas



La teoria di Maxwell è basata su medie statistiche per valutare se proprietà macroscopiche misurabili in laboratorio possano essere descritte da un modello microscopico applicato ad un gas formato da molecole.



Meccanica statistica



Boltzmann presentò una legge generale per la distribuzione di probabilità, applicabile ad un insieme di entità con libertà di movimento, indipendenti fra loro ed interagenti in maniera casuale. Formalizzò il principio di equipartizione dell'energia, distribuita uniformemente fra tutti i livelli di libertà all'equilibrio termico.

Interpretazione della seconda legge della termodinamica: quando l'energia in un sistema è degradata, gli atomi diventano più disordinati, l'entropia S aumenta e la misura del disordine può essere formulata. La probabilità è definita come il numero di modi nei quali il sistema può essere assemblato sulla base dei suoi costituenti (atomi):

$S = k_B \text{Log } W$, dove k_B è la costante di Boltzmann e W è la probabilità che una particolare configurazione di atomi possa essere realizzata.

Quanti di energia

Nell'ambito del problema dello spettro di emissione del corpo nero, Planck postulò che un oscillatore non può assorbire ed emettere energia in maniera continua, ma deve perdere ed assorbire energia in maniera discontinua, in piccole indivisibili $e = h\nu$, che Planck chiamò quanti di energia (h costante di Planck, ν frequenza).

$$h = 6.6 \times 10^{-34} \text{ joule} \cdot \text{sec}$$

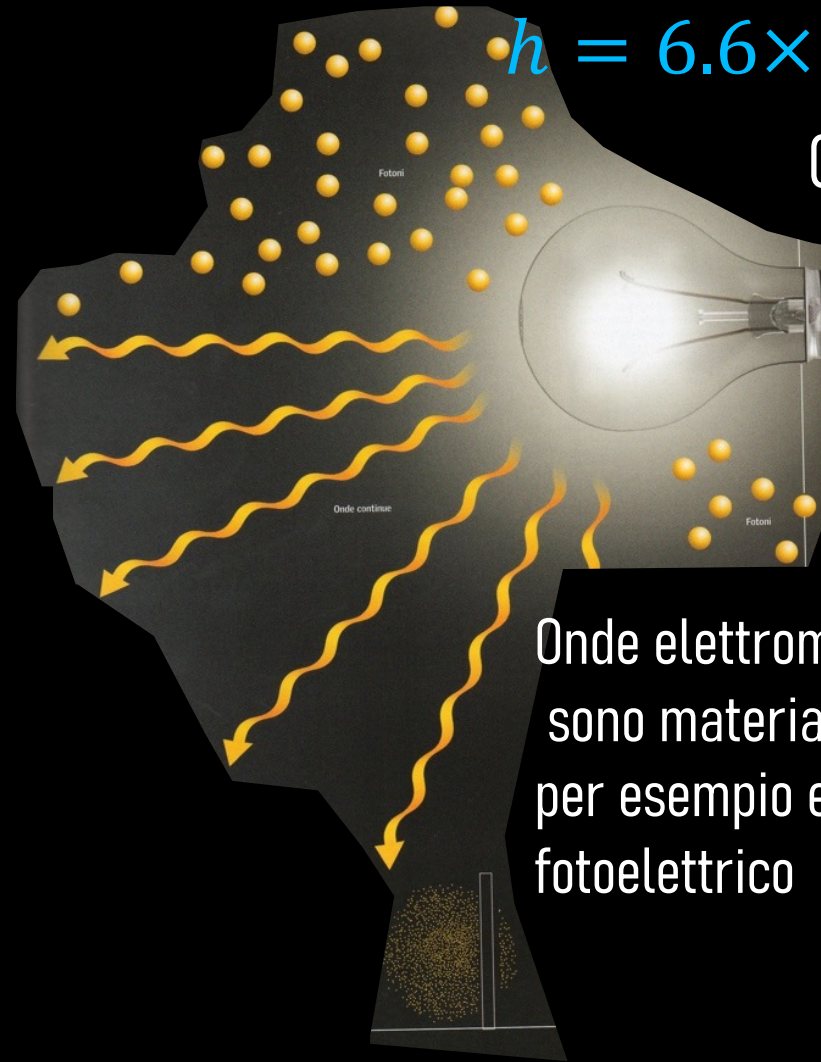
$$\hbar = \frac{h}{2\pi} \quad \text{Costante di Planck}$$



Cosa non si può non immaginare

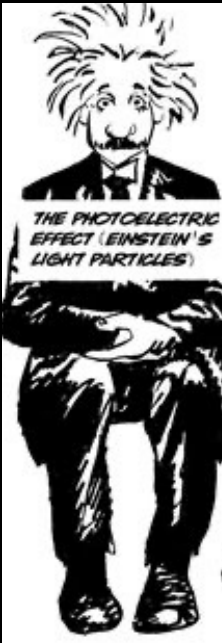
$$h = 6.6 \times 10^{-34} \text{ joule} \cdot \text{sec}$$

Costante di Planck

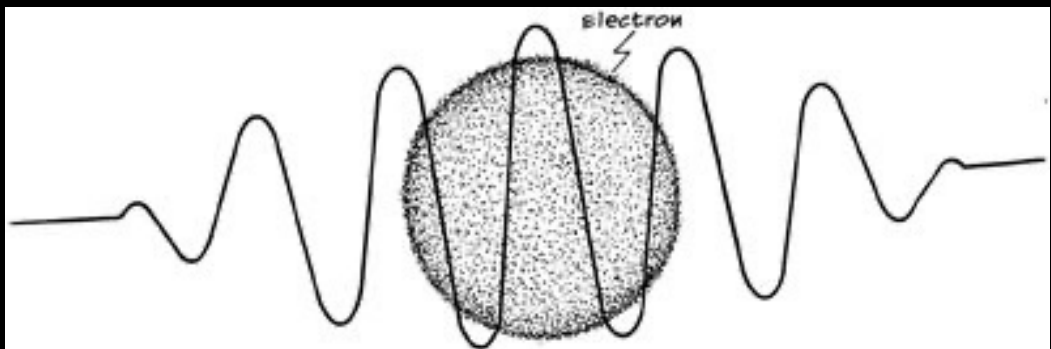


Onde elettromagnetiche
sono materia => fotoni
per esempio effetto
fotoelettrico

$$E = h\nu$$

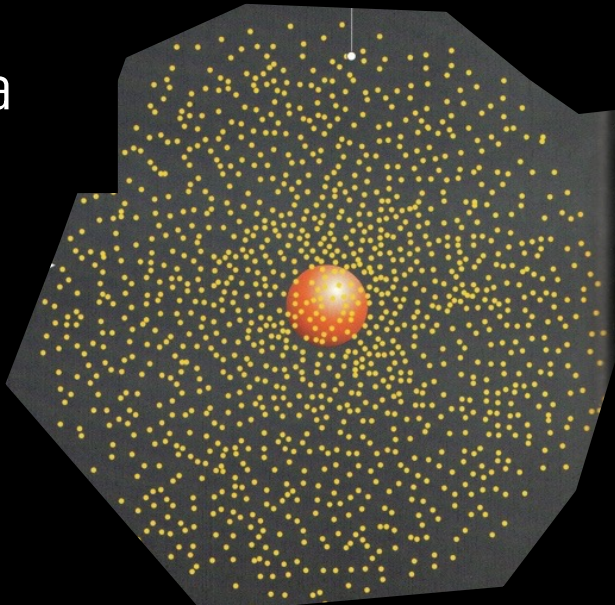


Pillole di meccanica quantistica



$$\lambda = h/p$$

La materia è onda;
associamo l'idea di onda
ad un elettrone

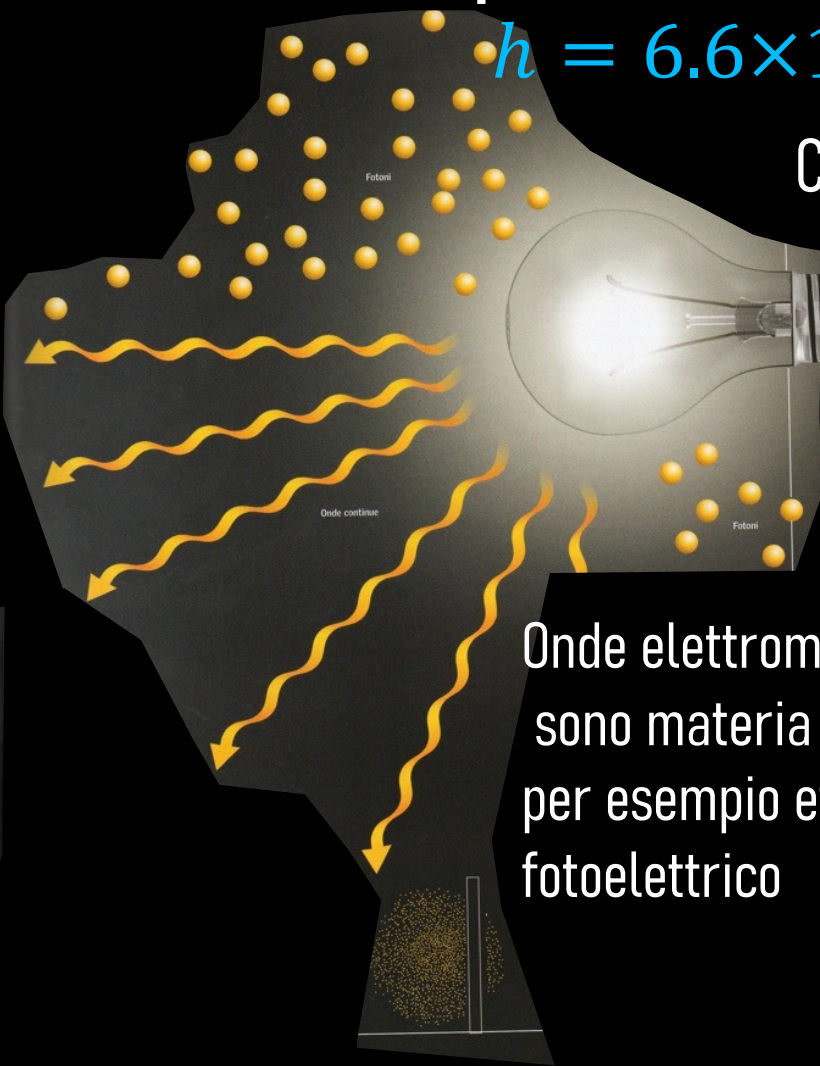


abituiamoci all'idea che le particelle
siano delocalizzate

Cosa non si può non immaginare

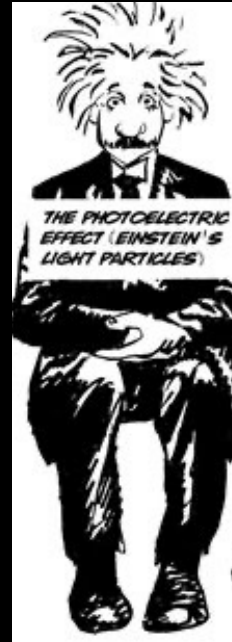
$$h = 6.6 \times 10^{-34} \text{ joule} \cdot \text{sec}$$

Costante di Planck



Onde elettromagnetiche
sono materia => fotoni
per esempio effetto
fotoelettrico

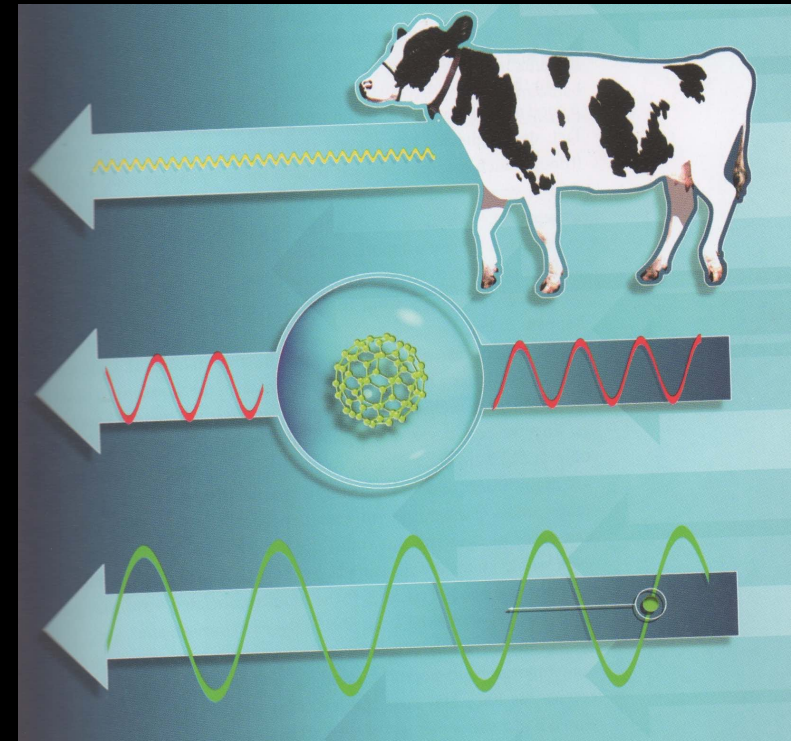
$$E = h\nu$$



Per capire «quanto siamo quantistici»

Lunghezza d'onda λ di De Broglie per una palla da baseball di un 1 kg che si muove ad una velocità di 10 m/s

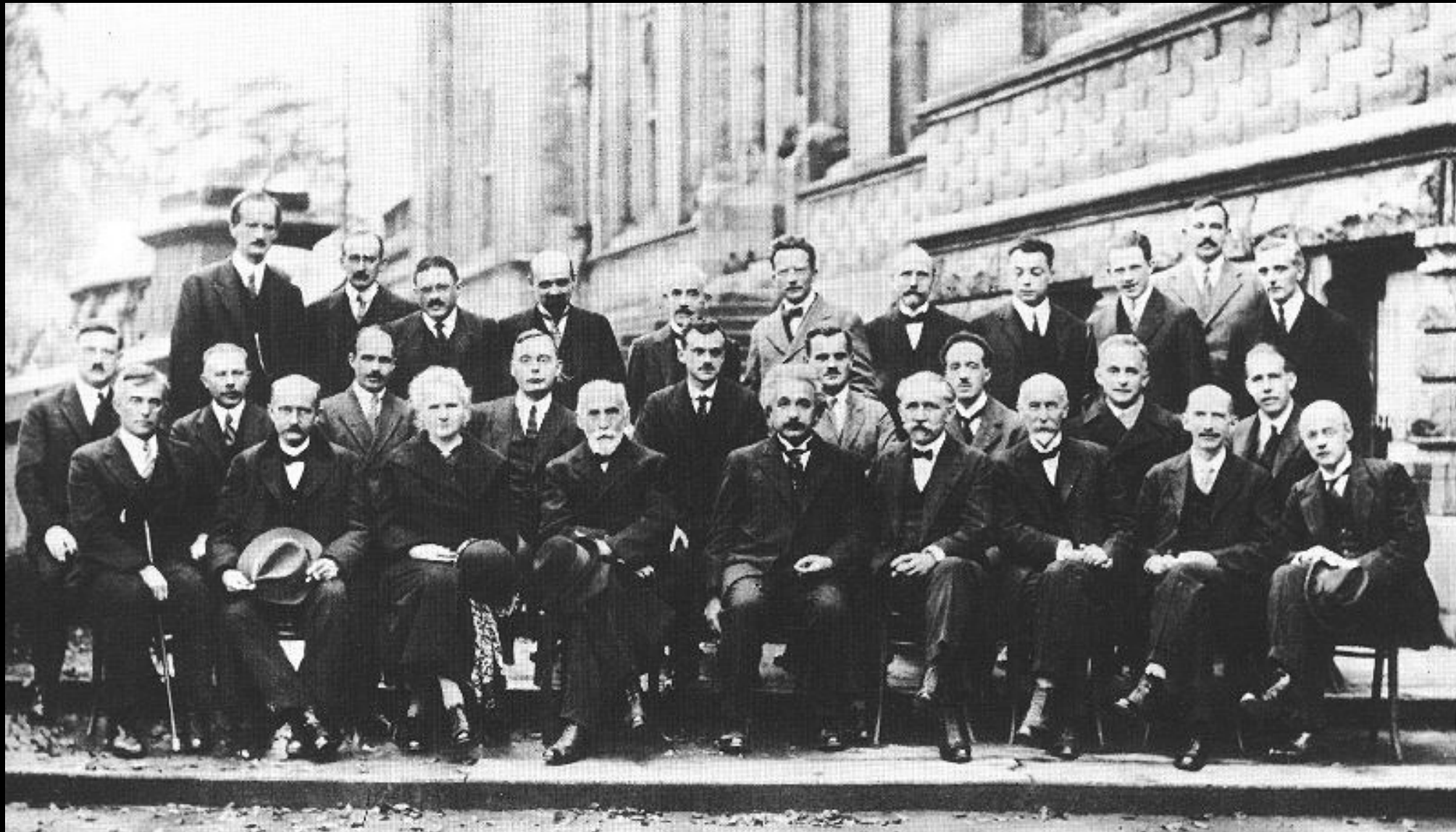
$$\lambda = \frac{h}{p} = \frac{h}{mv} = \frac{6.6 \times 10^{-34} \text{ joule} \cdot \text{sec}}{1 \text{ kg} \times 10 \text{ m/sec}} = 6.6 \times 10^{-35} \text{ m} = 6.6 \times 10^{-25} \text{ \AA}$$



Lunghezza d'onda di un elettrone con energia cinetica K di 100 eV

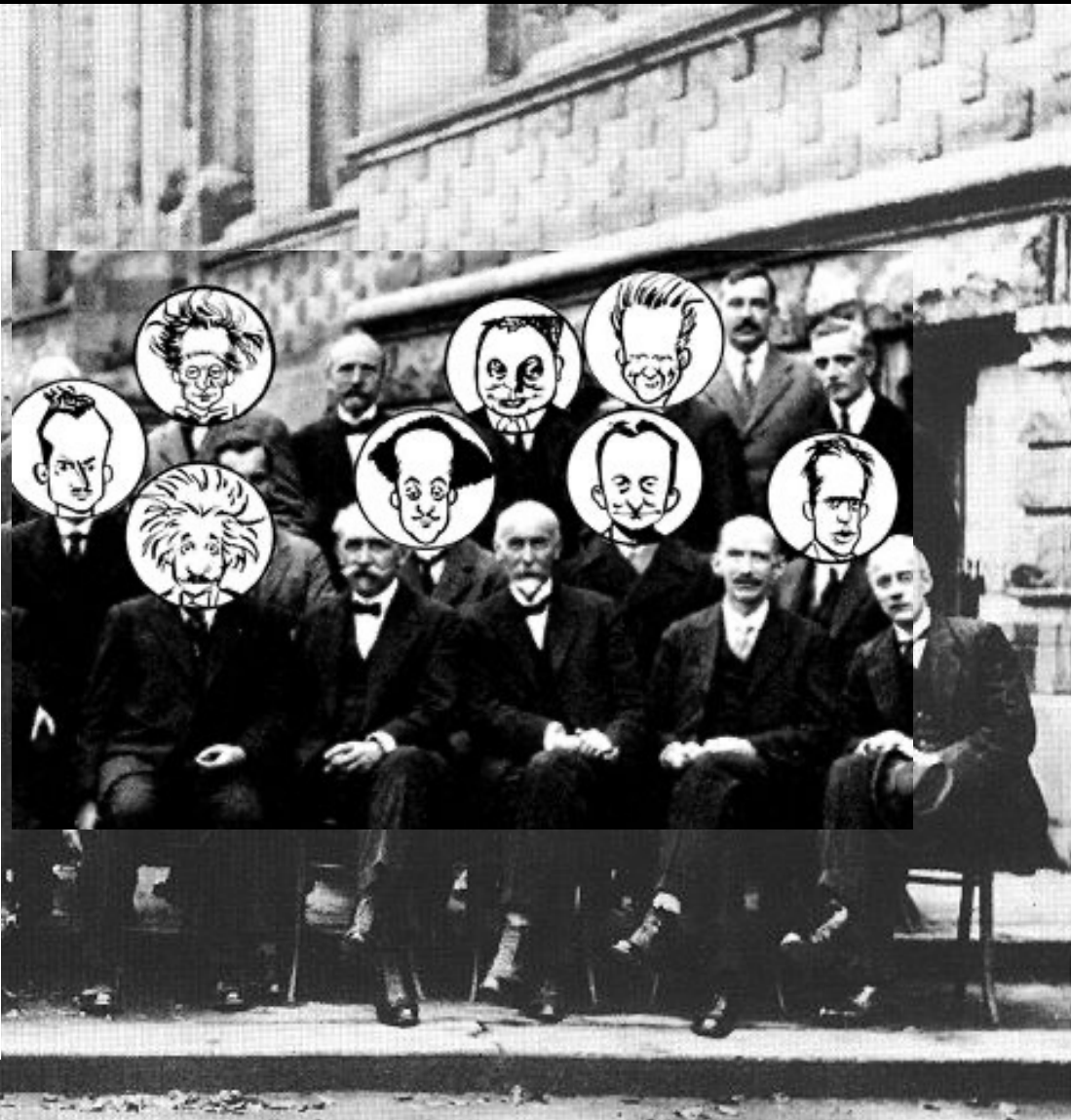
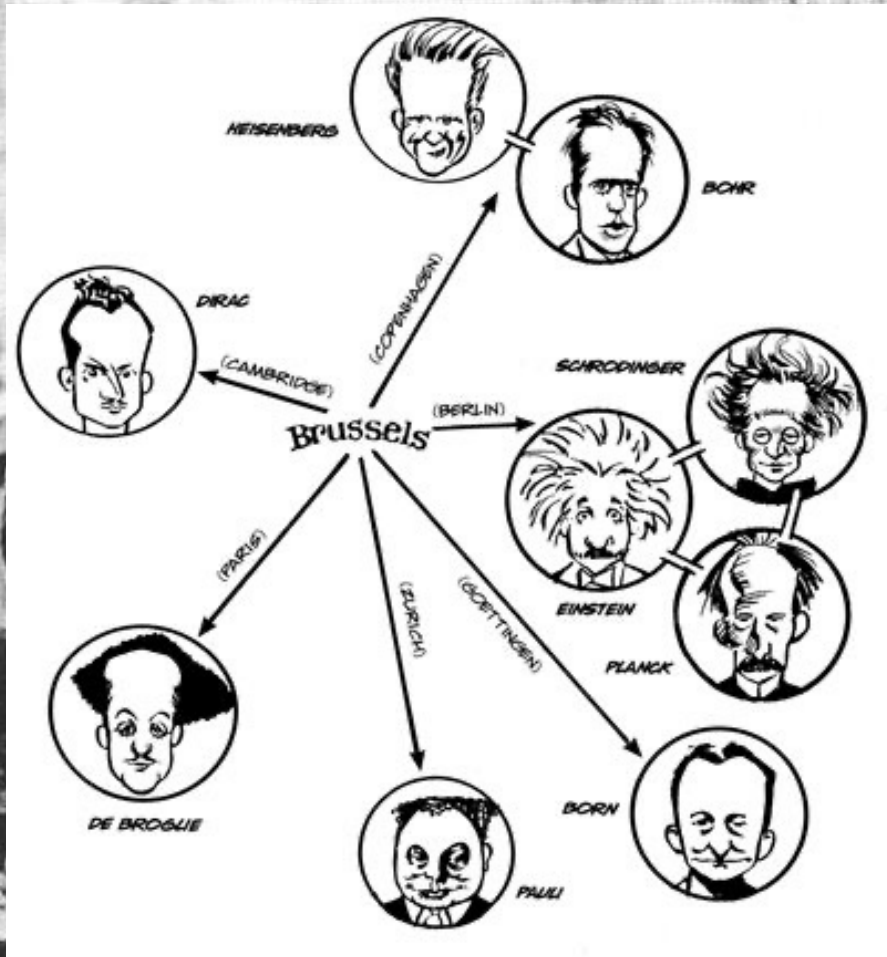
$$\lambda = \frac{h}{p} = \frac{h}{\sqrt{2mK}} = \frac{6.6 \times 10^{-34} \text{ joule} \cdot \text{sec}}{(2 \times 9.1 \times 10^{-31} \text{ kg} \times 1.6 \times 100 \text{ eV} \times 10^{-19} \text{ joule/eV})^{1/2}} = 1.2 \times 10^{-10} \text{ m} = 1.2 \text{ \AA}$$

Bruxelles conference 1927



A. PICCARD E. HENRIOT P. EHRENFEST Ed. HERZEN Th. DE DONDER E. SCHRÖDINGER E. VERSCHAFFELT W. PAULI W. HEISENBERG R.H. FOWLER L. BAILLOUIN
P. DEBYE M. KNUDSEN W.L. BRAGG H.A. KRAMERS P.A.M. DIRAC A.H. COMPTON L. de BROGLIE M. BORN N. BOHR
I. LANGMUIR M. PLANCK Mrs. CURIE H.A. LORENTZ A. EINSTEIN P. LANGEVIN Ch.E. GUYE C.T.R. WILSON O.W. RICHARDSON

Bruxelles conference 1927

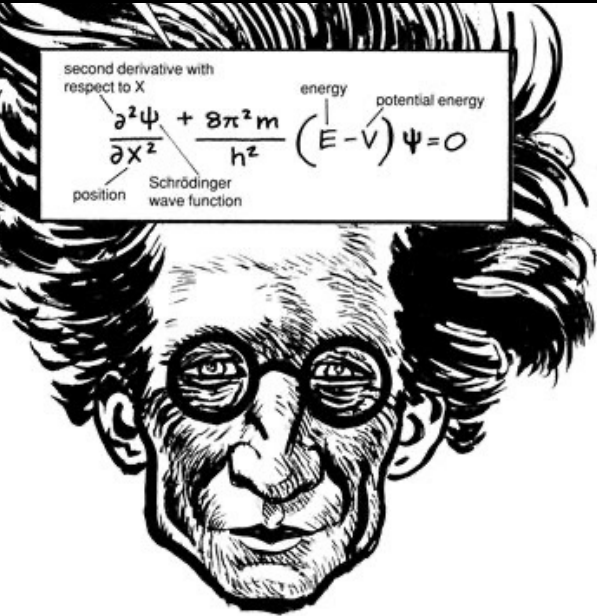


A. PICCARD E. HENRIOT P. EHRENFEST Ed. HERZEN Th. DE DONDER E. SCHRÖDINGER E. VERSCHAFFELT W. PAULI W. HEISENBERG R.H. FOWLER L. BAILLOUIN
 P. DEBYE M. KNUDSEN W.L. BRAGG H.A. KRAMERS P.A.M. DIRAC A.H. COMPTON L. de BROGLIE M. BORN N. BOHR
 I. LANGMUIR M. PLANCK Mrs. CURIE H.A. LORENTZ A. EINSTEIN P. LANGEVIN Ch.E. GUYE C.T.R. WILSON O.W. RICHARDSON

Equazione di Schrodinger

$$\frac{p^2}{2m} + U = E$$

$$-\frac{\hbar^2}{2m} \frac{\partial^2}{\partial x^2} \psi(x, t) + U(x) \psi(x, t) = E \psi(x, t) = i\hbar \frac{\partial}{\partial t} \psi(x, t)$$



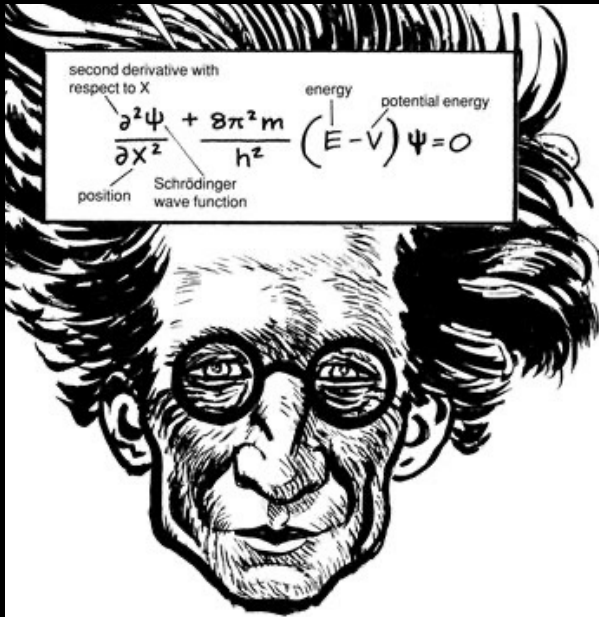
$$\frac{\partial^2}{\partial x^2} E(x, t) = \frac{1}{c^2} \frac{\partial^2}{\partial t^2} E(x, t)$$

Equazione onda e.m. in una dimensione

Equazione di Schrodinger

$$\frac{p^2}{2m} + U = E$$

$$-\frac{\hbar^2}{2m} \frac{\partial^2}{\partial x^2} \psi(x, t) + U(x) \psi(x, t) = E \psi(x, t) = i\hbar \frac{\partial}{\partial t} \psi(x, t)$$



Equazione di Schrodinger

$$\frac{p^2}{2m} + U = E$$

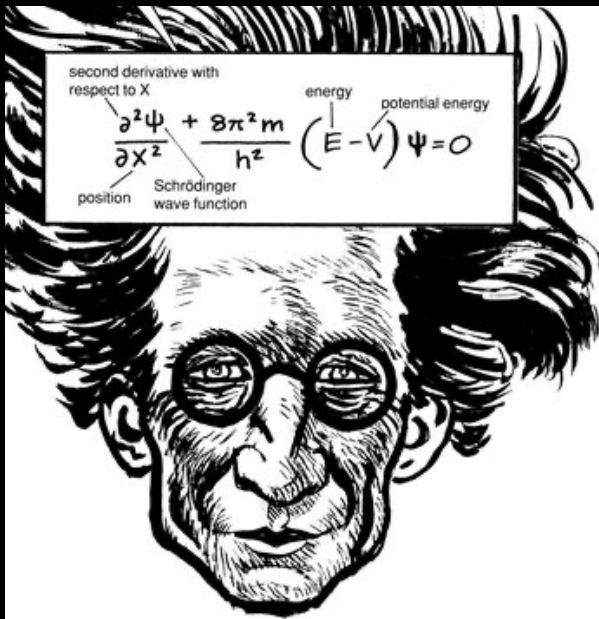
$$-\frac{\hbar^2}{2m} \frac{\partial^2}{\partial x^2} \psi(x, t) + U(x) \psi(x, t) = E \psi(x, t) = i\hbar \frac{\partial}{\partial t} \psi(x, t)$$

$\psi(x, t)$

codice quantistico

$|\psi(x, t)|^2$

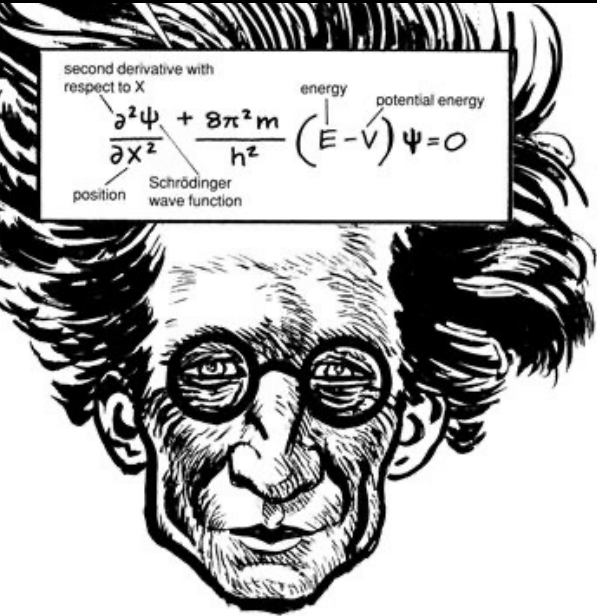
Born definisce la probabilità di esistenza di uno stato come quadrato dell'ampiezza normalizzata della funzione d'onda.



Equazione di Schrodinger

$$\frac{p^2}{2m} + U = E$$

$$-\frac{\hbar^2}{2m} \frac{\partial^2}{\partial x^2} \psi(x, t) + U(x)\psi(x, t) = E\psi(x, t) = i\hbar \frac{\partial}{\partial t} \psi(x, t)$$



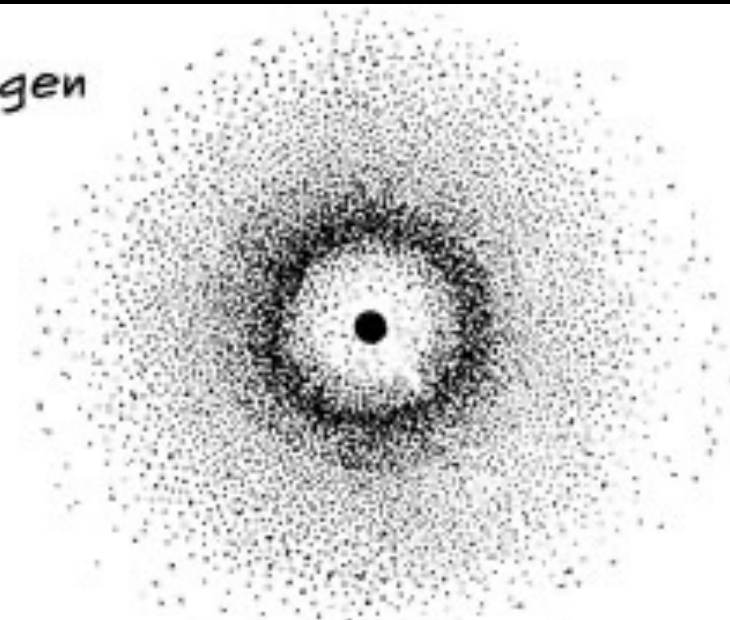
$$\psi(x, t)$$

$$|\psi(x, t)|^2$$

Ground state of Hydrogen



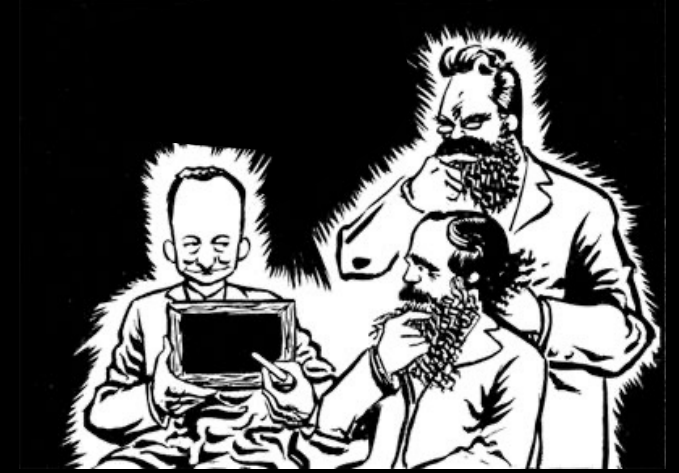
According to Bohr



According to Born



Definizione dell'incerto «quantistico»



La probabilità di Born è un nuovo concetto: la probabilità che un certo stato quantistico esista. Non ci sono più risposte esatte. Si parla solo di probabilità.

Due diversi tipi di probabilità. La teoria classica di Maxwell-Boltzmann aveva introdotto coordinate microscopiche nella teoria cinetica dei gas, solo per eliminarle a favore di valori medi basati sulla probabilità a causa di informazioni che non possono essere reperite. Impossibile calcolare i valori esatti per tante particelle. Born ha trovato un modo per conciliare particelle e onde introducendo il concetto di probabilità. La funzione d'onda ψ determina la probabilità che l'elettrone sia in una specifica/o posizione/stato.

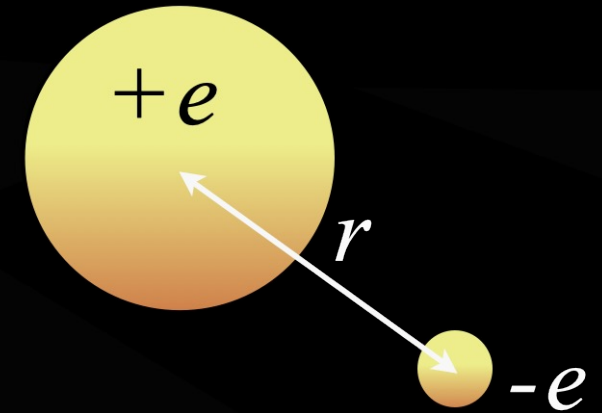
Cosa si può e si deve quantificare

Atomo di idrogeno

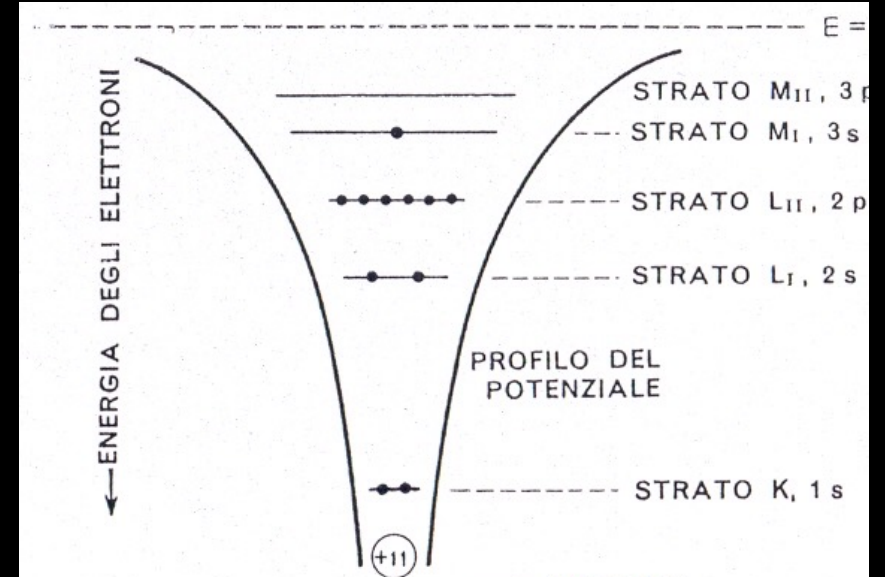
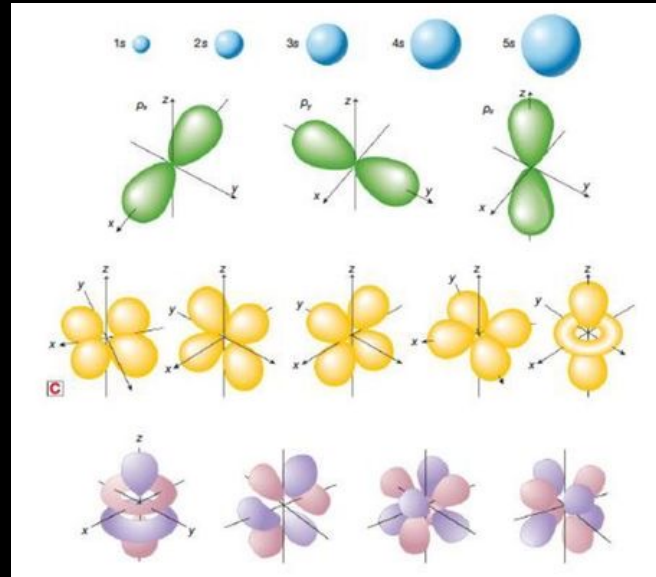
$$\frac{p^2}{2m} - \frac{e^2}{r} = E$$

$$-\frac{\hbar^2}{2m} \frac{\partial^2}{\partial x^2} \psi(x, t) + U(x)\psi(x, t) = E\psi(x, t)$$

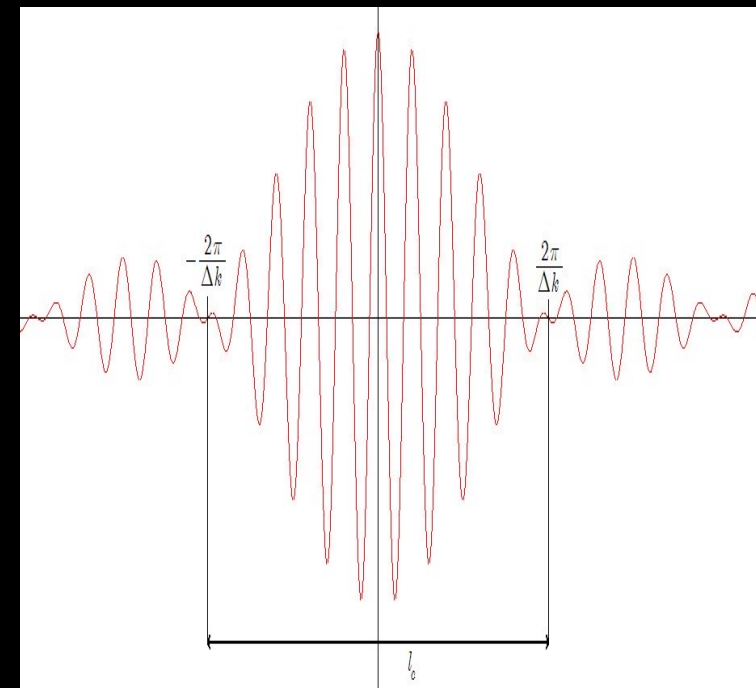
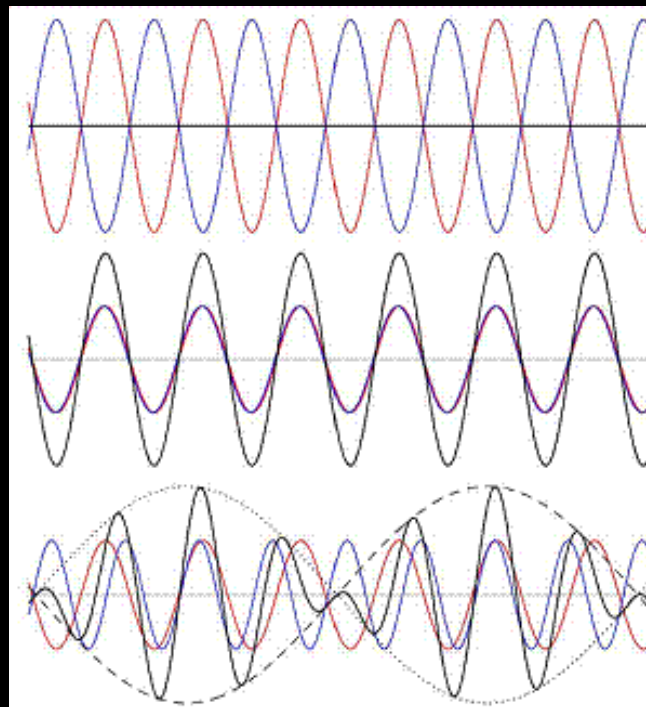
$$-\frac{\hbar^2}{2m} \nabla^2 \psi(\vec{r}, t) - \frac{e^2}{r} \psi(\vec{r}, t) = E\psi(\vec{r}, t)$$



Numeri quantici
Dimensione orbita (n),
forma dell'orbita (l),
direzione dell'orbita (m)
e spin



Il «prezzo» di essere onda



$$Y(x) = A \sin(k_1 x)$$

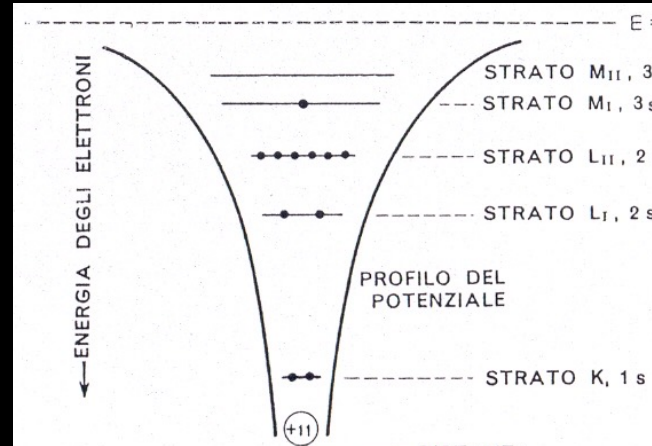
$$Y(x) = A \sin(k_2 x)$$

.....

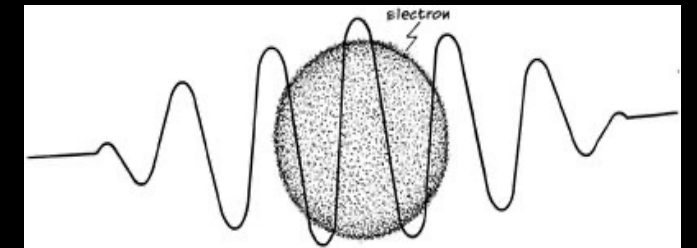
$$\rightarrow \Delta k \Delta x \sim 1$$

Le relazioni di indeterminazione di Heisenberg

$$\Delta E \Delta t \sim h$$



$$\Delta p \Delta x \sim h$$



Vocabolario dell'incerto

Quantum

Indeterminacy = indeterminazione

Unpredictability = imprevedibilità

Classico

Indeterminism = indeterminismo

Oscillatore armonico

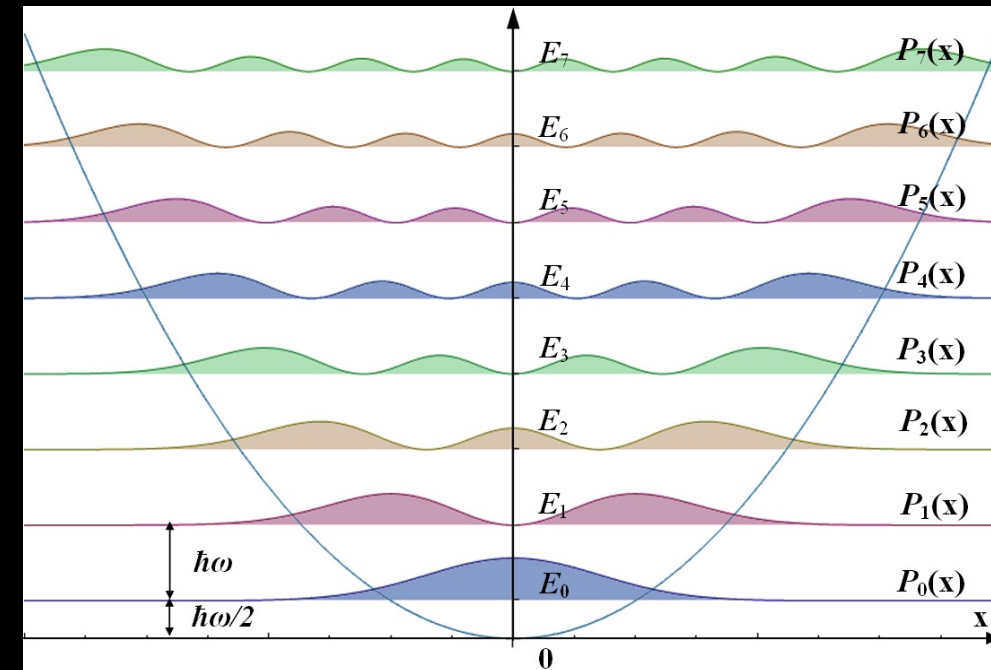
Esempio di quantizzazione

$$\frac{p^2}{2m} + \frac{1}{2} kx^2 = E \quad -\frac{\hbar^2}{2m} \frac{\partial^2}{\partial x^2} \psi(x, t) + U(x)\psi(x, t) = E\psi(x, t)$$

$$-\frac{\hbar^2}{2m} \frac{\partial^2}{\partial x^2} \psi(x, t) + \frac{1}{2} kx^2 \psi(x, t) = E\psi(x, t)$$

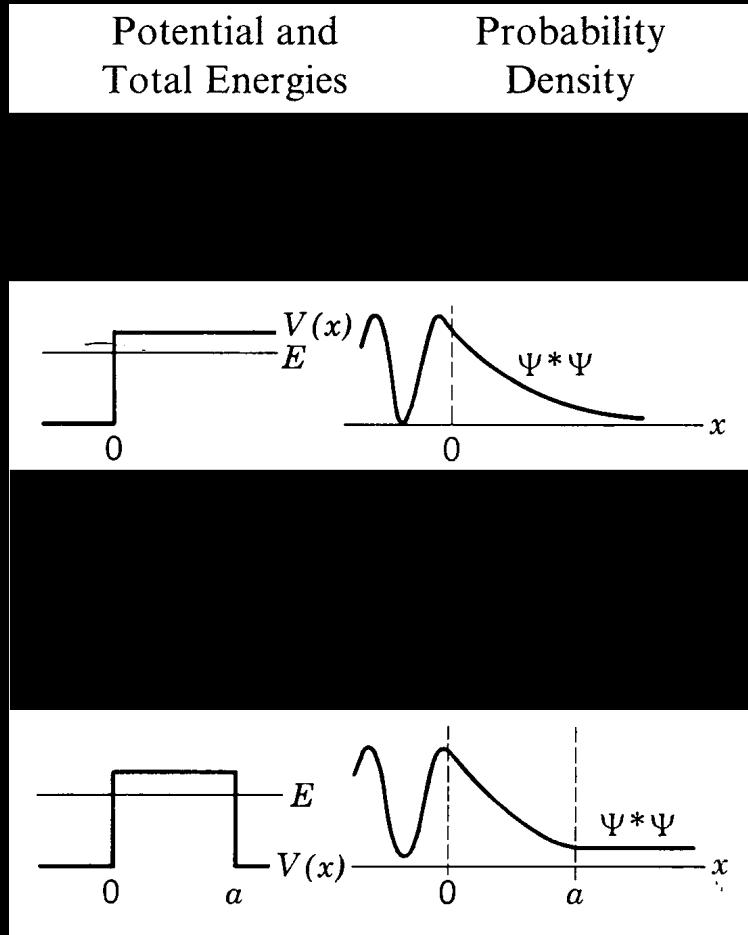
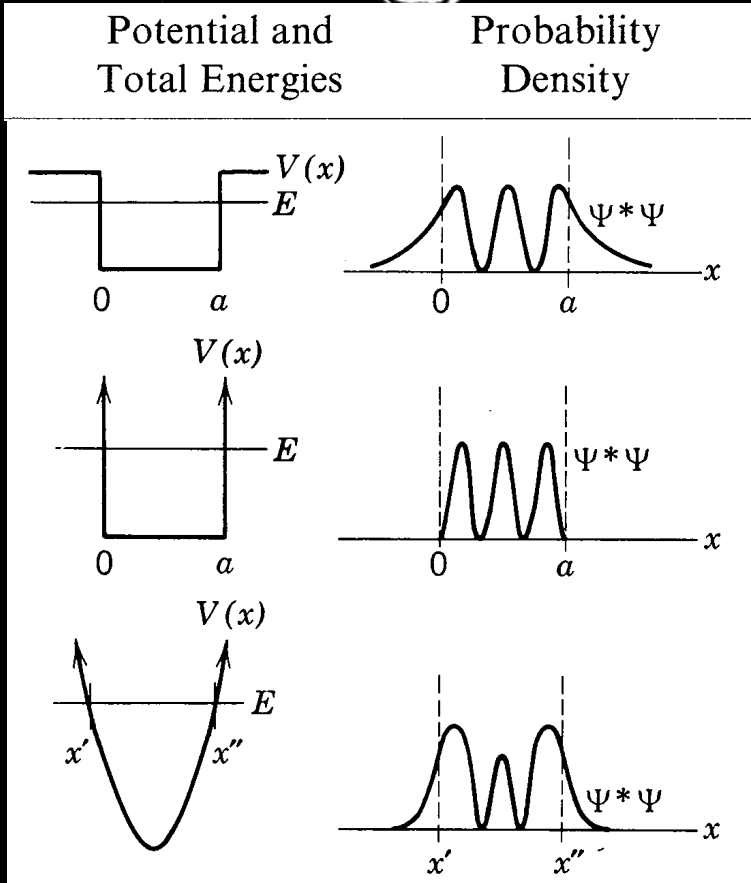
$$E = \left(n + \frac{1}{2} \right) \hbar\omega$$

$$E_0 = \frac{1}{2} \hbar\omega$$



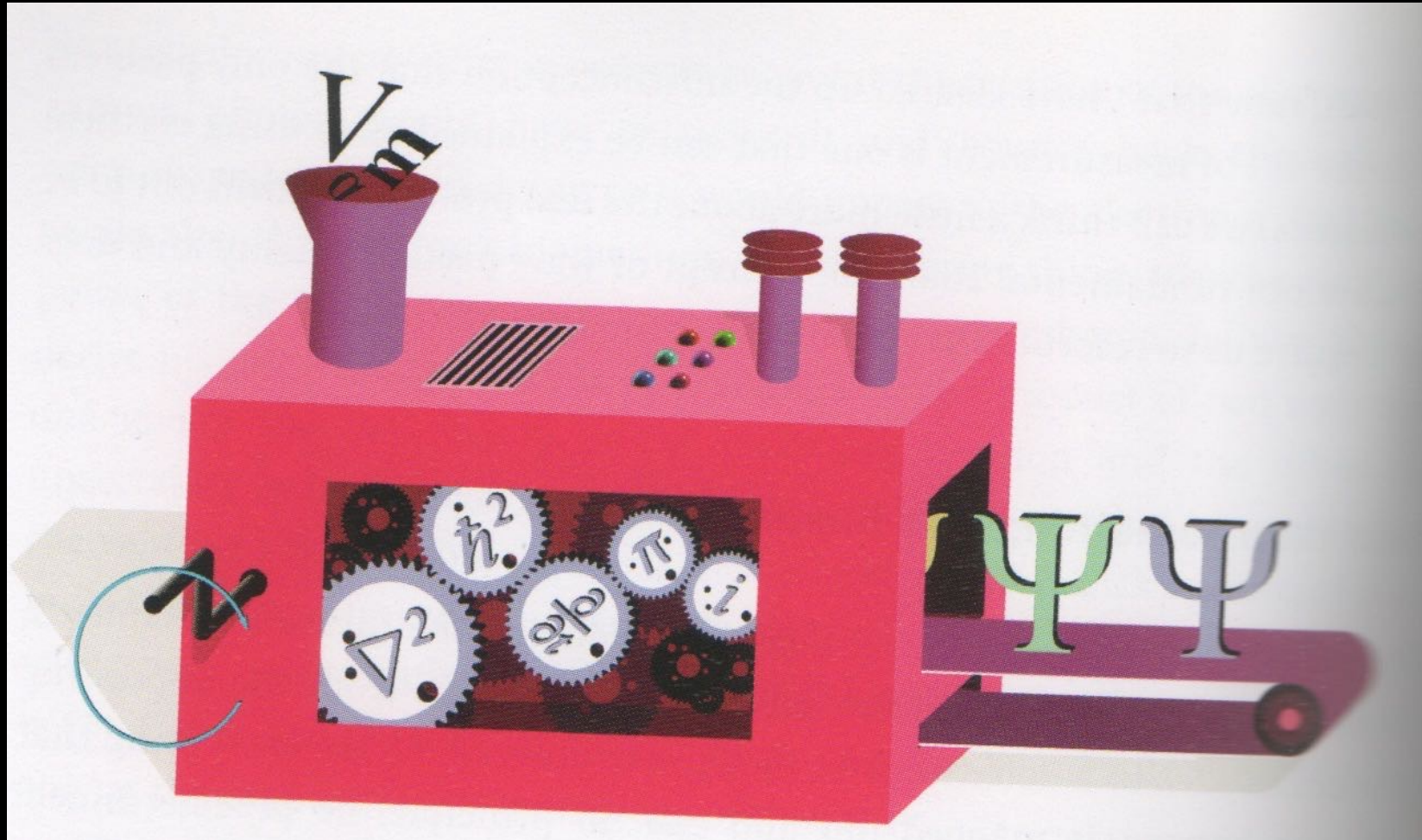
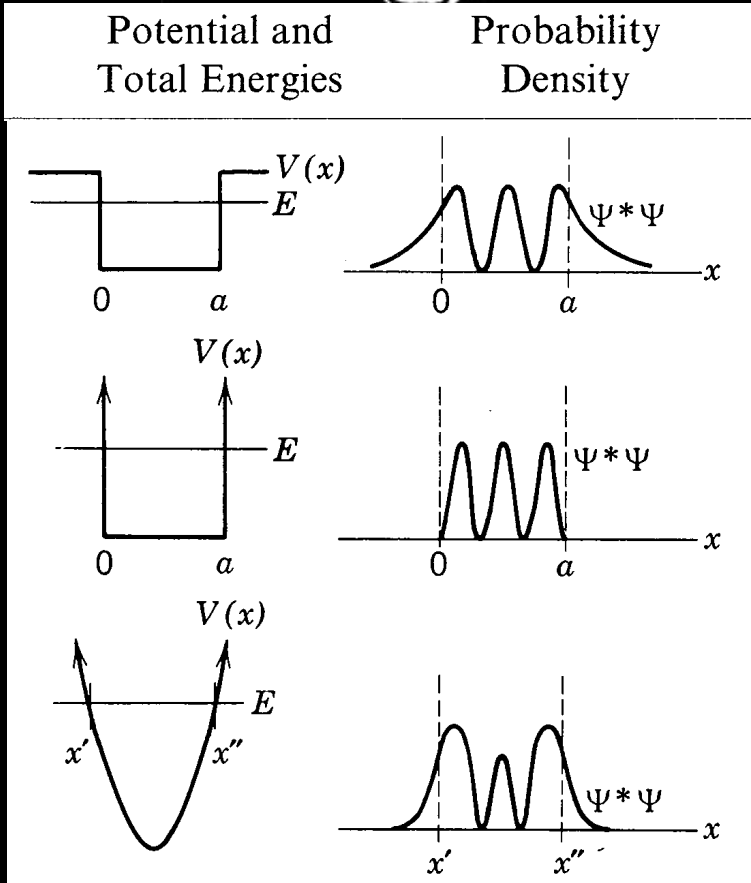


$$-\frac{\hbar^2}{2m} \frac{\partial^2 \Psi(x,t)}{\partial x^2} + V(x,t)\Psi(x,t) = i\hbar \frac{\partial \Psi(x,t)}{\partial t}$$





$$-\frac{\hbar^2}{2m} \frac{\partial^2 \Psi(x,t)}{\partial x^2} + V(x,t)\Psi(x,t) = i\hbar \frac{\partial \Psi(x,t)}{\partial t}$$

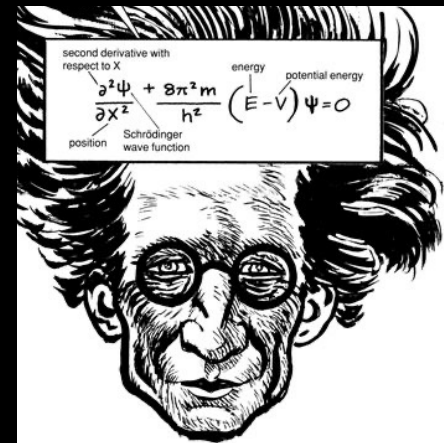
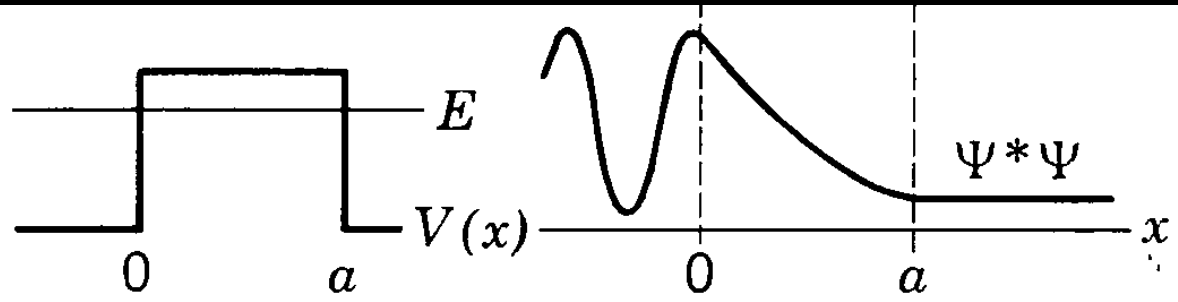


Le nuove regole del gioco

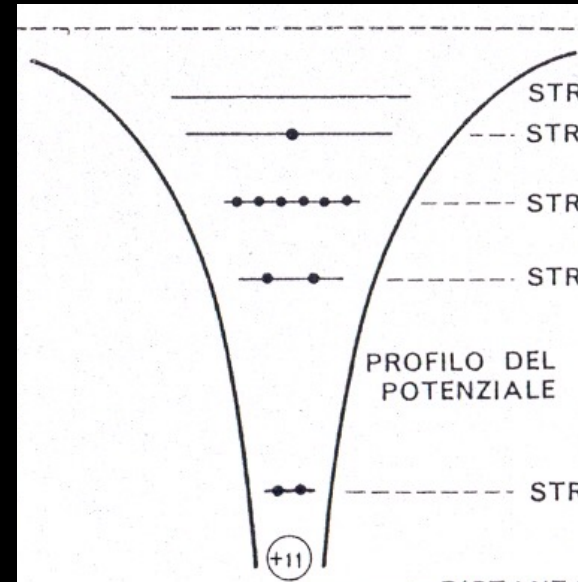
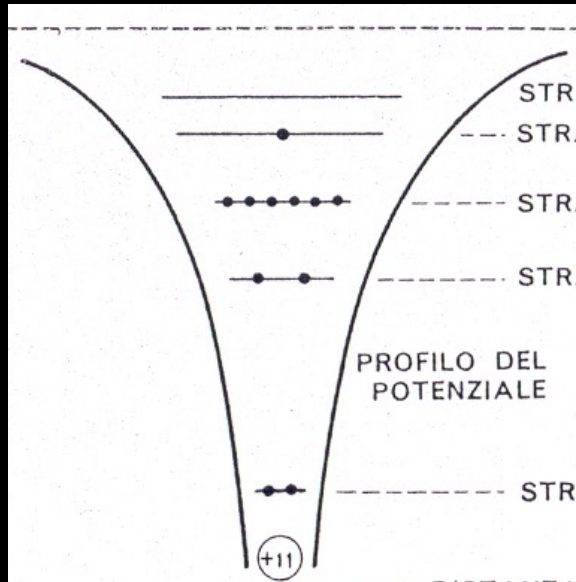
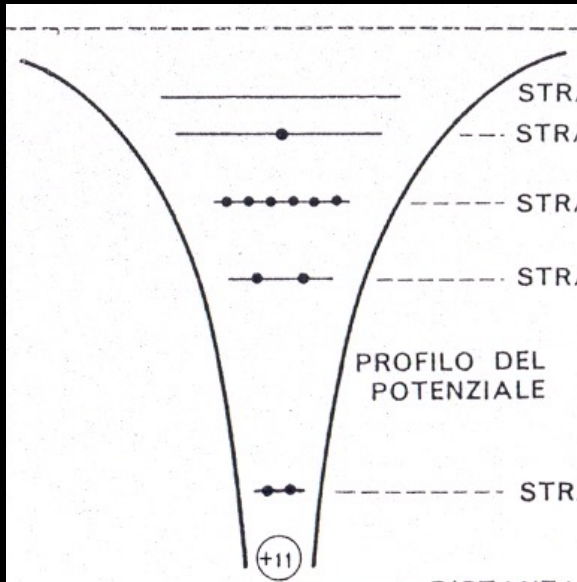
Effetto tunnel

classical physics:
climbing the hill

quantum physics:
"tunnelling"

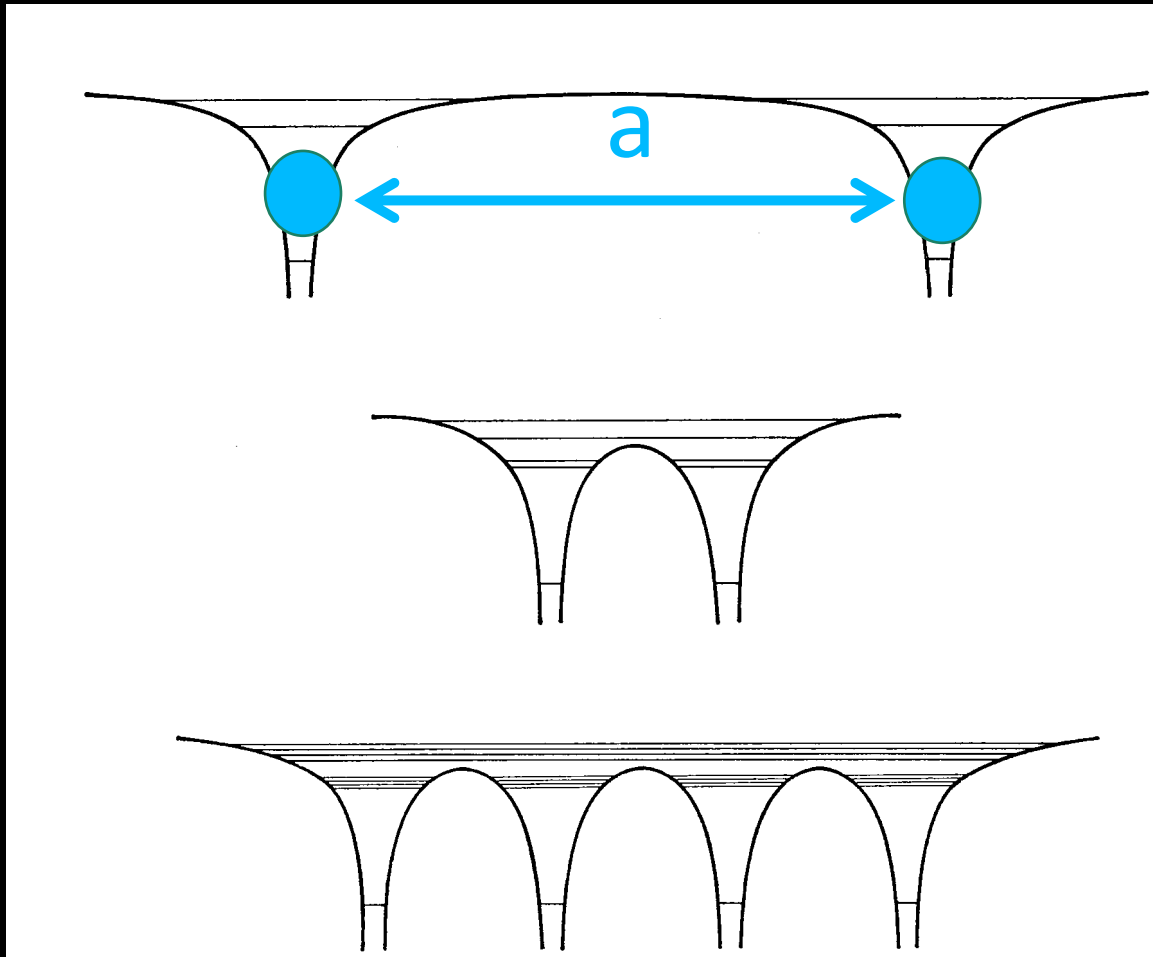


Pillole di meccanica quantistica nei solidi

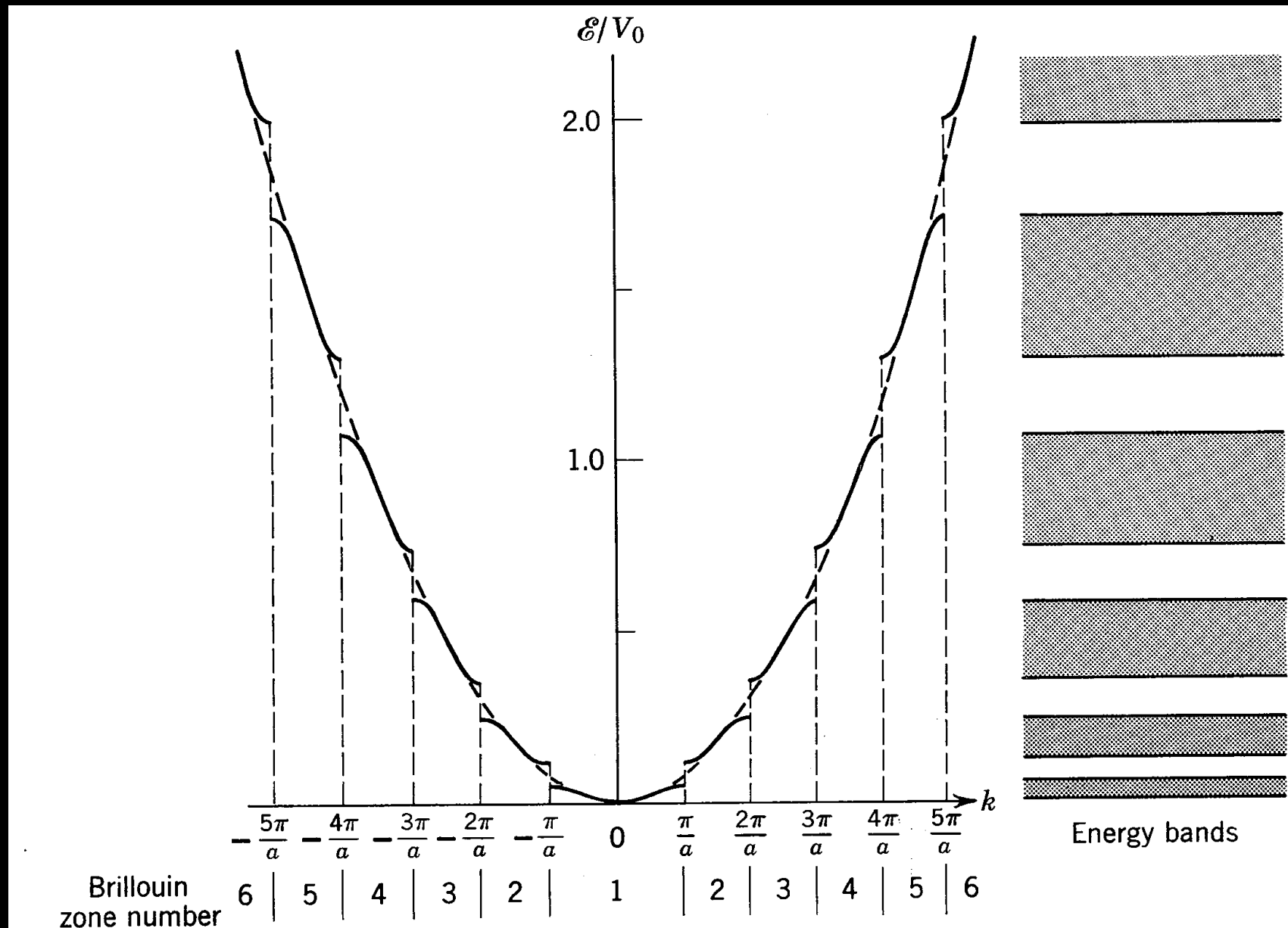


Pillole di meccanica quantistica nei solidi

$$-\frac{\hbar^2}{2m} \frac{\partial^2}{\partial x^2} \psi(x, t) + U(x) \psi(x, t) = E \psi(x, t) \quad U(x) = U(x+a)$$



Onde che viaggiano nei cristalli ... Non a tutte le energie

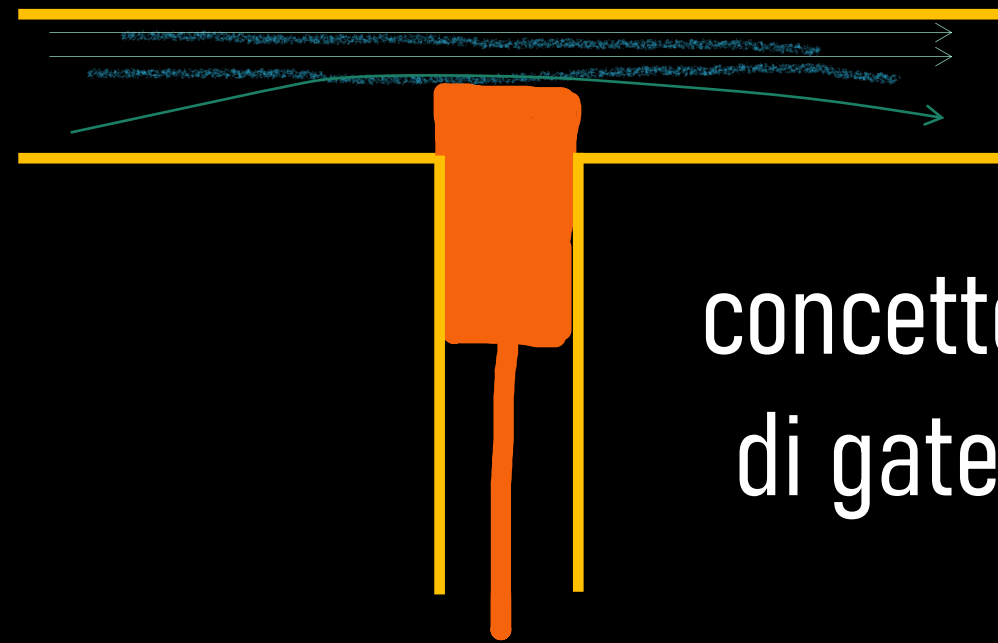
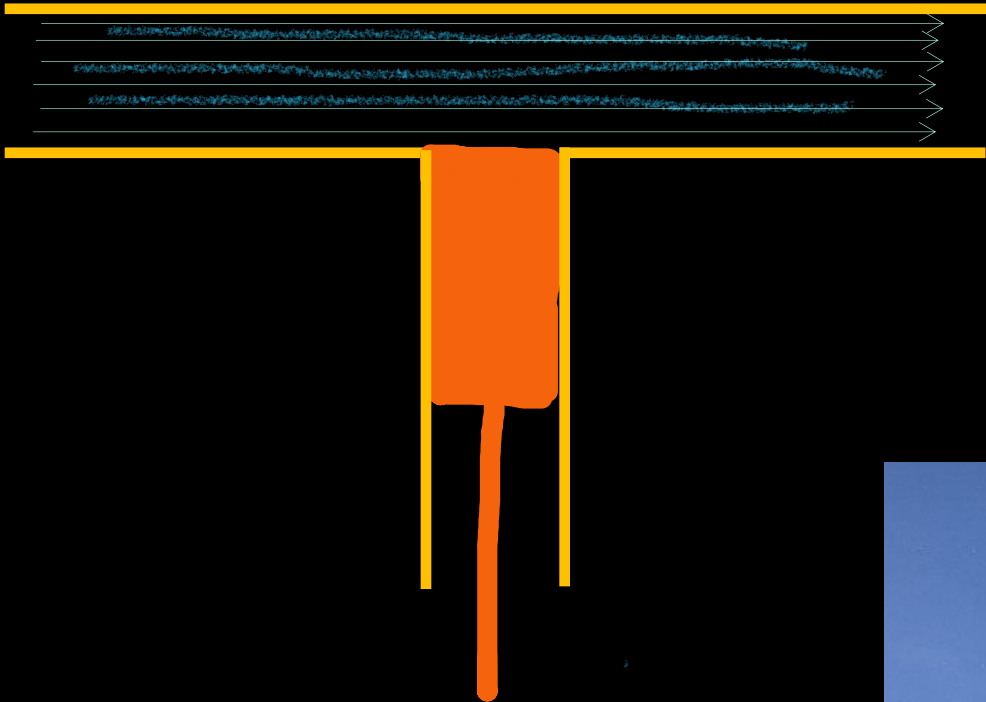


Il principio di un processore «classico»

Il core. E' il circuito integrato (chip) della CPU, realizzato con la tecnologia VLSI (Very Large Scale Integration). Il circuito integrato è formato da migliaia di micro componenti elettronici (transistor, condensatori, diodi e resistori) collegati tra loro. Il core è collocato su una piastra di un materiale semiconduttore, in genere il silicio.



Il transistor, dispositivo a tre terminali



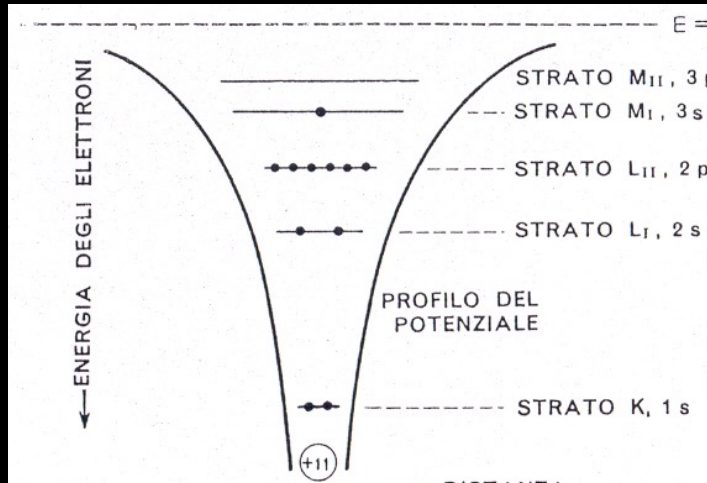
concetto
di gate



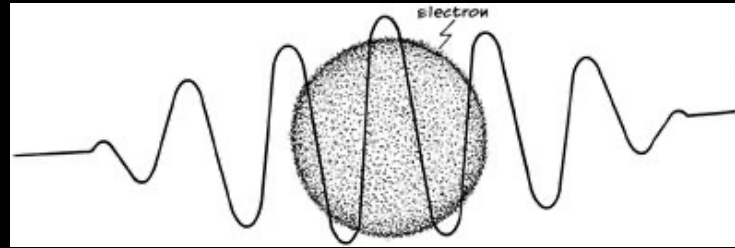
"TRANSferring" e "resISTOR".
dicembre del 1947 Bell Labs: Walter Brattain, John Bardeen, William Shockley.

Nel 1956, i tre ricercatori furono insigniti del premio Nobel per la Fisica, con la motivazione «per le ricerche sui semiconduttori e per la scoperta dell'effetto transistor»

Pillole di meccanica quantistica

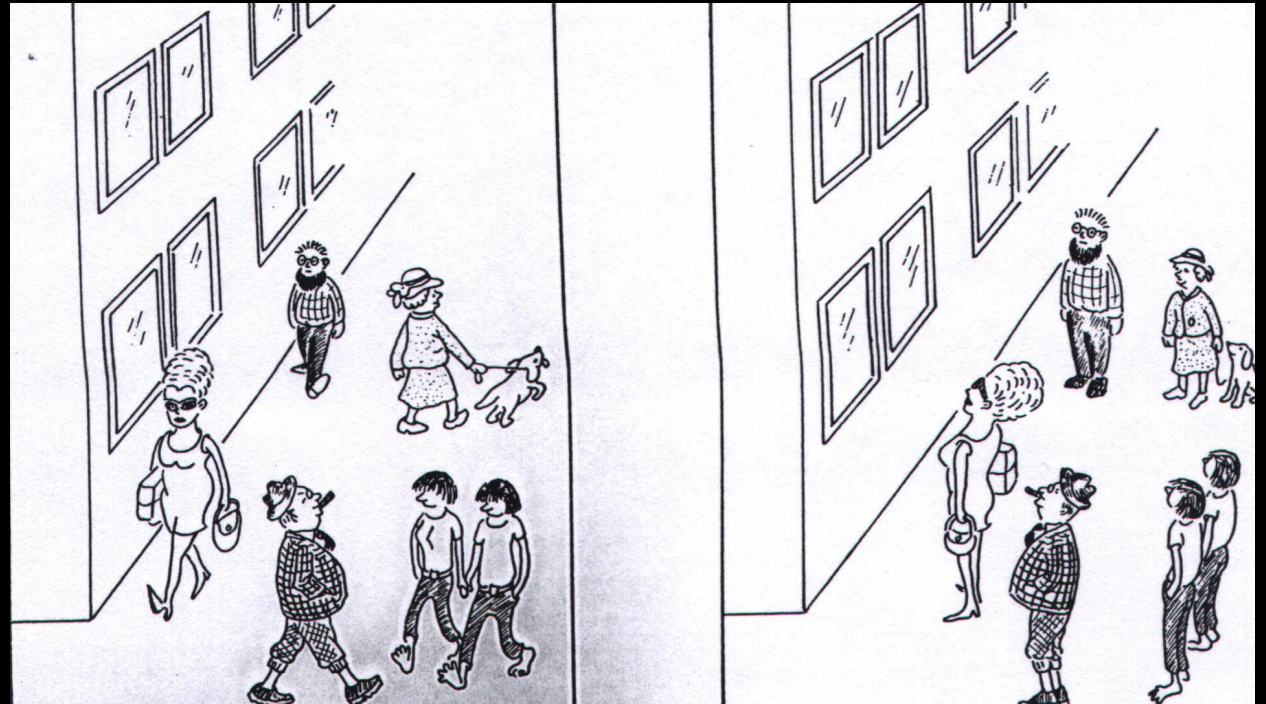
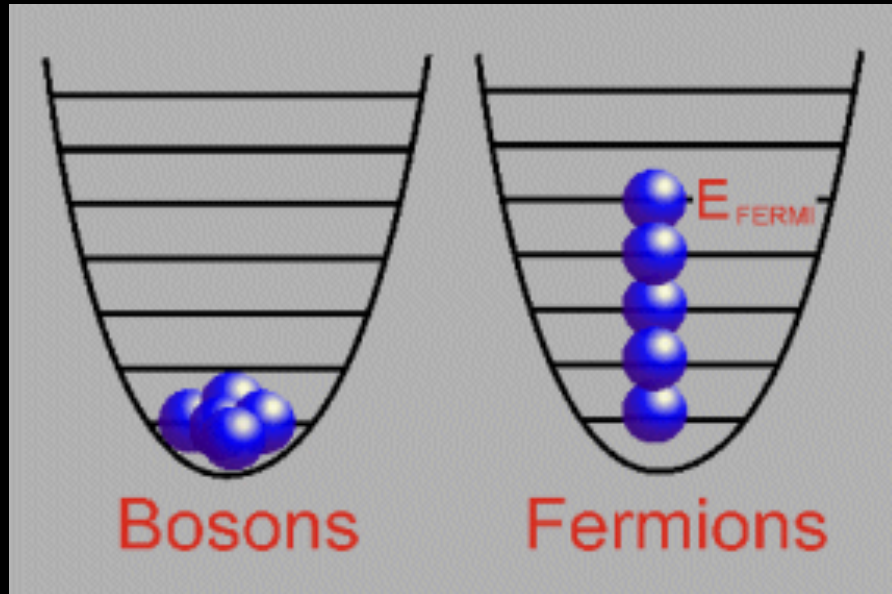


Le nuove regole del gioco



Principio di indeterminazione, posizione-quantità di moto, energia-tempo

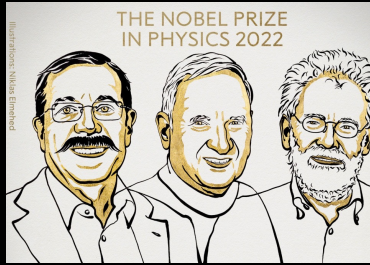
Regole di quantizzazione



Non sono tutti elettroni, i condensati per esempio

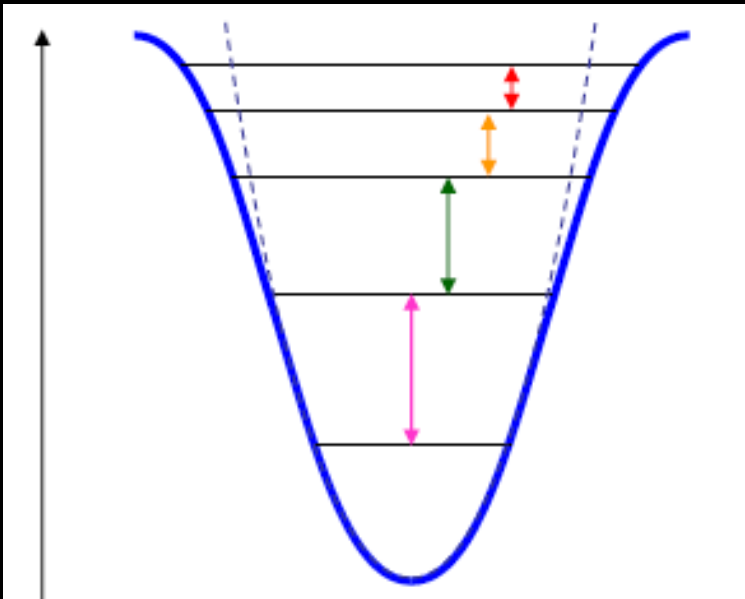
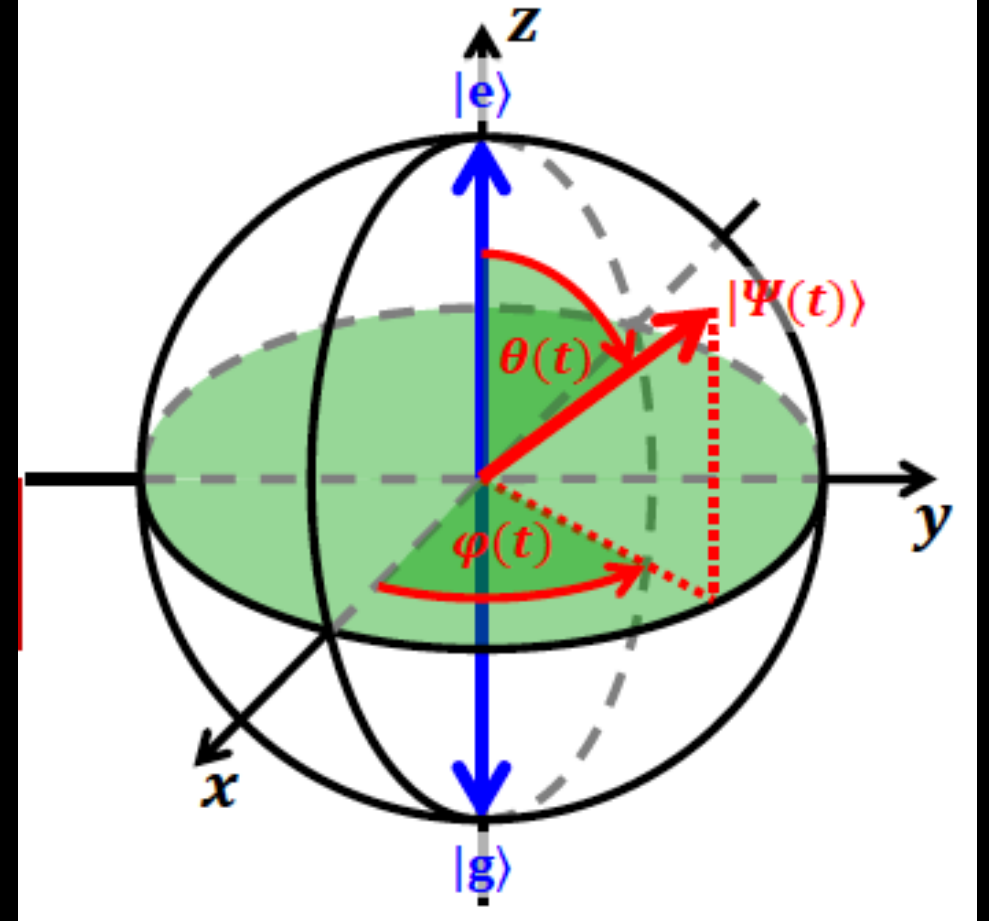
Sfera di Bloch

Expert insight into current research
News & views
Quantum information
Quantum computing takes flight
William D. Oliver
A programmable quantum computer has been reported to outperform the most powerful conventional computers in a specific task – a milestone in computing comparable in importance to the Wright brothers' first flights. See p.505



Bit classico stato «e» o «g»,
come stare al Polo Nord o al Polo Sud

Bit quantistico, sovrapposizione di «e» o «g»,
qualsiasi punto sulla superficie terrestre

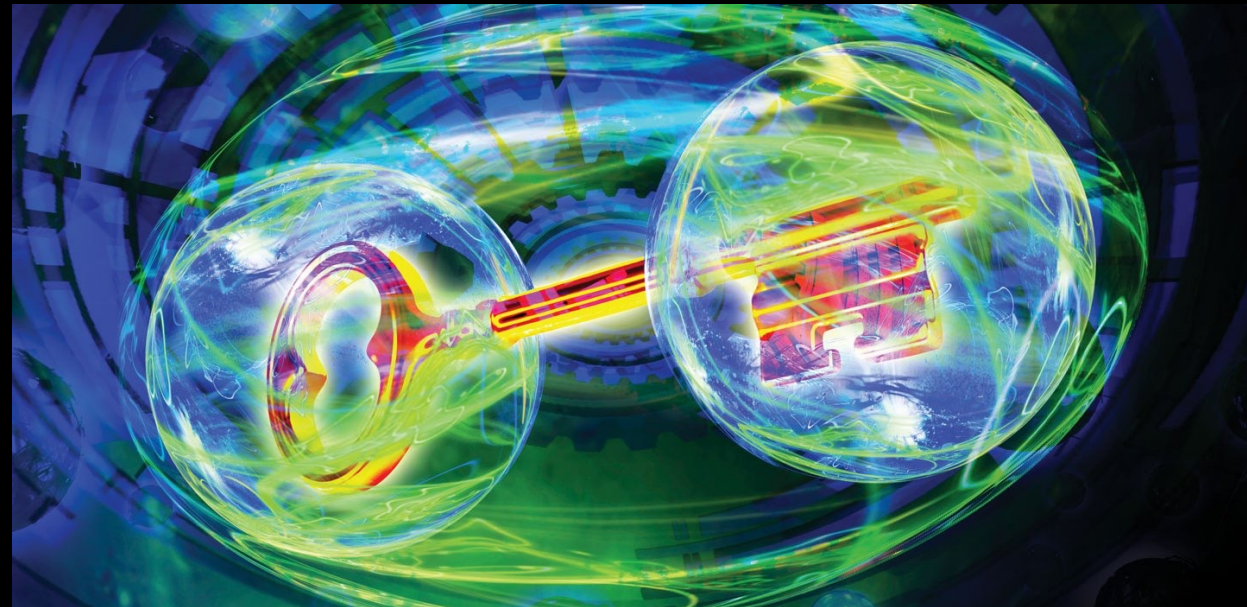
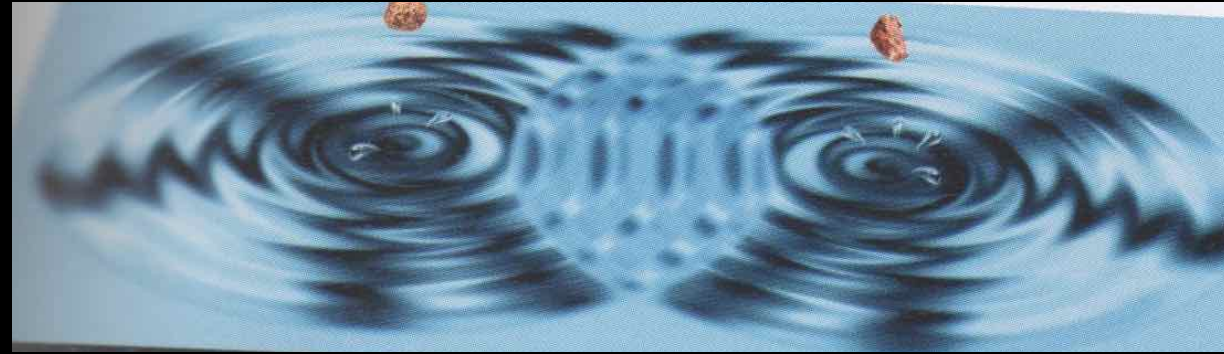


Codifica dell'informazione,
elaborazione dell'informazione

Proprietà dei quantum bit

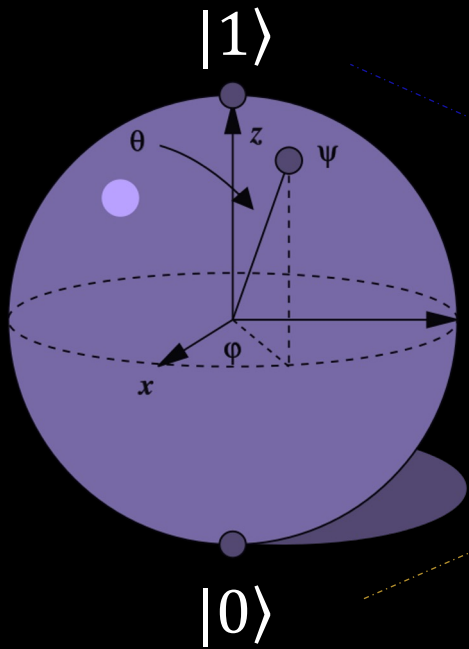
la sovrapposizione di stati (possono essere contemporaneamente 0 e 1) grazie alla quale si possono fare calcoli paralleli anziché sequenziali come avviene oggi con la capacità computazionale dei computer “tradizionali”;

l'entanglement, cioè la correlazione (il legame) che c'è tra un qubit ed un altro, aspetto molto importante perché è da qui che deriva una forte accelerazione nel processo di calcolo grazie all'influenza che un qubit può produrre su un altro anche se distante;



Implementazione fisica?

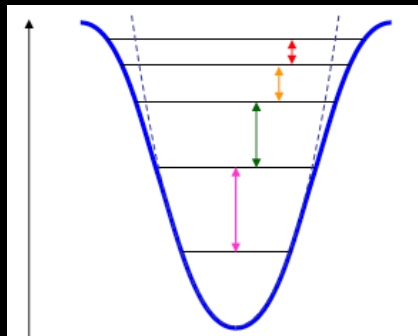
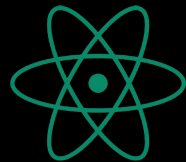
The quantum logical bit: the qubit



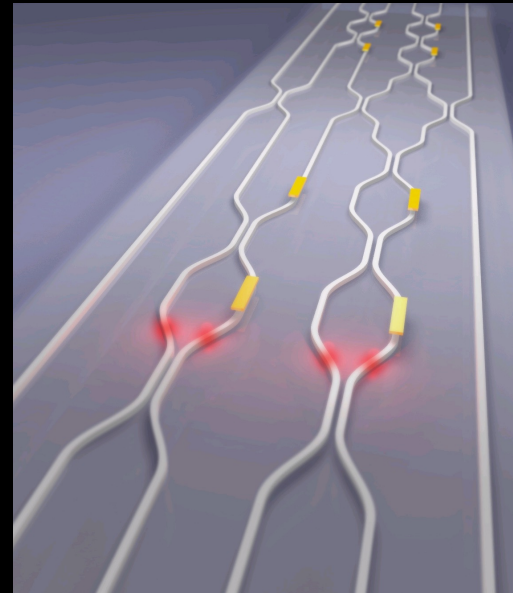
Encoding

Encoding

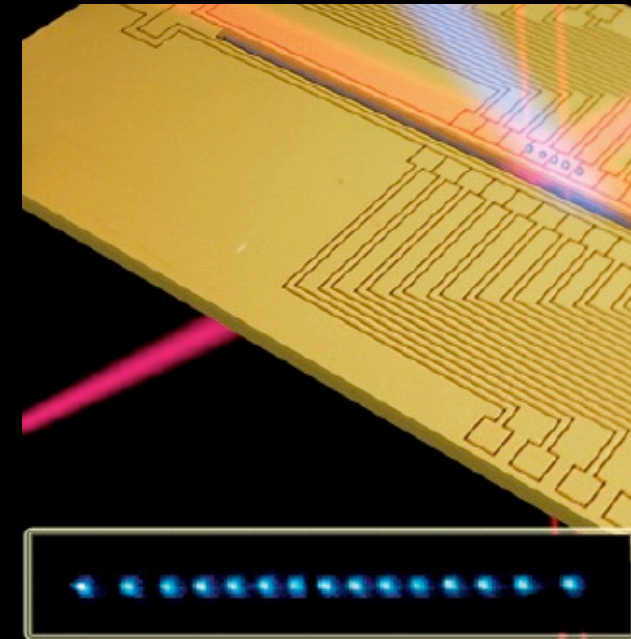
Quantum 2-level systems



Fotoni

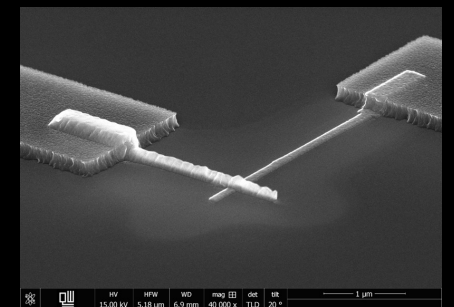
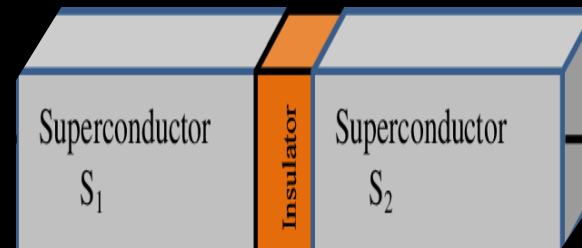


Ioni (o atomi) intrappolati



Giunzione Josephson = atomo artificiale macroscopico

$\leftarrow 10^{-6} - 10^{-9} m \rightarrow$

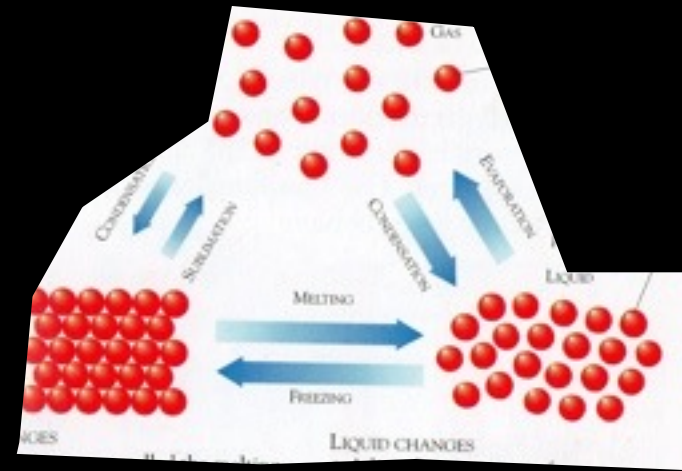


Passaggi di stato

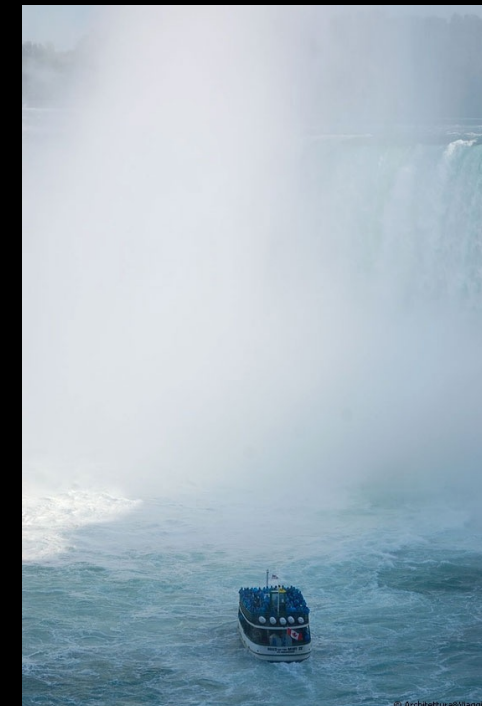
per esempio cambiando la temperatura



ghiaccio=solido

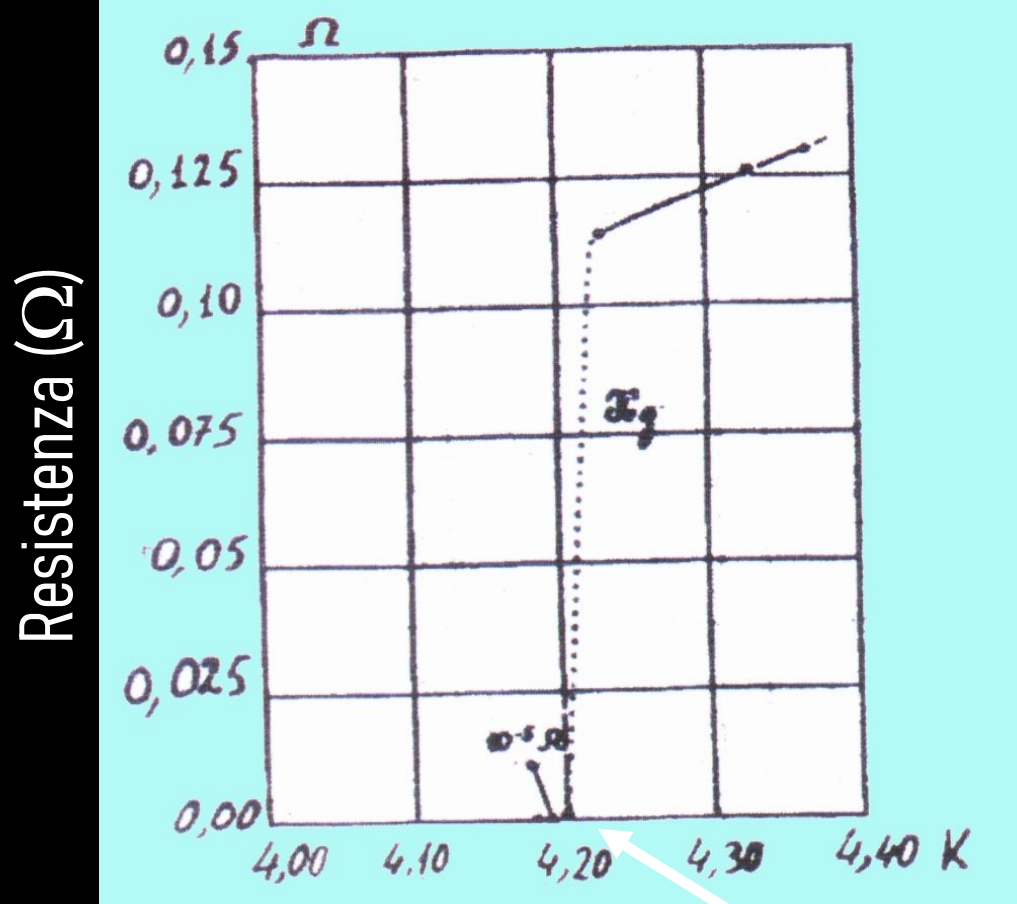


acqua=liquido



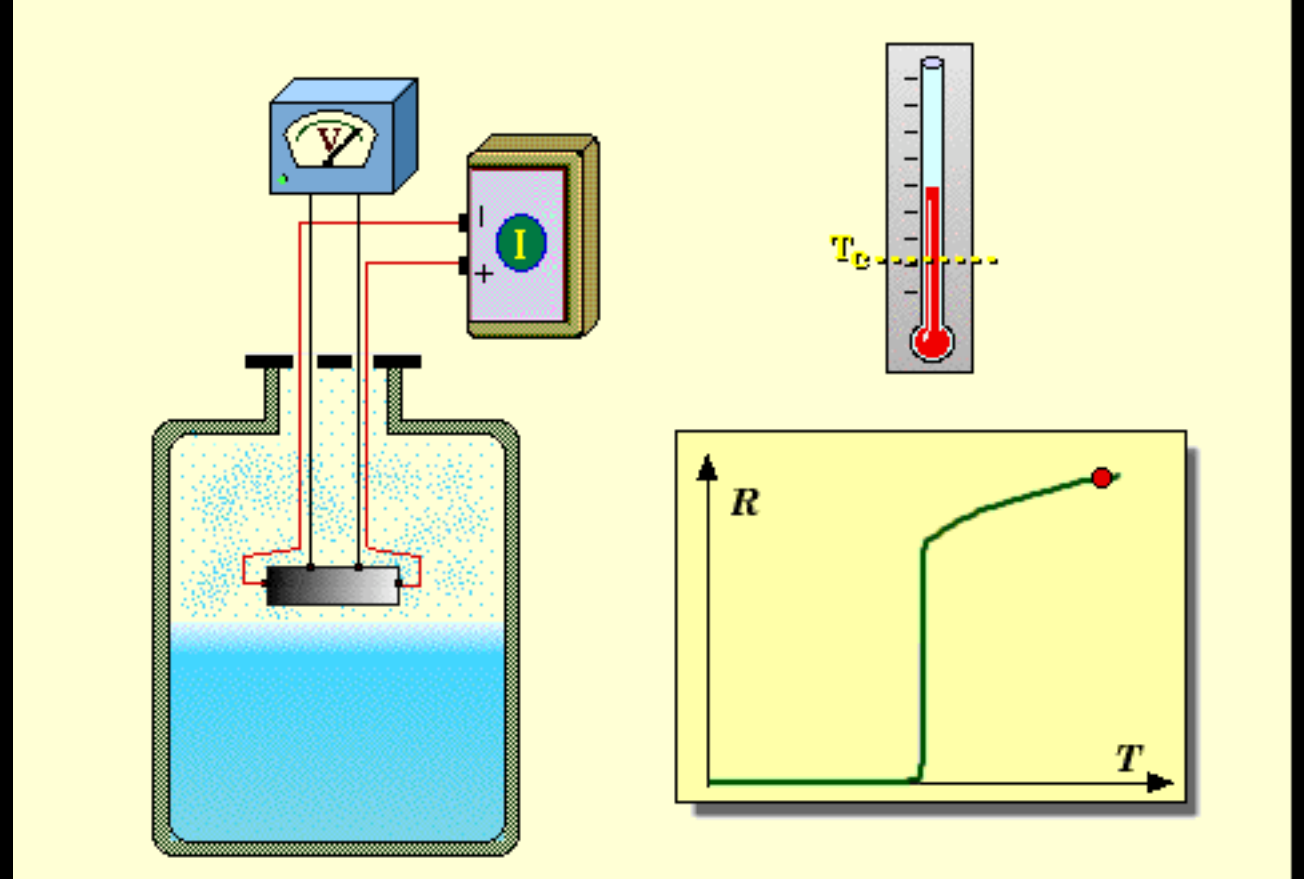
vapore =gas

Superconduttività, resistività nulla

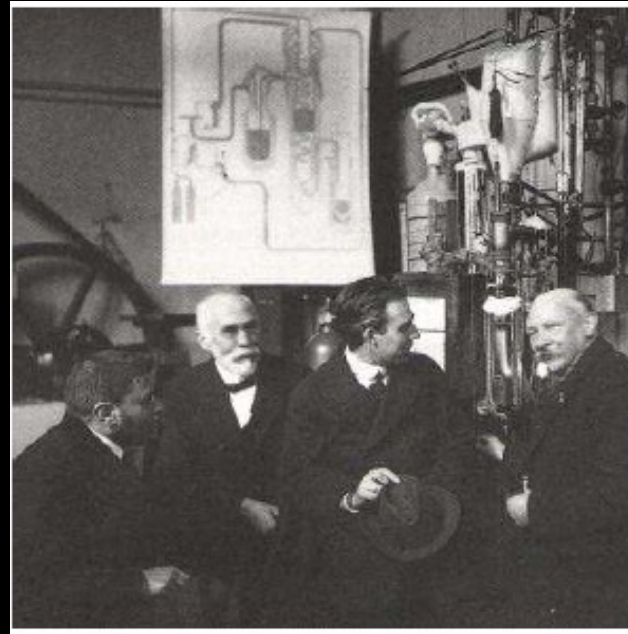


Temperatura (K)

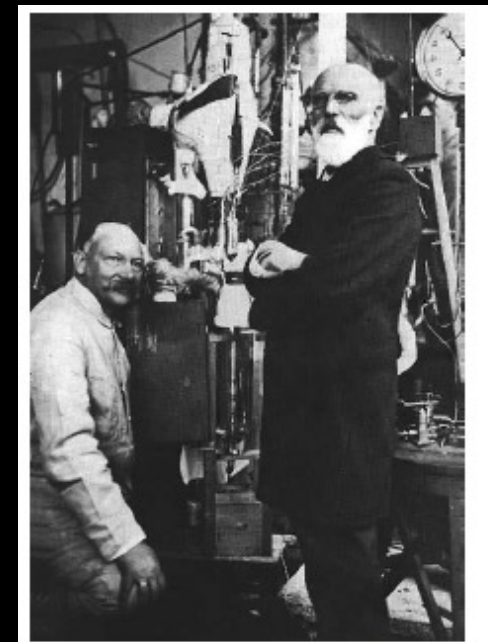
-269 °C



Heike Kamerlingh Onnes (1853-1926)



Heike Kamerlingh Onnes (*far right*) shows his helium liquefactor to three theoretical physicists: Niels Bohr (visiting from Copenhagen), Hendrik Lorentz, and Paul Ehrenfest (*far left*).



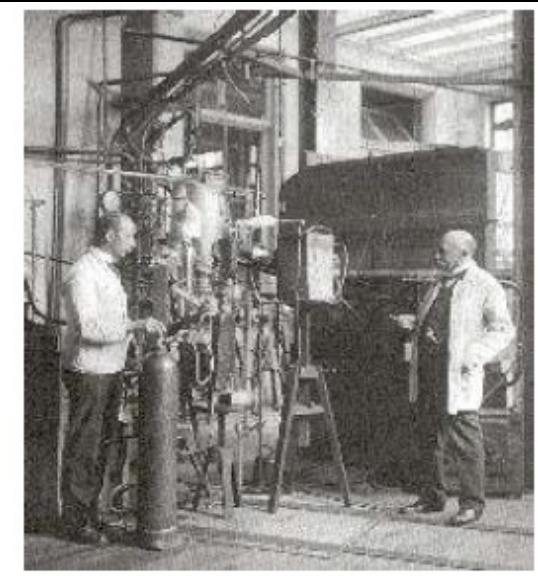
Kammerlingh Onnes and van der Waals



Nobel Prize
in Physics

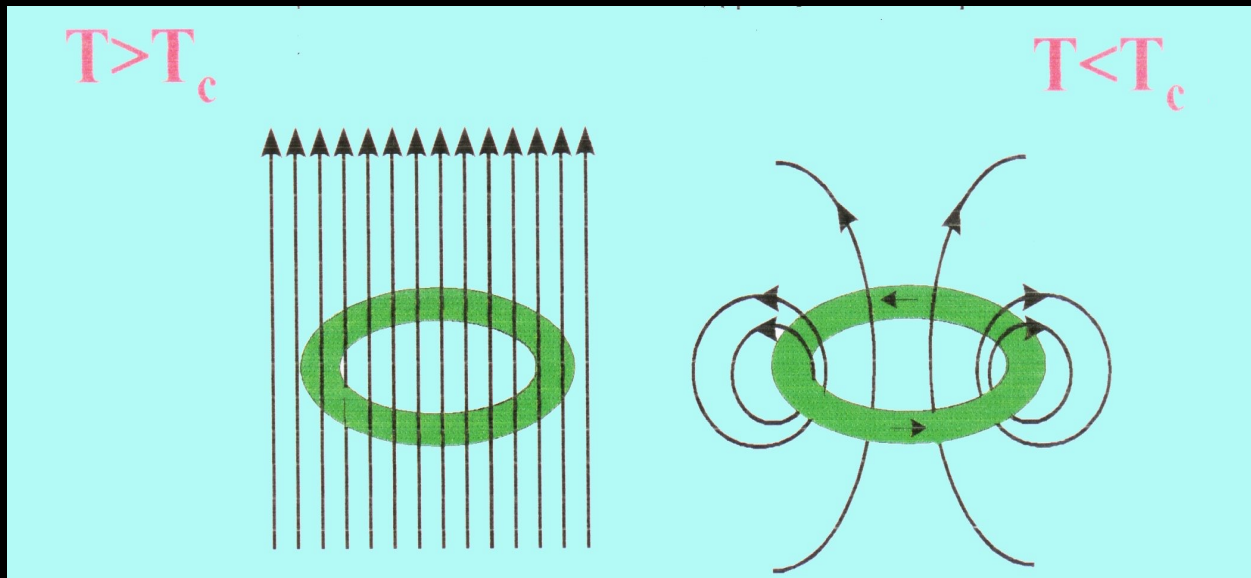
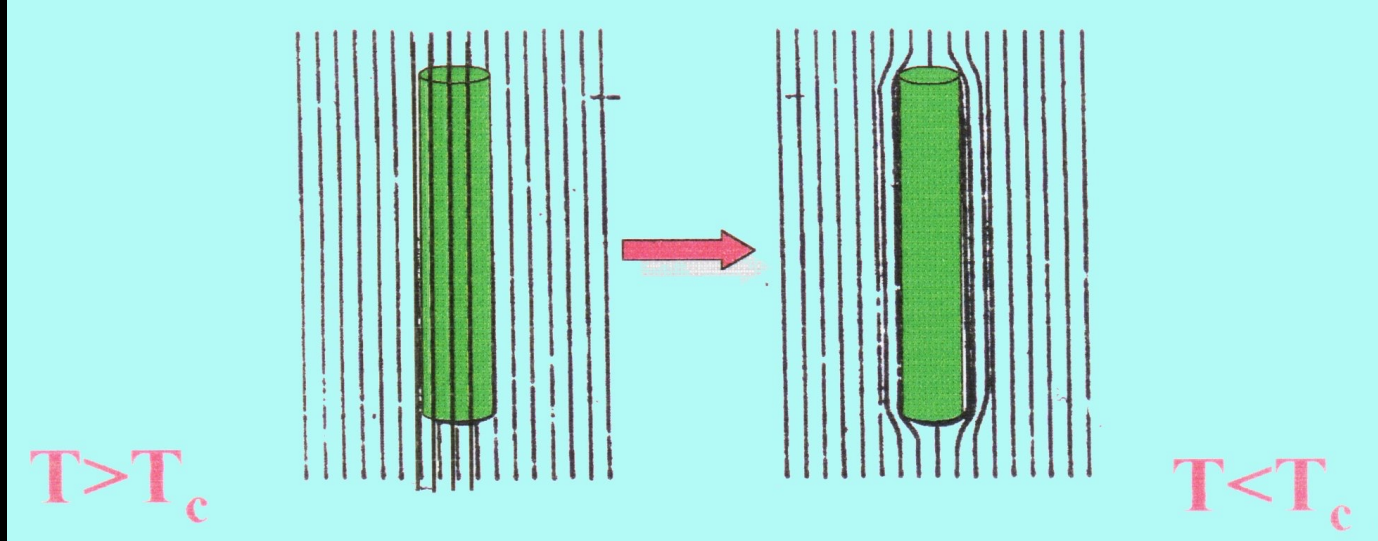


Prof. Heike Kamerlingh Onnes and his wife with some colleagues among them their friend Albert Einstein (*standing behind Mrs. Kamerlingh Onnes*), ca. 1920.



Kammerlingh Onnes and Techniker Flim

Superconduttività, diamagnetismo perfetto



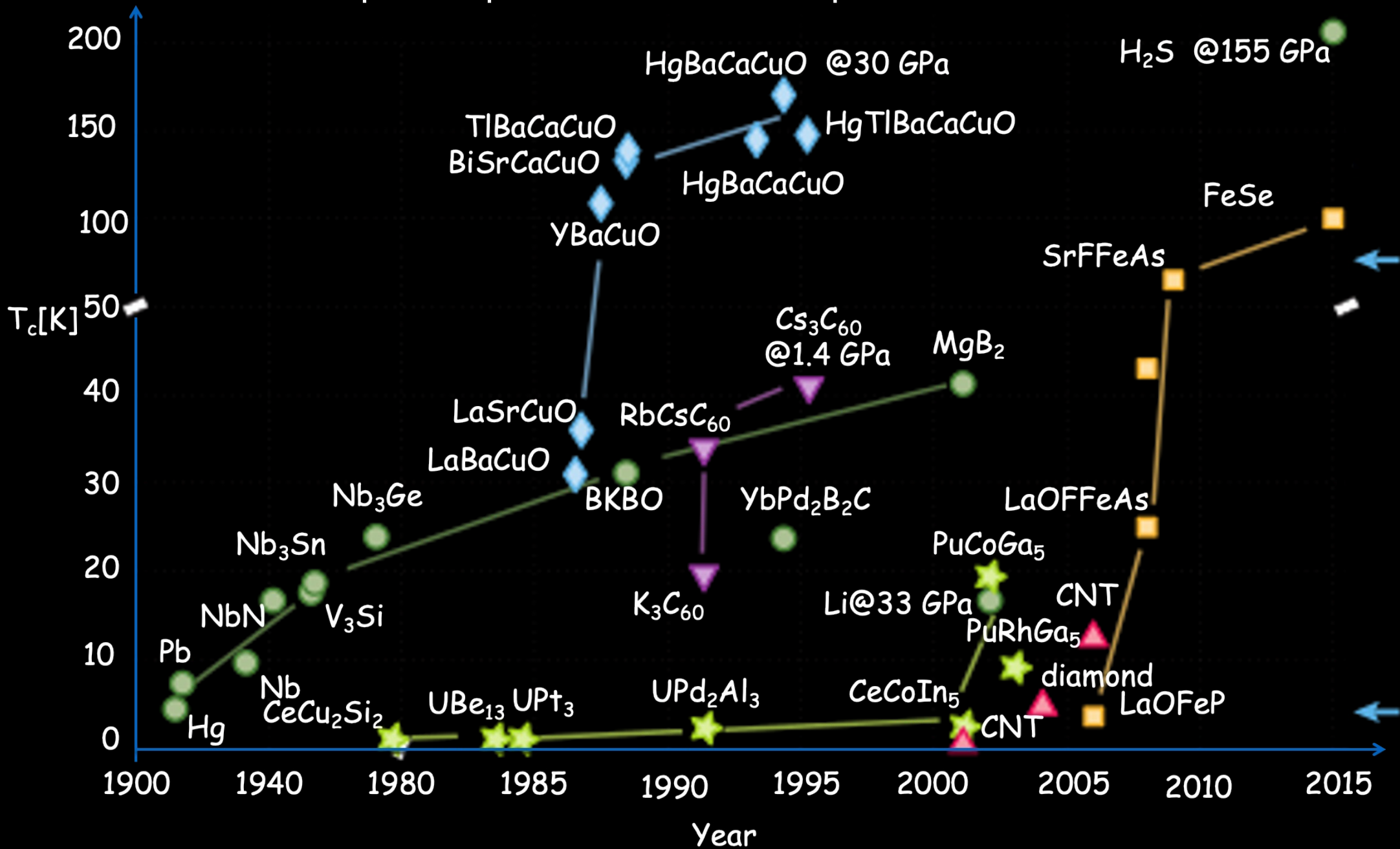
Per esempio
Levitazione magnetica



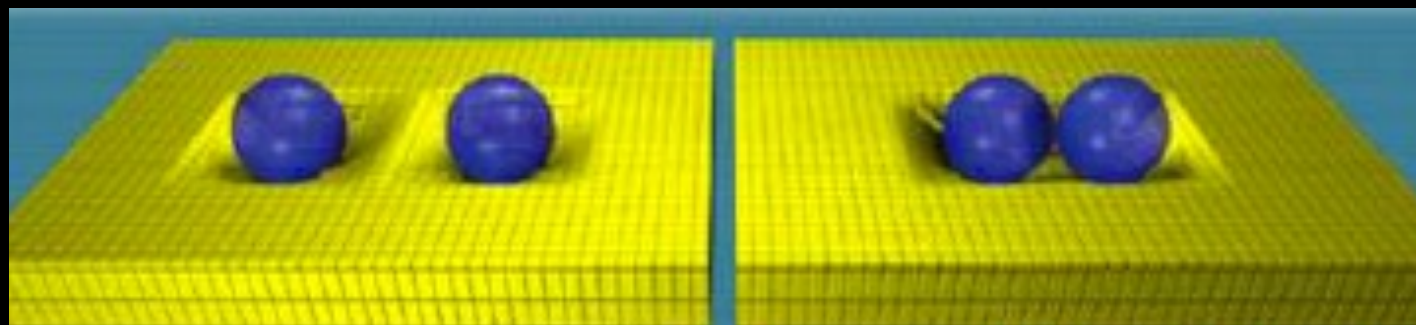
Elementi superconduttivi

^1H <i>superconducting @ $p = 1$ bar</i>																				^2He	
^3Li 20 <i>superconducting @ $p \gg 1$ bar</i>		^4Be 0.03 <i>non-superconducting</i>														^5B 11 	^6C	^7N	^8O 0.6 	^9F	^{10}Ne
^{11}Na <i>magnetic ordering</i>		^{12}Mg														^{13}Al 1.19 	^{14}Si 8.5 	^{15}P 18 	^{16}S 17 	^{17}Cl	^{18}Ar
^{19}K	^{20}Ca 15 	^{21}Sc 0.35 	^{22}Ti 0.4 	^{23}V 5.3 	^{24}Cr 	^{25}Mn 	^{26}Fe 2.0 	^{27}Co 	^{28}Ni 	^{29}Cu	^{30}Zn 0.9 	^{31}Ga 1.09 	^{32}Ge 5.4 	^{33}As 2.7 	^{34}Se 5.6 	^{35}Br 1.4 	^{36}Kr				
^{37}Rb	^{38}Sr 4.0 	^{39}Y 2.7 	^{40}Zr 0.55 	^{41}Nb 9.2 	^{42}Mo 0.923 	^{43}Tc 7.8 	^{44}Ru 0.5 	^{45}Rh 320 μK 	^{46}Pd	^{47}Ag	^{48}Cd 0.55 	^{49}In 3.4 	^{50}Sn 3.7 	^{51}Sb 5.6 	^{52}Te 7.4 	^{53}I 1.1 	^{54}Xe				
^{55}Cs	^{56}Ba 5.1 	^{57}La 5.9 	^{72}Hf 0.16 	^{73}Ta 4.4 	^{74}W 0.01 	^{75}Re 1.7 	^{76}Os 0.65 	^{77}Ir 0.14 	^{78}Pt	^{79}Au	^{80}Hg 4.15 	^{81}Tl 2.4 	^{82}Pb 7.2 	^{83}Bi 8.7 	^{84}Po	^{85}At	^{86}Pn				
^{87}Fr	^{88}Ra	^{89}Ac	^{58}Ce 1.7 	^{59}Pr	^{60}Nd 	^{61}Pm	^{62}Sm 	^{63}Eu 	^{64}Gd 	^{65}Tb 	^{66}Dy 	^{67}Ho 	^{68}Er 	^{69}Tm 	^{70}Yb	^{71}Lu 0.1 					
			^{90}Th 1.37 	^{91}Pa 1.3 	^{92}U 0.2 	^{93}Np	^{94}Pu	^{95}Am 0.8 	^{96}Cm	^{97}Bk	^{98}Cf	^{99}Es	^{100}Fm	^{101}Md	^{102}No	^{103}Lw					

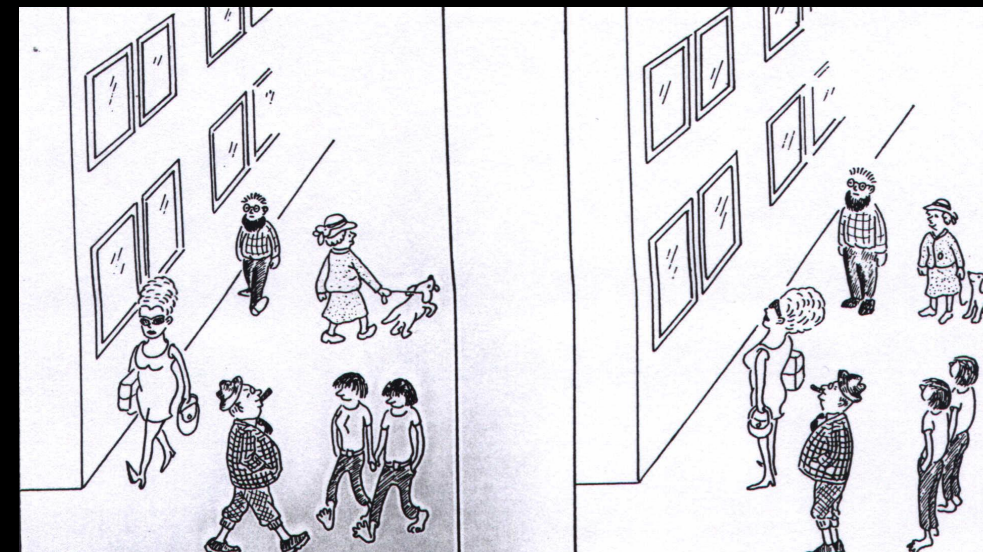
Composti superconduttivi nel tempo



La teoria BCS, le coppie di Cooper e il ruolo del reticolo



Formazione coppie di Cooper



Condensato di Bose

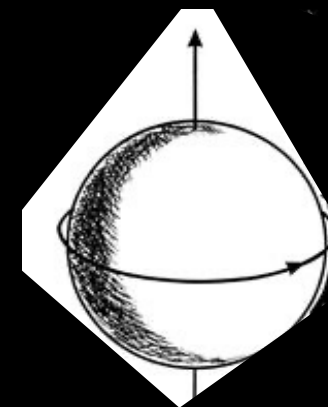


Bardeen, Cooper y Schrieffer (1972):
microscopic theory of superconductivity



Nobel Prize
in Physics

$$\Psi_s = |\Psi_s| e^{i\varphi_s}$$

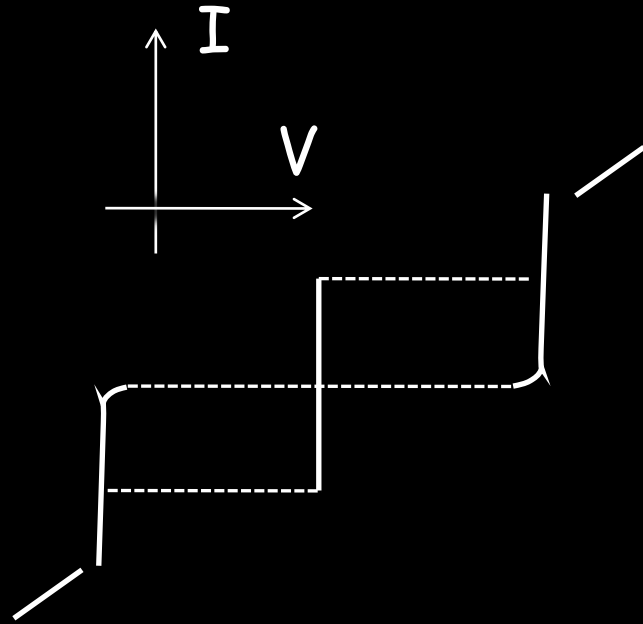


*superconduttore =
atomo macroscopico*

Giunzione Josephson

$$\begin{cases} I_S(\varphi) = I_c \sin \varphi \\ \frac{\partial \varphi}{\partial t} = \frac{2eV}{\hbar} \end{cases}$$

$$\varphi = \varphi_L - \varphi_R$$



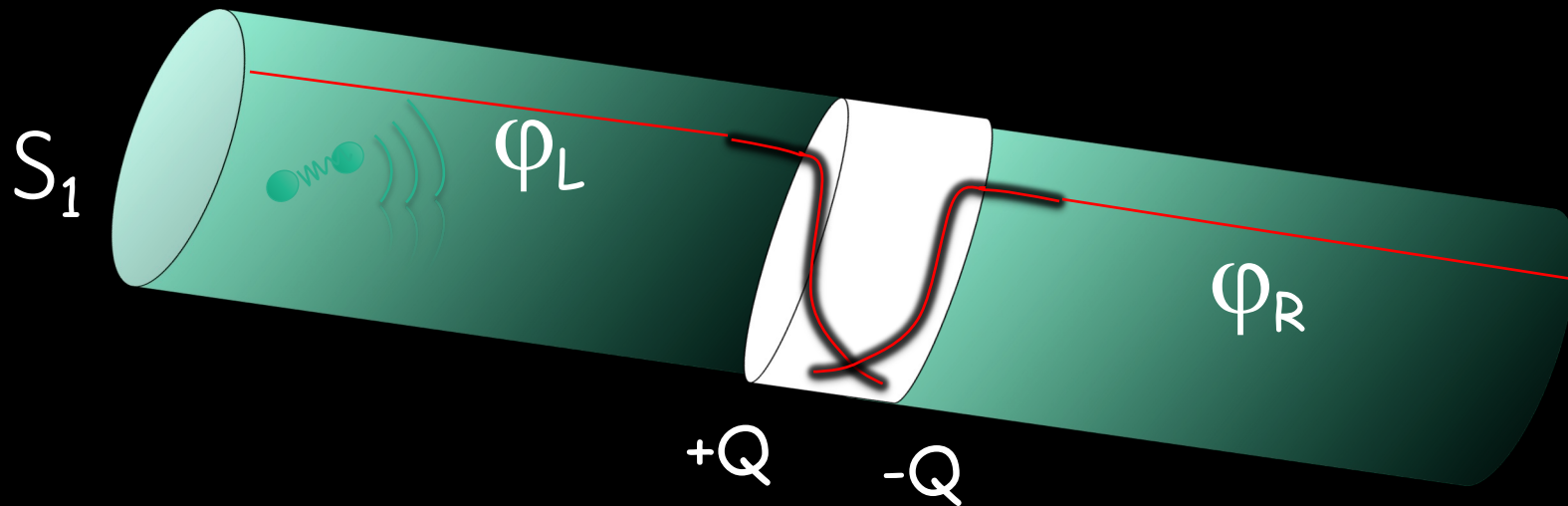
$$H = E_C - E_J \cos \varphi - \frac{\hbar}{2e} I \varphi$$



Giaever y Josephson (1973): tunnelling in superconductors and Josephson's effects



Nobel Prize in Physics



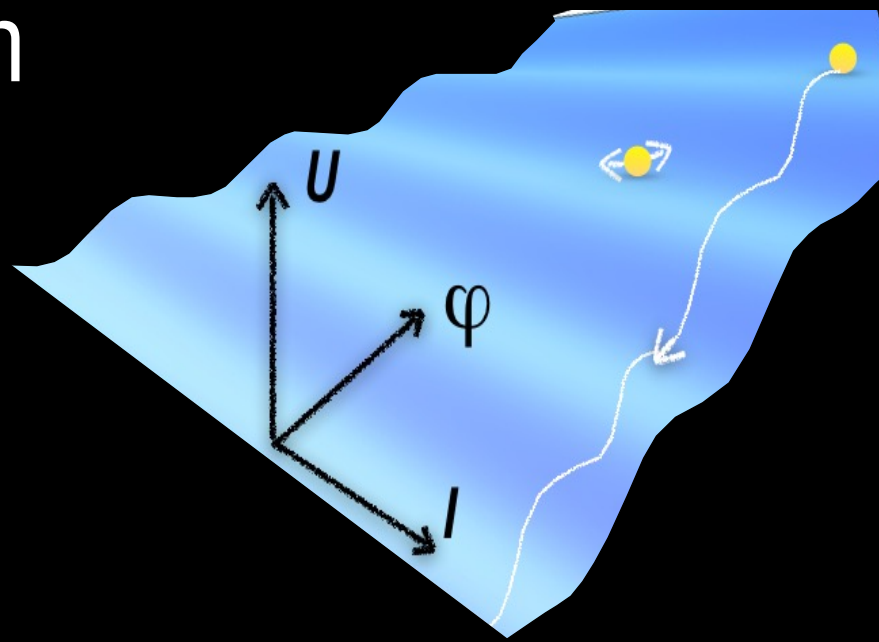
$$E_J = \frac{\hbar I_c}{2e}$$

$$E_C = \frac{(2en)^2}{2C}$$

Giunzione Josephson

$$\begin{cases} I_S(\varphi) = I_c \sin \varphi \\ \frac{\partial \varphi}{\partial t} = \frac{2eV}{\hbar} \end{cases}$$

$$\varphi = \varphi_L - \varphi_R$$

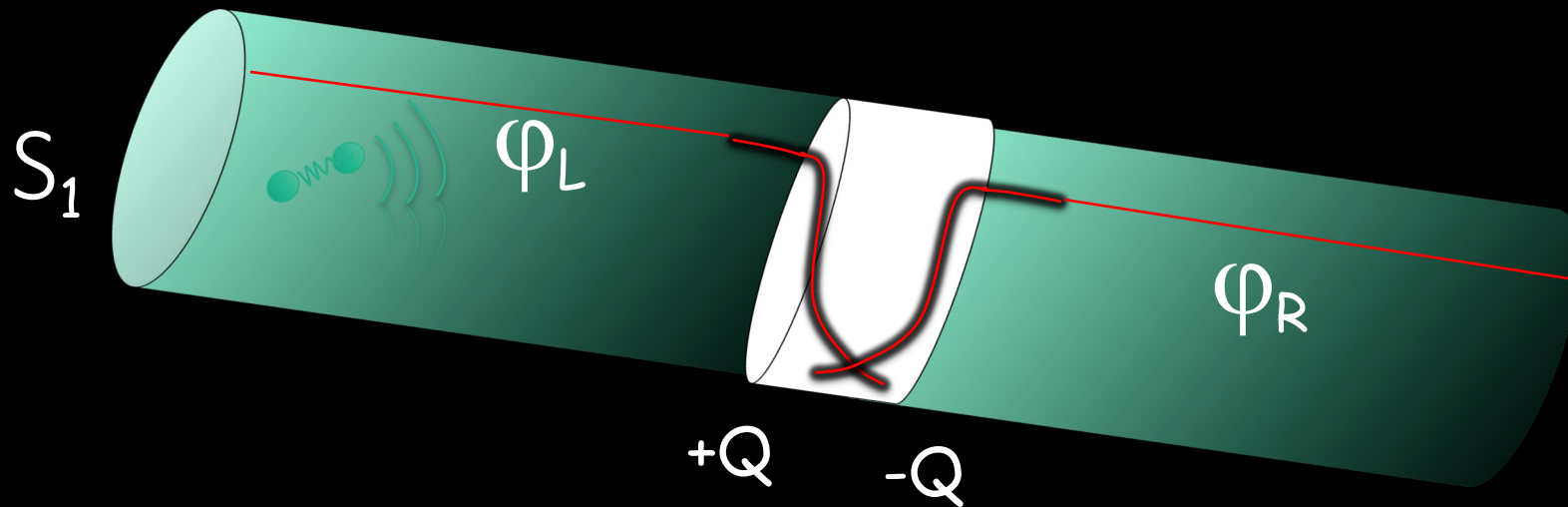


Giaever y Josephson (1973): tunnelling in superconductors and Josephson's effects



Nobel Prize in Physics

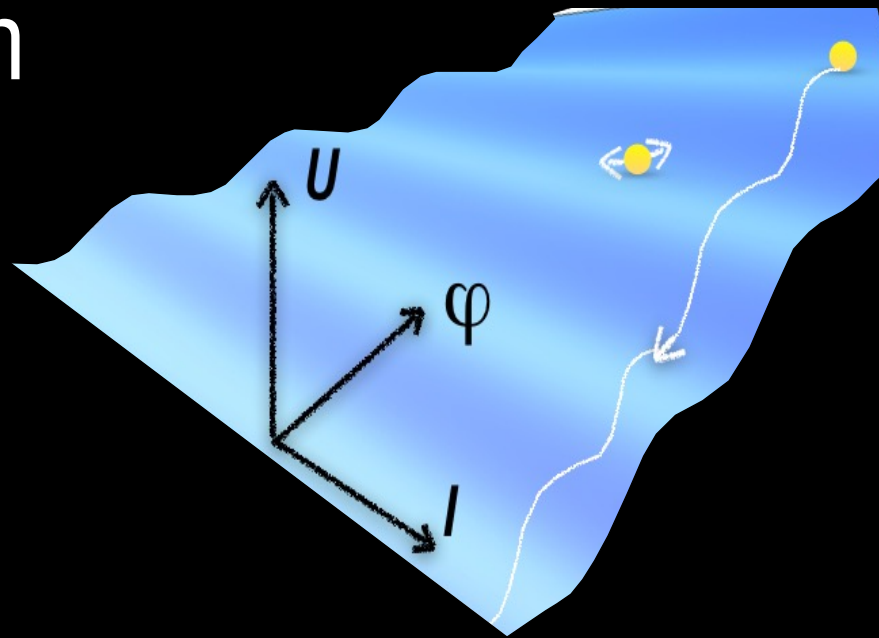
$$H = \cancel{E_C} - E_J \cos \varphi - \frac{\hbar}{2e} I \dot{\varphi}$$



$$E_J = \frac{\hbar I_c}{2e}$$

$$E_C = \frac{(2en)^2}{2C}$$

Giunzione Josephson

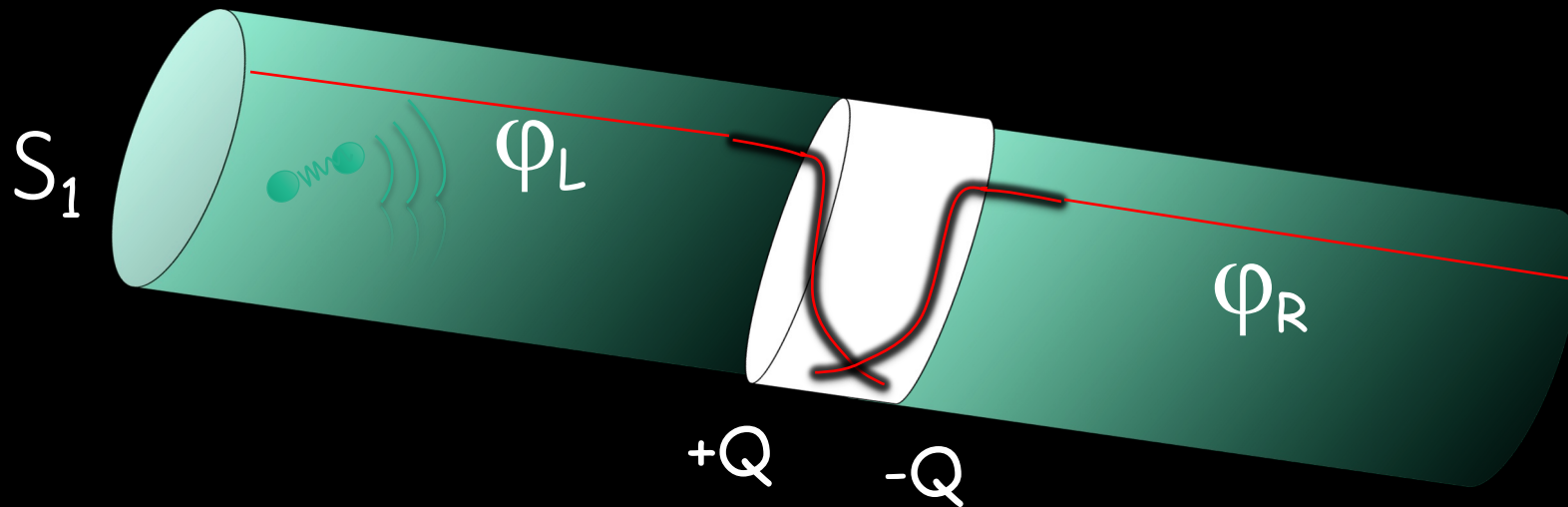


Giaever y Josephson (1973): tunnelling in superconductors and Josephson's effects



Nobel Prize in Physics

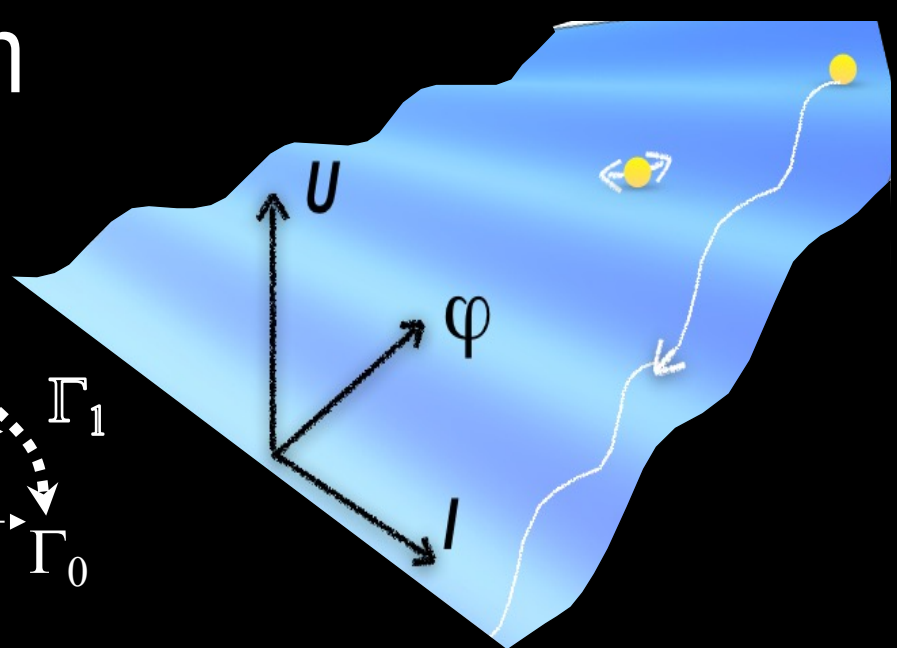
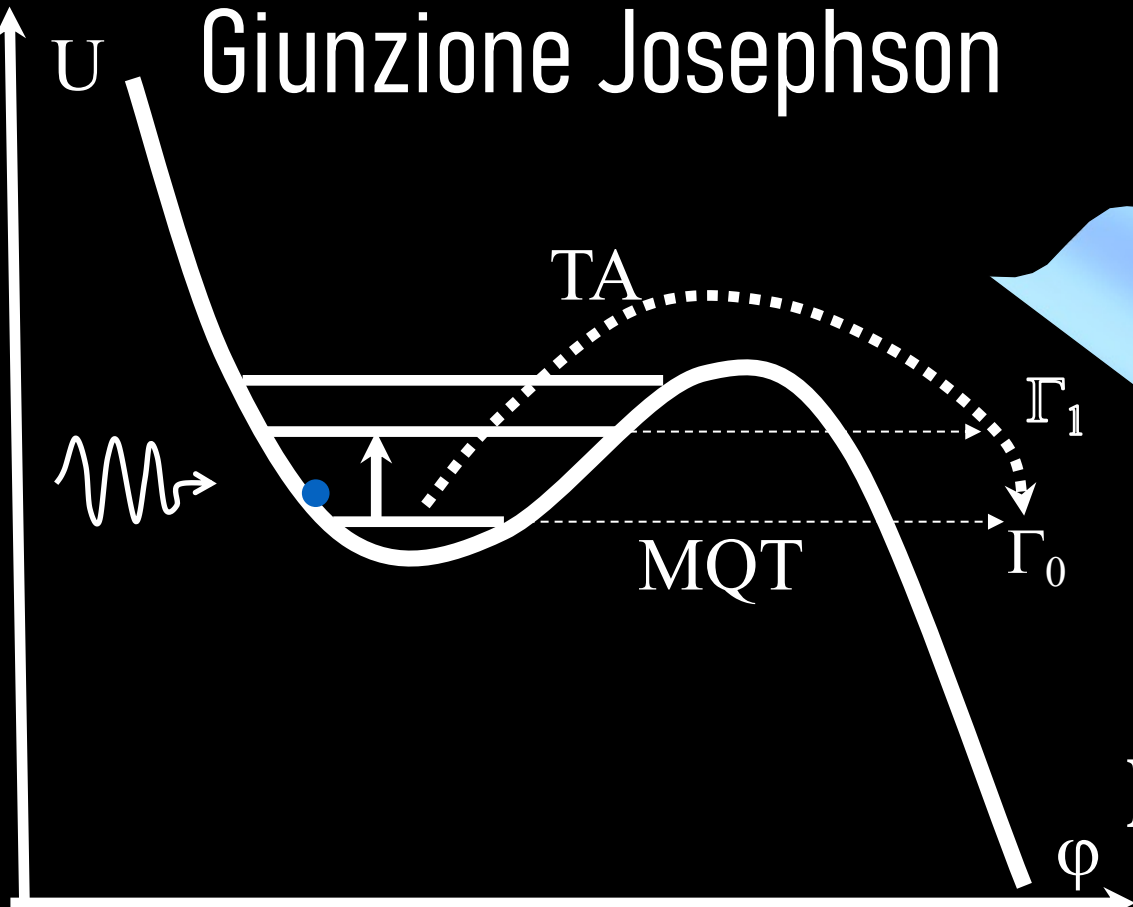
$$H = \cancel{E_C} - E_J \cos \varphi - \frac{\hbar}{2e} I \dot{\varphi}$$



$$E_J = \frac{\hbar I_c}{2e}$$

$$E_C = \frac{(2en)^2}{2C}$$

Giunzione Josephson

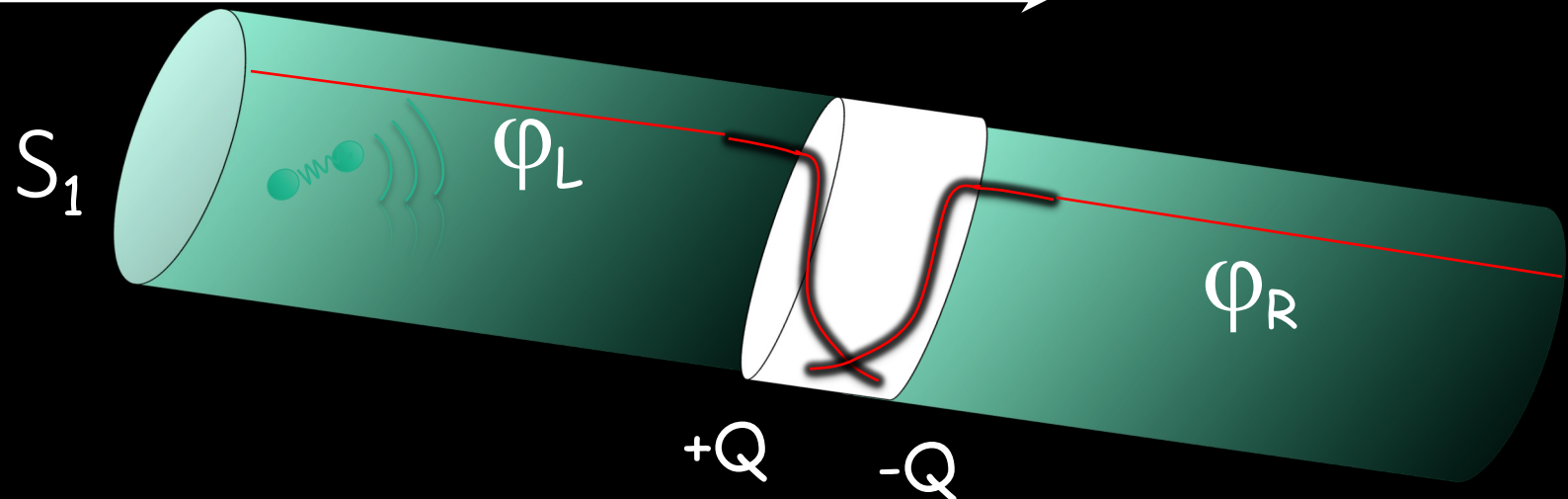


Giaever y Josephson (1973): tunnelling in superconductors and Josephson's effects



Nobel Prize in Physics

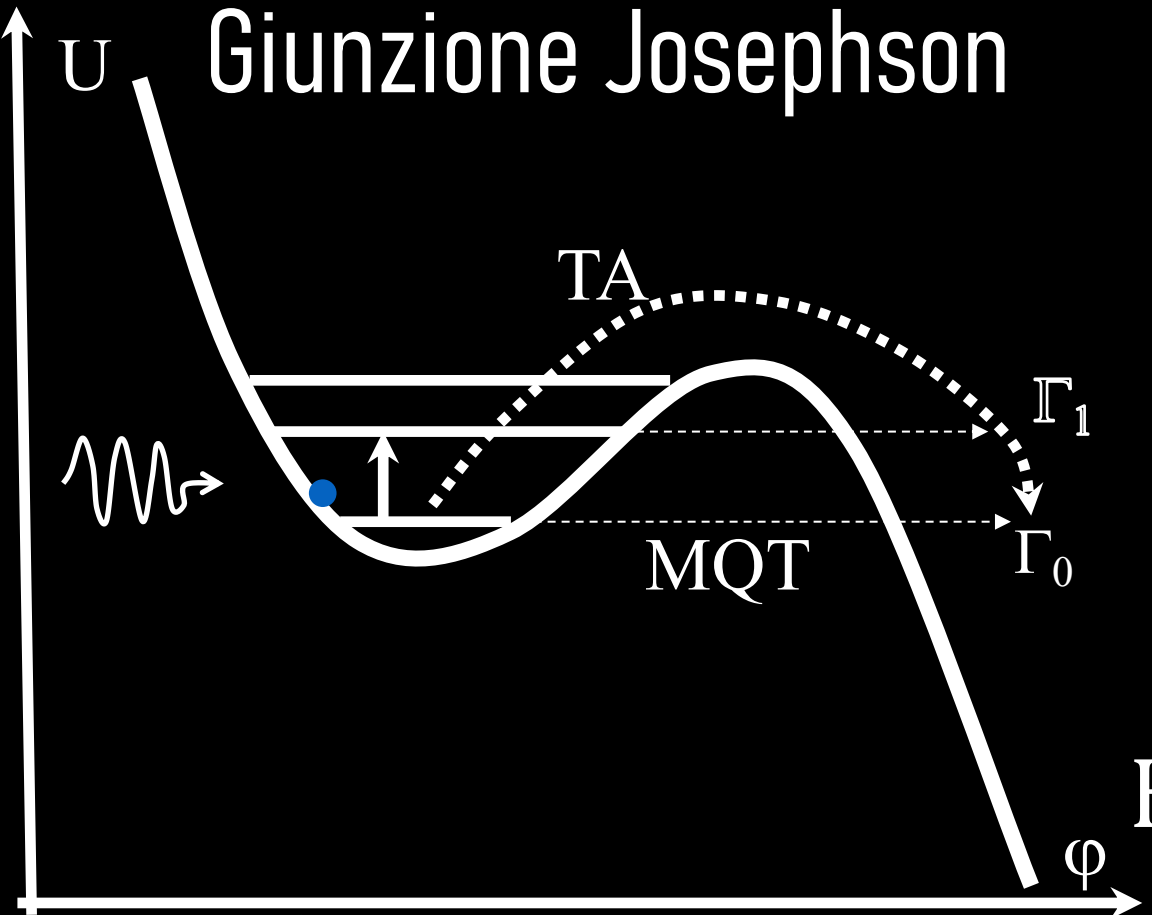
$$H = \cancel{E_C} - E_J \cos \varphi - \frac{\hbar}{2e} I \dot{\varphi}$$



$$E_J = \frac{\hbar I_c}{2e}$$

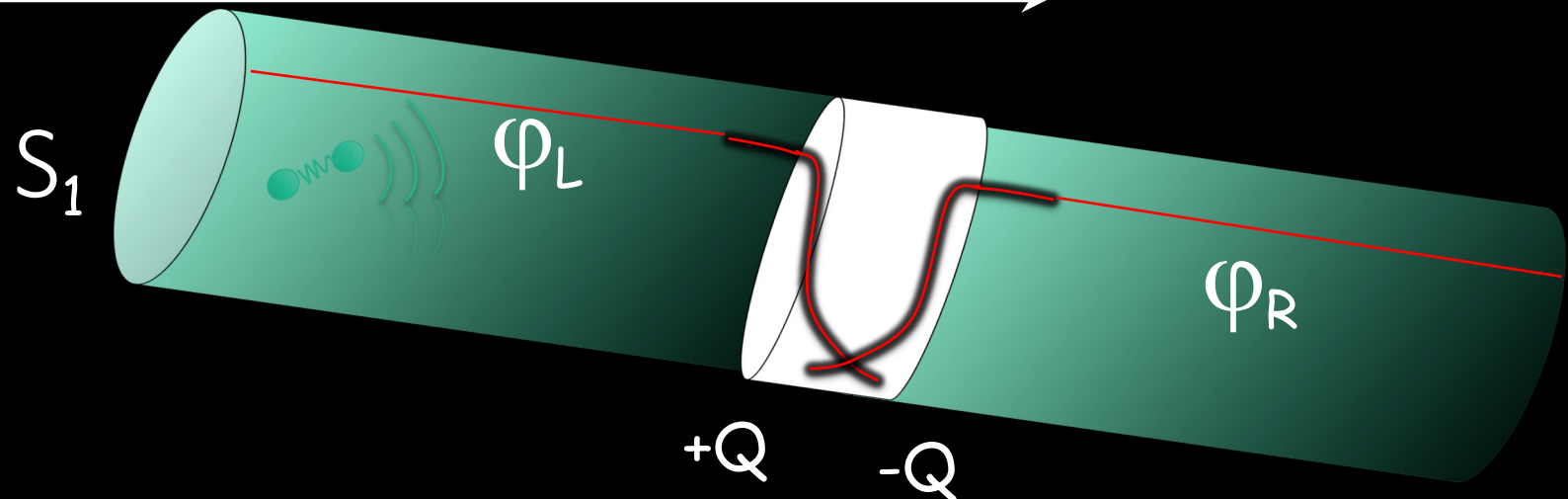
$$E_C = \frac{(2en)^2}{2C}$$

Giunzione Josephson



Effetti quantistici macroscopici: tunnel di un oggetto macroscopico, i.e. un circuito

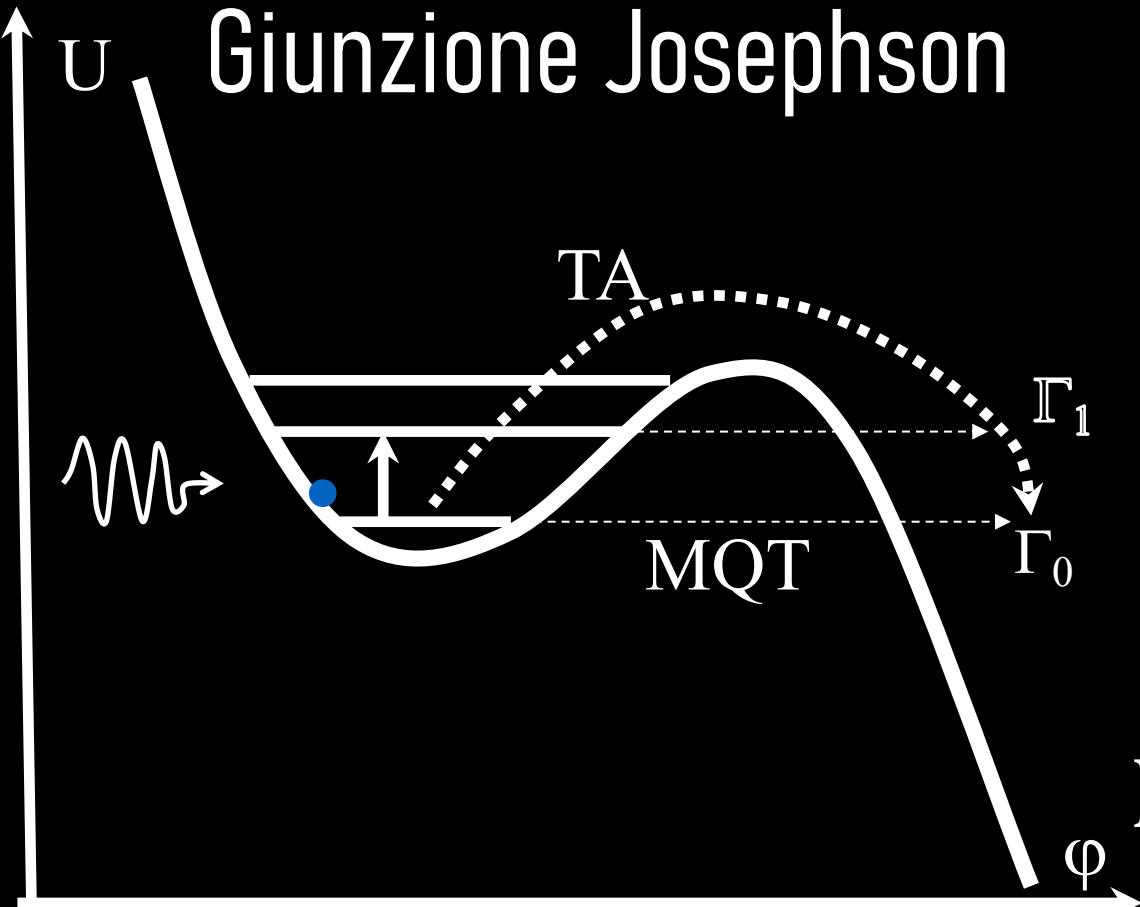
$$H = \cancel{E_C} - E_J \cos \varphi - \frac{\hbar}{2e} I \dot{\varphi}$$



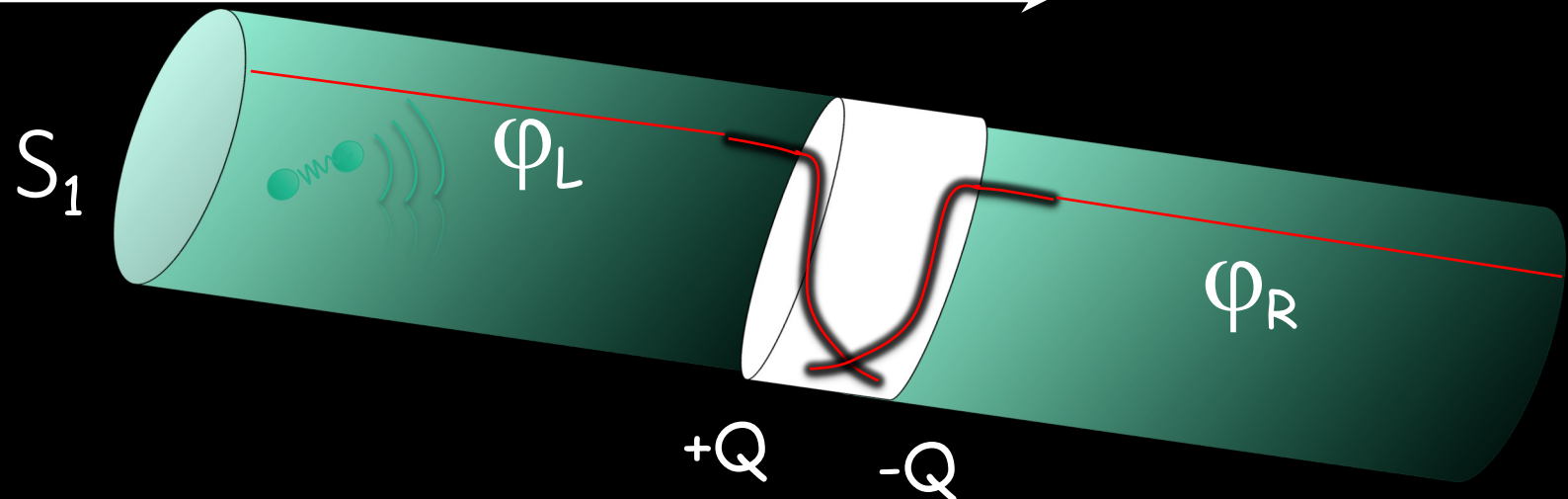
$$E_J = \frac{\hbar I_c}{2e}$$

$$E_C = \frac{(2en)^2}{2C}$$

Giunzione Josephson



$$H = \cancel{E_C} - E_J \cos \varphi - \frac{\hbar}{2e} I \varphi$$

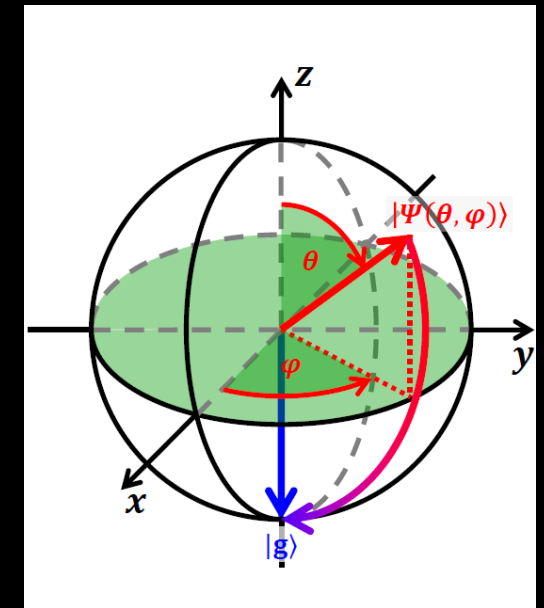
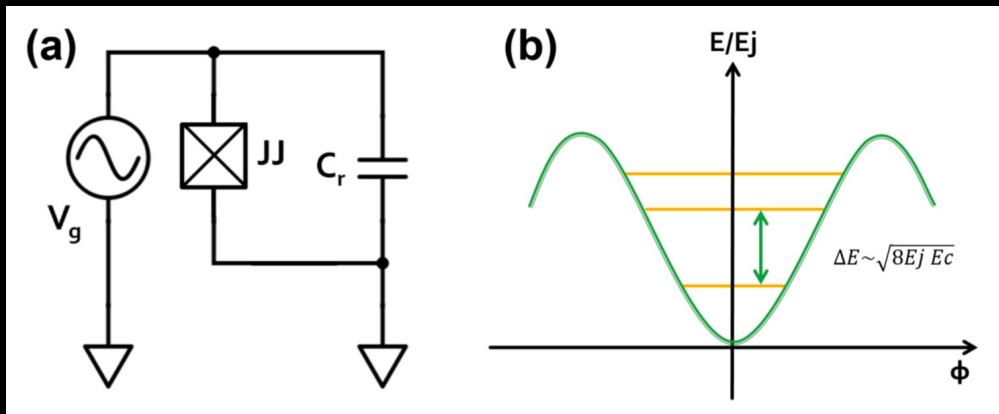


$$E_J = \frac{\hbar I_c}{2e}$$

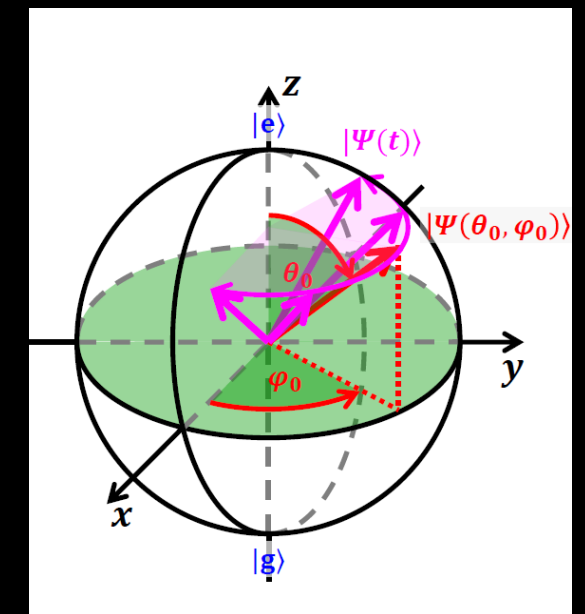
$$E_C = \frac{(2en)^2}{2C}$$

Qubits superconduttivi costituiscono atomo artificiale costruiti ed ideati artificialmente

- Lo spettro energetico può essere ingegnerizzato
- Interazioni forti
- Parametri regolabili
- micro fabbricazione => sistemi scalabili
- Controllati a micro-onde oppure con elettronica superconduttiva
- Componenti commercialmente disponibili



Rilassamento T_1



Sfasamento T_ϕ

IBM | Quantum Technology Qiskit Research Pricing Community Resources

Bringing useful quantum computing to the world

Our users access the largest quantum computing fleet in the world through Qiskit Runtime—our quantum computing service and programming model for utility.

IBM, Google, Rigetti, Quantware, SeeQc, per esempio

IBM | Quantum Technology Qiskit Research Pricing Community Resources Sign in to Platform

Making the world quantum safe

IBM | Quantum Technology Qiskit Research Pricing Community Resources

- 01 Quantum technology
- 02 Development roadmap
- 03 Scaling quantum computing
- 04 IBM Quantum System Two™
- 05 IBM Quantum Safe™

IBM | Quantum Technology Qiskit Research Pricing Community Resources Sign in to Platform

- 01 Quantum technology
- 02 Development roadmap
- 03 Scaling quantum computing
- 04 IBM Quantum System Two™
- 05 IBM Quantum Safe™

Quantum-centric supercomputing

Quantum-centric supercomputing is a heterogeneous computing architecture which takes advantage of parallelism, concurrent quantum and classical computation, and dynamic circuit execution.

Utility-scale quantum computation

This architecture scales with our processors, to explore more complex problems and advance scientific discovery beyond the limits of

01 Quantum technology

02 Development roadmap

03 Scaling quantum computing

04 IBM Quantum System Two™

05 IBM Quantum Safe™

Development Roadmap

IBM Quantum

	2016–2019	2020	2021	2022	2023	2024	2025	2026	2027	2028	2029	2033+
	Ran quantum circuits on the IBM Quantum Platform	Released multi-dimensional roadmap publicly with initial aim focused on scaling	Enhanced quantum execution speed by 100x with Qiskit Runtime	Brought dynamic circuits to unlock more computations	Enhanced quantum execution speed by 5x with Quantum Serverless and execution modes	Improve quantum circuit quality and speed to allow 5K gates with parametric circuits	Enhance quantum execution speed and parallelization with partitioning and quantum modularity	Improve quantum circuit quality to allow 7.5K gates	Improve quantum circuit quality to allow 10K gates	Improve quantum circuit quality to allow 15K gates	Improve quantum circuit quality to allow 100M gates	Beyond 2033, quantum-centric supercomputers will include 1000's of logical qubits unlocking the full power of quantum computing
Data scientists						Platform						
						Code assistant	Functions	Mapping collections	Specific libraries			General purpose QC libraries
Researchers						Middleware						
					Quantum Serverless	Transpiler service	Resource management	Circuit knitting x p	Intelligent orchestration			Circuit libraries
Quantum physicists			Qiskit Runtime									
	IBM Quantum Experience		QASM 3	Dynamic circuits	Execution modes	Heron (5K)	Flamingo (5K)	Flamingo (7.5K)	Flamingo (10K)	Flamingo (15K)	Starling (100M)	Blue Jay (1B)
	Early	Falcon		Eagle		Error mitigation 5k gates 133 qubits Classical modular 133x3 = 399 qubits	Error mitigation 5k gates 156 qubits Quantum modular 156x7 = 1092 qubits	Error mitigation 7.5k gates 156 qubits Quantum modular 156x7 = 1092 qubits	Error mitigation 10k gates 156 qubits Quantum modular 156x7 = 1092 qubits	Error mitigation 15k gates 156 qubits Quantum modular 156x7 = 1092 qubits	Error correction 100M gates 200 qubits Error corrected modularity	Error correction 1B gates 2000 qubits Error corrected modularity
	Canary 5 qubits, Albatross 16 qubits, Penguin 20 qubits, Prototype 53 qubits	Benchmarking 27 qubits		Benchmarking 127 qubits								

Innovation Roadmap

Software innovation	IBM Quantum Experience	Qiskit	Application modules	Qiskit Runtime	Quantum Serverless	AI-enhanced quantum	Resource management	Scalable circuit knitting	Error correction decoder			
		Circuit and operator API with compilation to multiple targets	Modules for domain specific application and algorithm workflows	Performance and abstraction through primitives	Demonstrate concepts of quantum-centric supercomputing	Prototype demonstrations of AI-enhanced circuit transpilation	System partitioning to enable parallel execution	Circuit partitioning with classical reconstruction at HPC scale	Demonstration of a quantum system with real-time error correction decoder			
Hardware innovation	Early	Falcon	Hummingbird	Eagle	Osprey	Condor	Flamingo	Kookaburra	Cockatoo	Starling		
	Canary 5 qubits, Penguin 20 qubits, Albatross 16 qubits, Prototype 53 qubits	Demonstrate scaling with I/O routing with bump bonds	Demonstrate scaling with multiplexing readout	Demonstrate scaling with MLW and TSV	Enabling scaling with high density signal delivery	Single system scaling and fridge capacity	Demonstrate scaling with modular connectors	Demonstrate scaling with nonlocal c-coupler	Demonstrate path to improved quality with logical memory	Demonstrate path to improved quality with logical communication	Demonstrate path to improved quality with logical gates	

Industry Use Cases

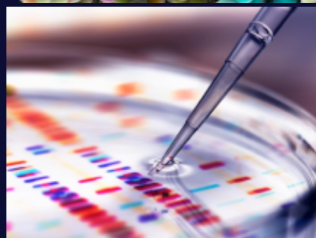
The true value of quantum computing will be unlocked through practical applications. With new tools and new ways of thinking, quantum computing will forever change the way we solve problems across industries.



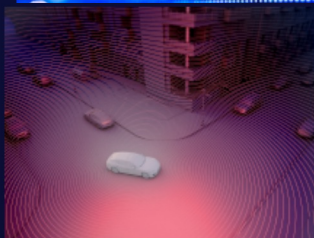
Design and optimize new druglike molecules for known targets



Optimize returns and risks for large financial portfolios



Aid drug discovery for 'undruggables' e.g. neurodegenerative diseases



Train better AI with less computational overhead



Develop synthetic enzymes and catalysts for food and energy production



Reduce fuel costs by optimizing vehicle routing

Think quantum



The Technology Stack

Building quantum computers combines advances in engineering, physics, computer science, and manufacturing. Integrating all these specialties under one roof and in one technology stack allows us to move further, faster.

Chip Design and Fabrication



Superconducting Quantum Processors



Control Systems



QCS Platform



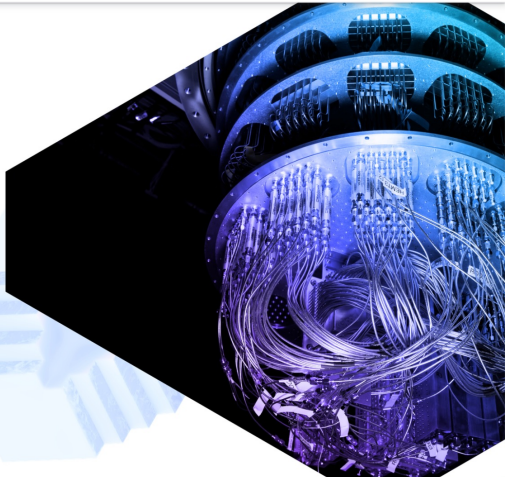
Software Tools



Google Quantum AI Discover Our Work About Careers Search / Accedi

FEATURED

XPRIZE Quantum Applications | Google Quantum AI

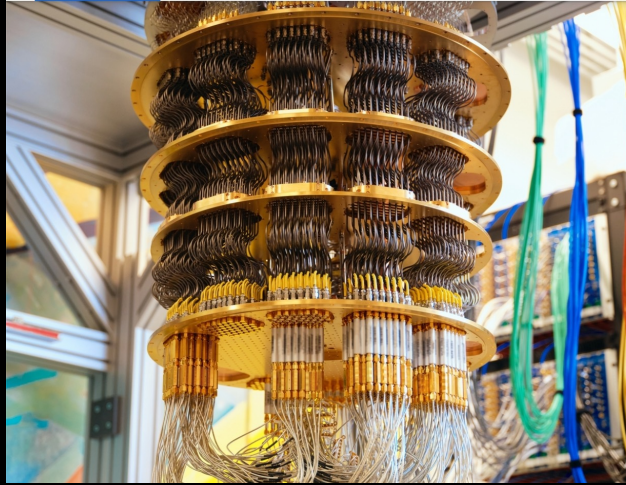


XPRIZE Quantum Applications | Google Quantum AI is a 3-year, \$5M global competition designed to advance the field of quantum algorithms towards pro-society real-world applications, with funding from Google.org.

[Learn more](#)

Google Quantum AI Discover Our Work About Careers Search / Accedi

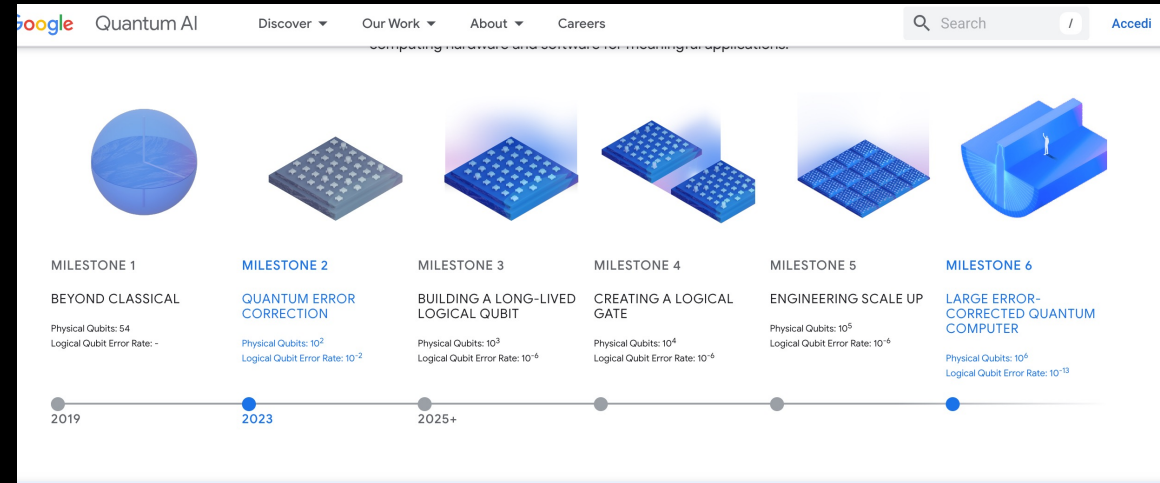
Quantum Computer Research Publications Open Source Tools



Building scalable quantum systems


Quantum AI's approach to co-developing hardware and software components is paving the way towards an end-state quantum computer.

Google Quantum AI Discover Our Work About Careers Search / Accedi



MILESTONE 1	MILESTONE 2	MILESTONE 3	MILESTONE 4	MILESTONE 5	MILESTONE 6
BEYOND CLASSICAL	QUANTUM ERROR CORRECTION	BUILDING A LONG-LIVED LOGICAL QUBIT	CREATING A LOGICAL GATE	ENGINEERING SCALE UP	LARGE ERROR-CORRECTED QUANTUM COMPUTER
Physical Qubits: 54 Logical Qubit Error Rate: -	Physical Qubits: 10^2 Logical Qubit Error Rate: 10^{-2}	Physical Qubits: 10^3 Logical Qubit Error Rate: 10^{-6}	Physical Qubits: 10^4 Logical Qubit Error Rate: 10^{-6}	Physical Qubits: 10^5 Logical Qubit Error Rate: 10^{-6}	Physical Qubits: 10^6 Logical Qubit Error Rate: 10^{-13}
2019	2023	2025+			

Google Quantum AI Discover Our Work About Careers Search / Accedi



The future of quantum hardware

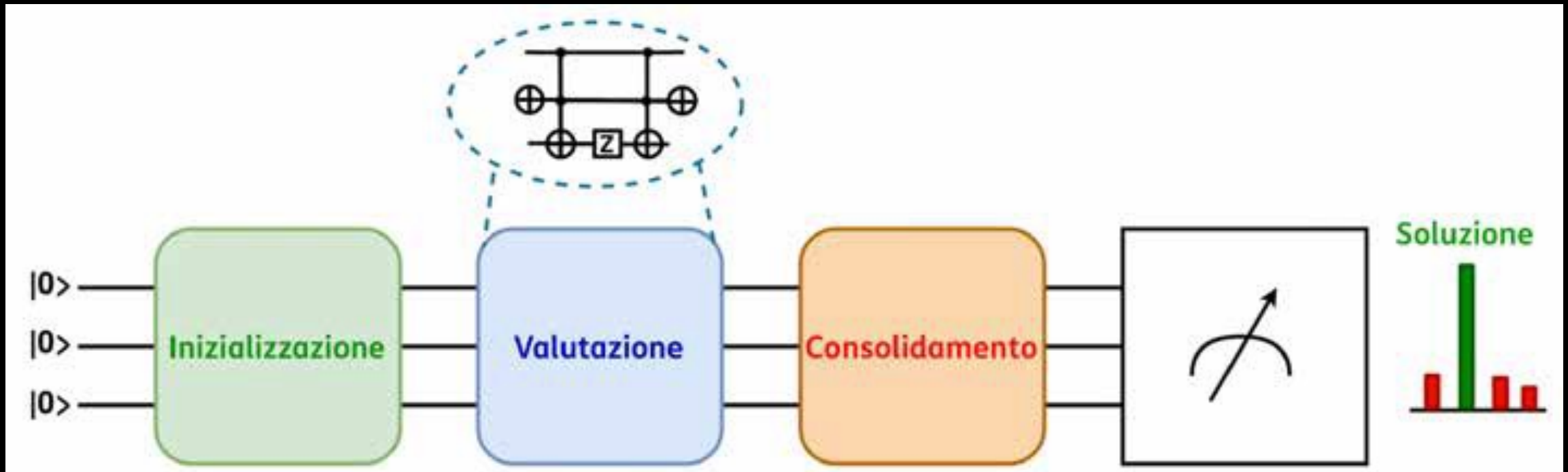
Our hardware is focused on superconducting qubits, requiring specialized cryogenic environments and custom control electronics. To achieve greater computational power, we are continuously working to scale up the number and quality of qubits while implementing error correction techniques. A key emphasis is placed on the tight integration of hardware components, all within a framework of ongoing research and development to drive advancements in the capabilities of the full quantum system.

Effective quantum volume is a key metric we use to measure the capabilities of our quantum processors. This metric considers not only the number of qubits but also their quality and error rates, ensuring we provide users with hardware optimized for meaningful research and the development of long-term applications.

[Read the blog post](#)

Quantum Gate Array

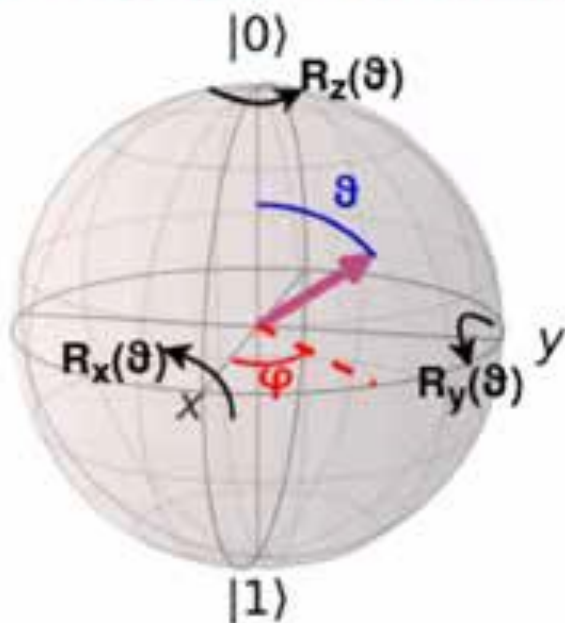
Il computer quantistico basato su modello Quantum Gate Array (QGA) è caratterizzato dall'esecuzione di operazioni sotto forma di porte quantistiche - una sorta di estensione al qubit della progettazione logica dell'elettronica digitale classica. A differenza delle porte logiche classiche, che possono essere progettate con un opportuno circuito a transistor, le porte quantistiche sono implementate da campi elettromagnetici oscillanti per esempio per i qubit superconduttivi nella banda delle microonde.



Quantum Gate Array

Il computer quantistico basato su modello Quantum Gate Array (QGA) è caratterizzato dall'esecuzione di operazioni sotto forma di porte quantistiche - una sorta di estensione al qubit della progettazione logica dell'elettronica digitale classica. A differenza delle porte logiche classiche, che possono essere progettate con un opportuno circuito a transistor, le porte quantistiche sono implementate da campi elettromagnetici oscillanti per esempio per i qubit superconduttivi nella banda delle microonde.

$$|\psi\rangle = \cos(\vartheta/2)|0\rangle + e^{i\varphi}\sin(\vartheta/2)|1\rangle$$



a) Sfera di Bloch

$$c_0|0\rangle + c_1|1\rangle \xrightarrow{\oplus} c_0|1\rangle + c_1|0\rangle = c_1|0\rangle + c_0|1\rangle$$

$$c_0|0\rangle + c_1|1\rangle \xrightarrow{\square Z} c_0|0\rangle - c_1|1\rangle$$

$$c_0|0\rangle + c_1|1\rangle \xrightarrow{\square R_z(\vartheta)} c_0|0\rangle + e^{i\vartheta}c_1|1\rangle$$

$$|x\rangle \xrightarrow{\square H} (|0\rangle + (-1)^x|1\rangle)/\sqrt{2}$$

$$\begin{array}{c} |c\rangle \\ |x\rangle \end{array} \xrightarrow{\oplus} \begin{array}{c} |c\rangle \\ |x \oplus c\rangle \end{array}$$

$$\begin{array}{c} |c_1\rangle \\ |c_2\rangle \\ |x\rangle \end{array} \xrightarrow{\oplus} \begin{array}{c} |c_1\rangle \\ |c_2\rangle \\ |x \oplus c_1c_2\rangle \end{array}$$

b) Alcune porte quantistiche

Quantum computing funding remains strong, but talent gap raises concern

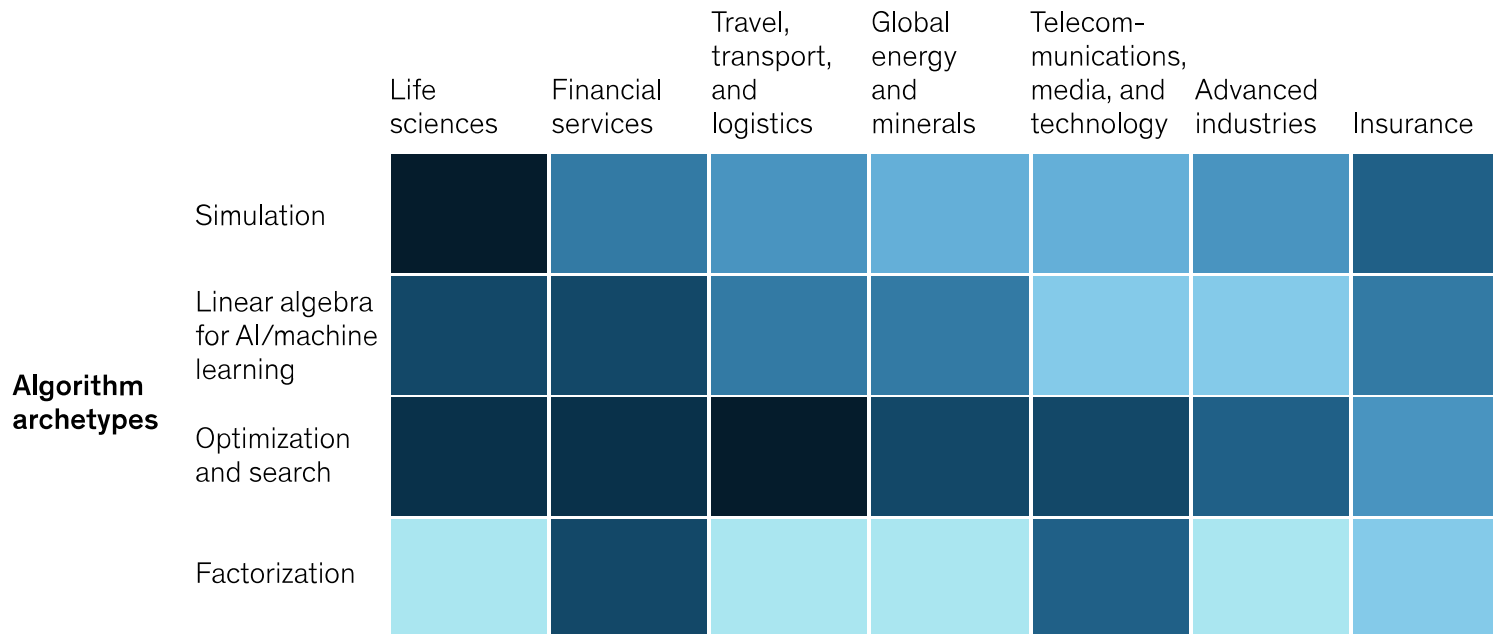
June 15, 2022 | Article

promise. Four industries—pharmaceuticals, chemicals, automotive, and finance—remain on track to become the first beneficiaries of quantum advantages, with the potential to capture nearly \$700 billion in value as early as 2035. Our analysis points to financial services and life sciences grounds for the highest-value quantum computing use cases over the longer term (Exhibit 1).

Qualitative estimate of expected value unlocked by the application of quantum computing by 2030

Low-value applications¹  High-value applications¹

Industries

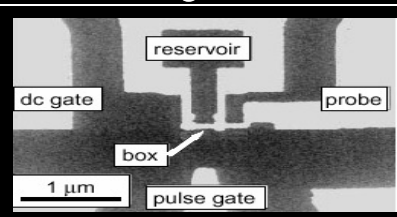


McKinsey
& Company

Grandi players industriali mondiali
IBM, Google,
Rigetti, Quantware, SeeQc, ...

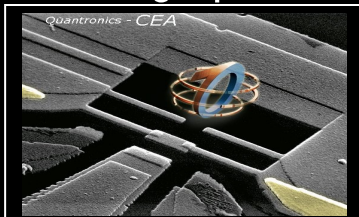
La ricerca di base e il
ruolo dell'Accademia:
Innovazione e alta
formazione

Charge



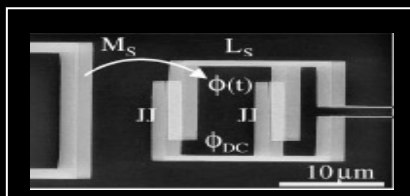
$E_J < E_C$
Quantum box

Charge/phase



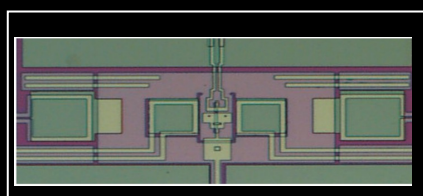
$E_J \sim E_C$
Quantronium

Phase



$E_J > E_C$
Junctions, dc and rf SQUID

Flux



$E_J > E_C$
rf SQUID, double SQUID

La ricerca di base e il ruolo dell'Accademia: Innovazione e alta formazione

	Circuit	Properties	Dominant noise
Charge qubit		$E_J/E_C < 1$ Controlled by V_g .	Charge fluctuations; mainly 1/f noise.
		$E_J/E_C < 1$ Controlled by both V_g and Φ_e .	

A quantum engineer's guide to superconducting qubits

Cite as: Appl. Phys. Rev. 6, 021318 (2019); <https://doi.org/10.1063/1.5089550>
 Submitted: 20 January 2019 . Accepted: 03 May 2019 . Published Online: 17 June 2019

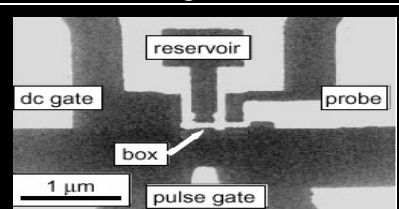
P. Krantz , M. Kjaergaard , F. Yan, T. P. Orlando, S. Gustavsson, and W. D. Oliver

Phase qubit		$E_J/E_C \gg 1$ Controlled by I_e .	Flux fluctuations; mainly 1/f noise.
Low-decoherence qubit		Shunt capacitance C_s . $E_J/E_C > 1$ Controlled by Φ_e flux qubit: $0.5 < \alpha < 1$ phase qubit: $\alpha < 0.5$	Both charge noise and flux noise can be suppressed.

Transmon		Shunt capacitance C_s . $E_J/E_C > 1$ Behaves like a phase qubit	Charge noise can be suppressed.
Fluxonium		Needs an array of larger-area tunnel junctions. $E_J/E_C > 1$ Behaves like a phase qubit	Charge noise can be suppressed with appropriate parameters.

Flux qubit		$E_J/E_C > 1$ Controlled by Φ_e .	Flux fluctuations; mainly 1/f noise.
		$E_J/E_C > 1$ $0.5 < \alpha < 1$ Controlled by Φ_e .	

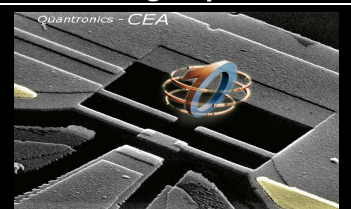
Charge



$$E_J < E_C$$

Quantum box

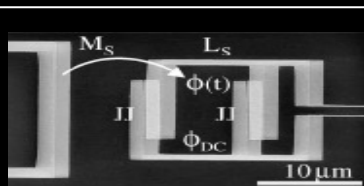
Charge/phase



$$E_J \sim E_C$$

Quantronium

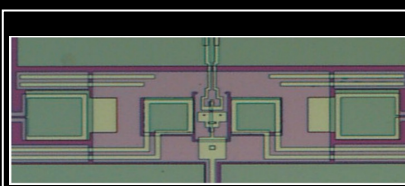
Phase



$$E_J > E_C$$

Junctions, dc and rf SQUID

Flux



$$E_J > E_C$$

rf SQUID, double SQUID

La ricerca di base e il ruolo dell'Accademia: Innovazione e alta formazione

	Circuit	Properties	Dominant noise
Charge qubit		$E_J/E_C < 1$ Controlled by V_g .	Charge fluctuations; mainly 1/f noise.
		$E_J/E_C < 1$ Controlled by both V_g and Φ_e .	

Transmon		Shunt capacitance C_s . $E_J/E_C > 1$ Behaves like a phase qubit	Charge noise can be suppressed.
Fluxonium		Needs an array of larger-area tunnel junctions. $E_J/E_C > 1$ Behaves like a phase qubit	Charge noise can be suppressed with appropriate parameters.

PHYSICAL REVIEW A 76, 042319 (2007)

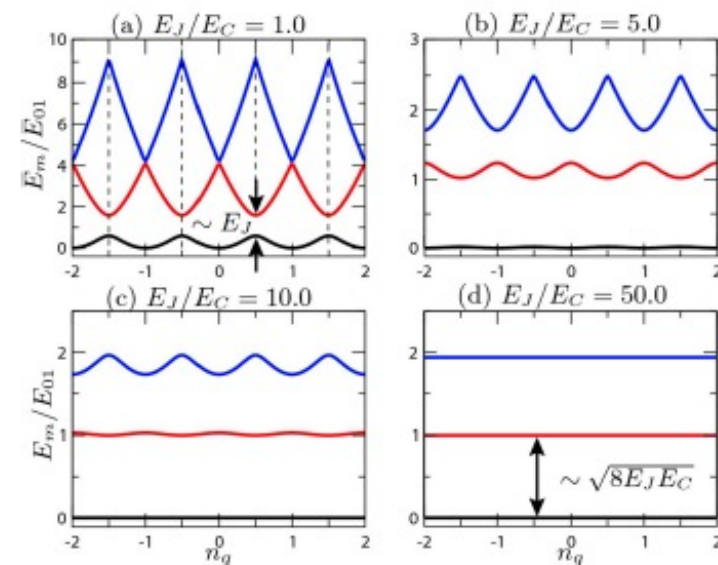
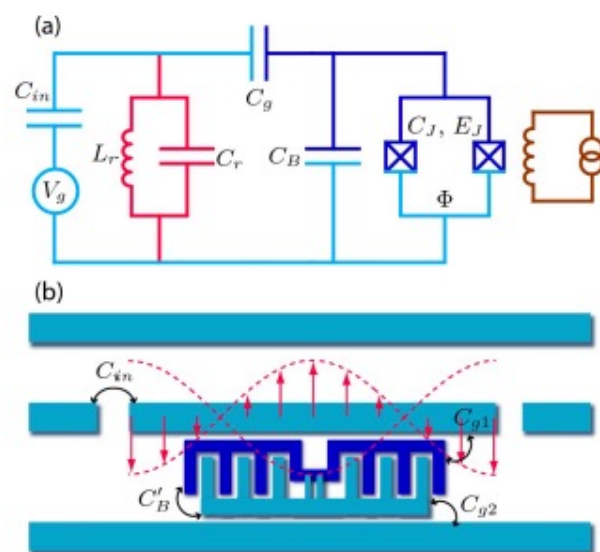
Charge-insensitive qubit design derived from the Cooper pair box

Jens Koch,¹ Terri M. Yu,¹ Jay Gambetta,¹ A. A. Houck,¹ D. I. Schuster,¹ J. Majer,¹ Alexandre Blais,² M. H. Devoret,¹ S. M. Girvin,¹ and R. J. Schoelkopf¹

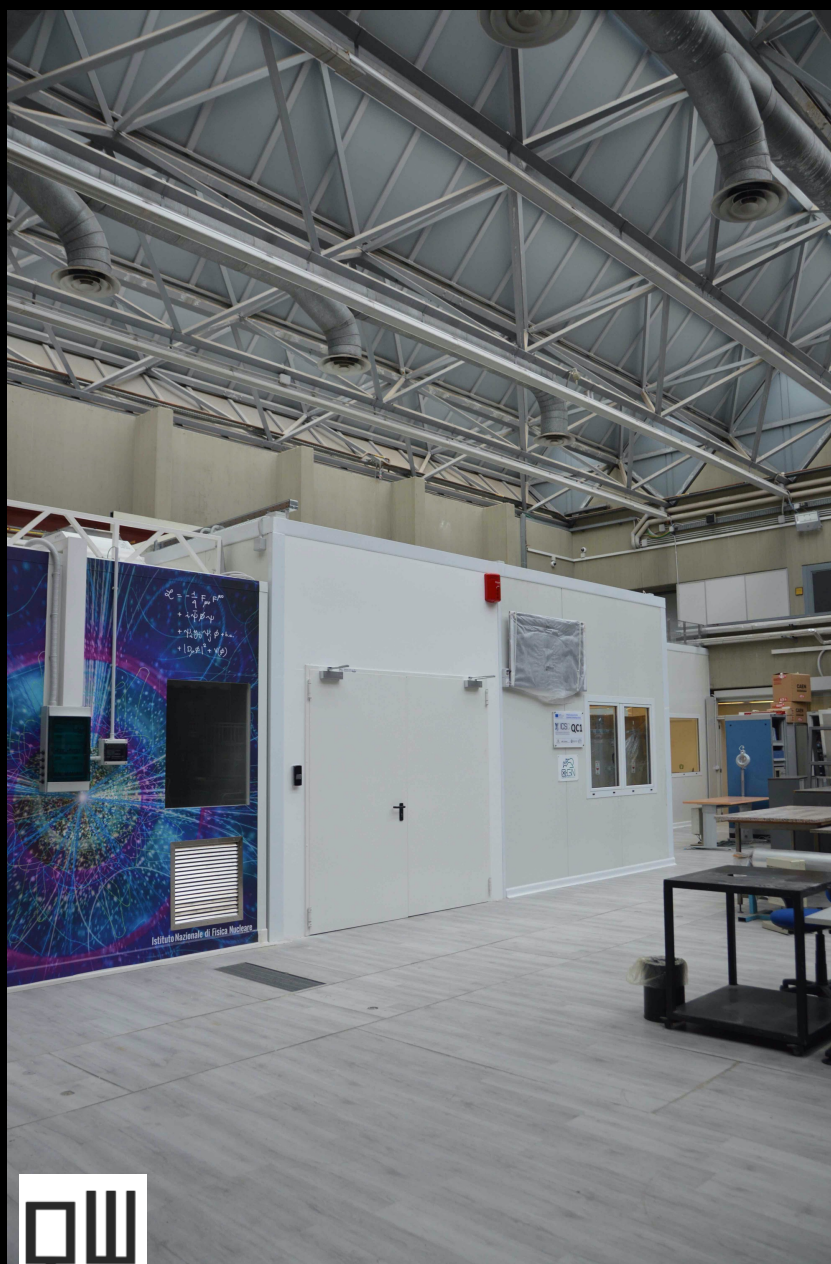
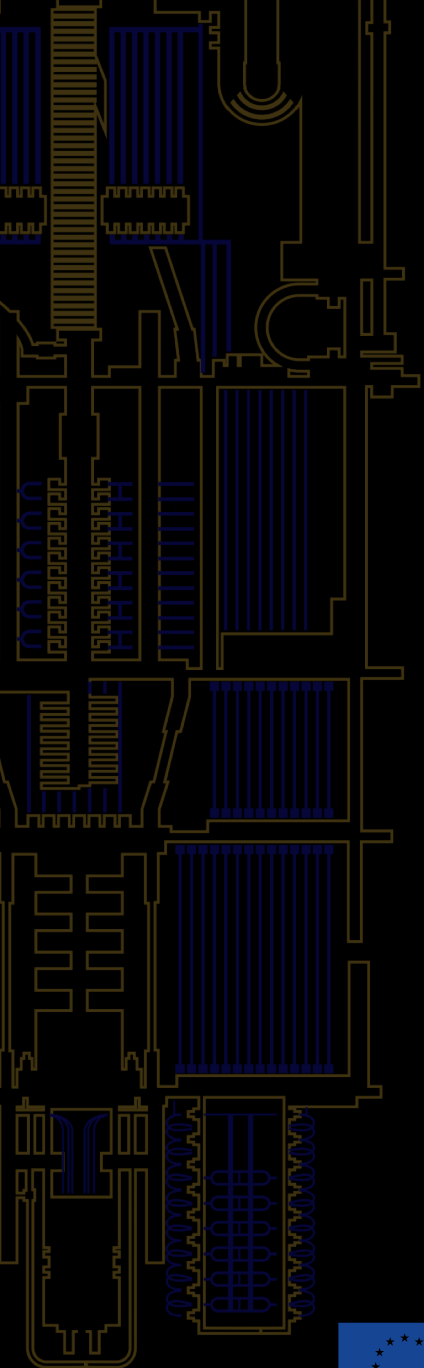
¹Departments of Physics and Applied Physics, Yale University, New Haven, Connecticut 06520, USA

²Département de Physique et Regroupement Québécois sur les Matériaux de Pointe, Université de Sherbrooke, Sherbrooke, Québec, Canada J1K 2R1

(Received 22 May 2007; published 12 October 2007)



Il computer quantistico a 25-40 qubit a
piattaforma superconduttiva @Napoli- Federico II



Finanziato
dall'Unione europea
NextGenerationEU



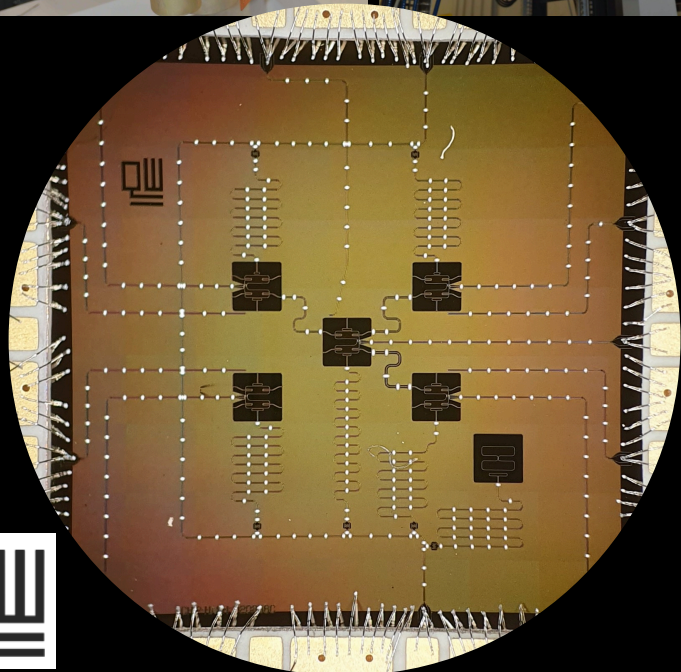
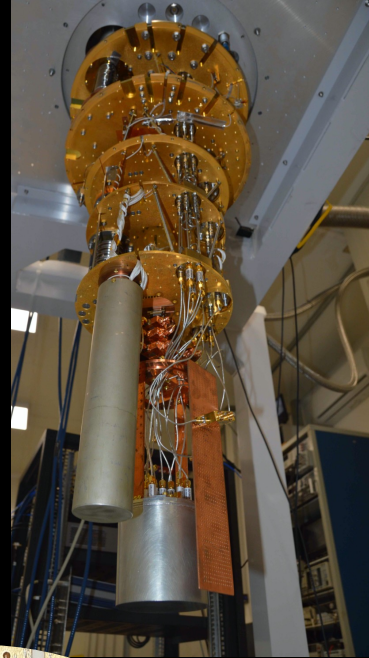
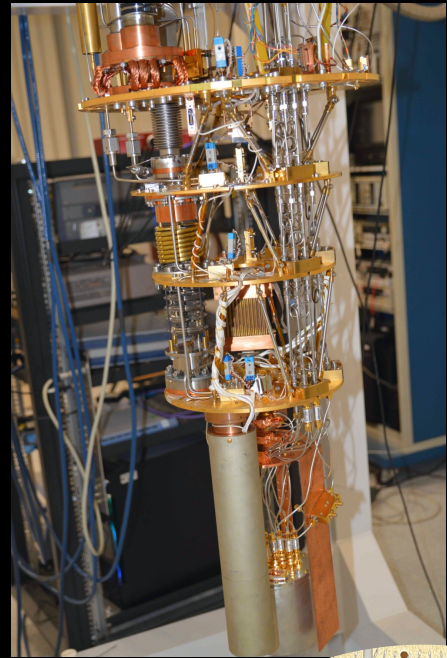
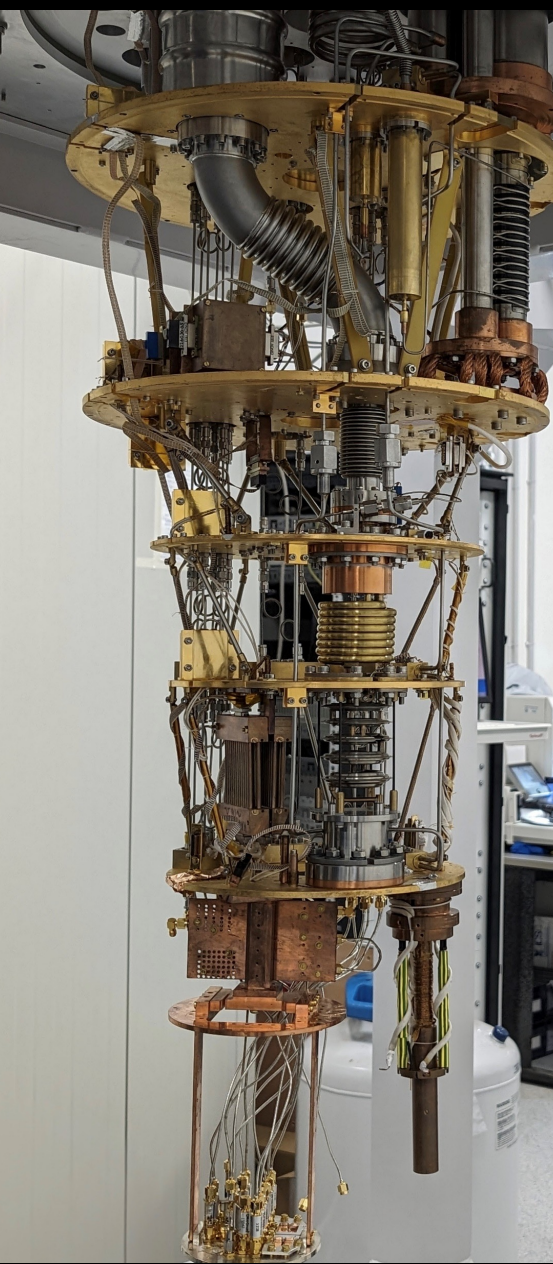
Ministero
dell'Università
e della Ricerca



Italiadomani
PIANO NAZIONALE
DI RIPRESA E RESILIENZA



UNIVERSITÀ DEGLI STUDI DI NAPOLI FEDERICO II



Finanziato dall'Unione europea
NextGenerationEU



Ministero dell'Università e della Ricerca



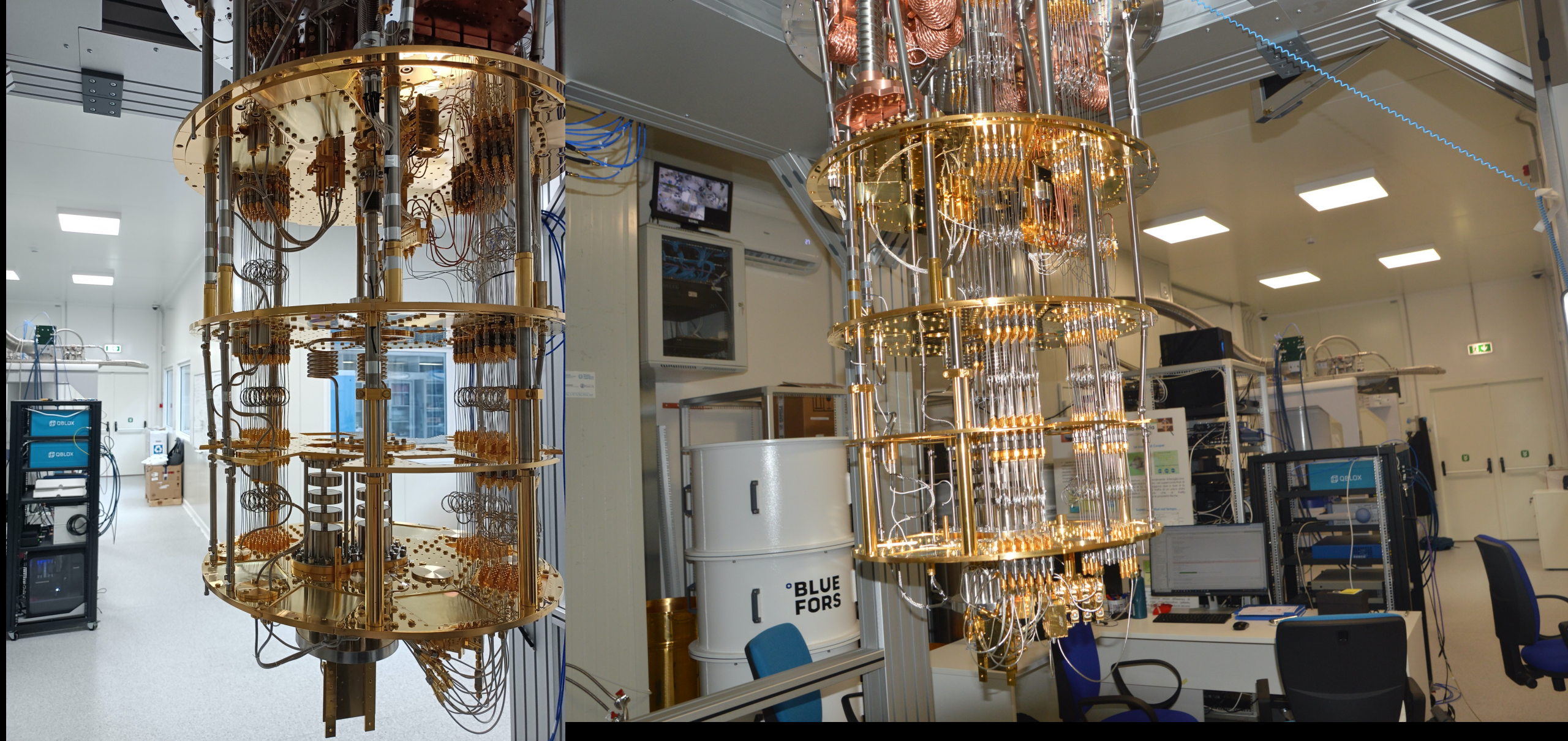
Italiadomani
PIANO NAZIONALE DI RIPRESA E RESILIENZA



Centro Nazionale di Ricerca in HPC, Big Data and Quantum Computing



UNIVERSITÀ DEGLI STUDI DI NAPOLI FEDERICO II



Finanziato
dall'Unione europea
NextGenerationEU



Ministero
dell'Università
e della Ricerca



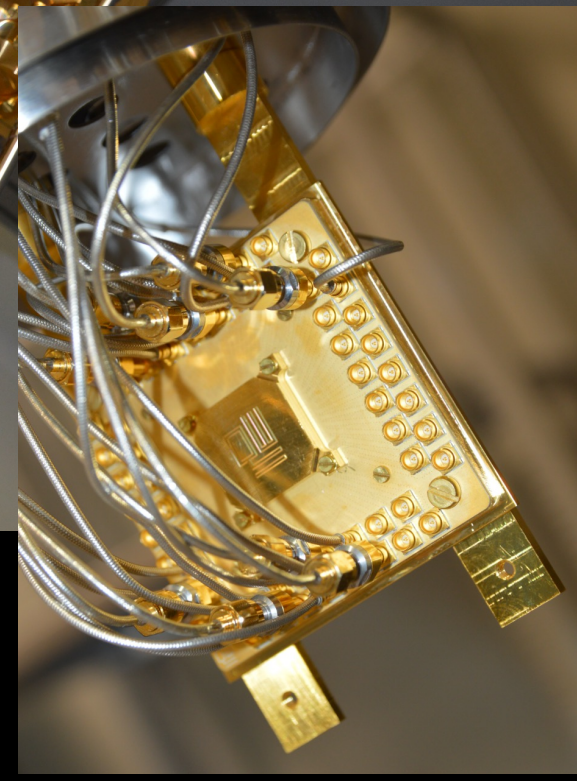
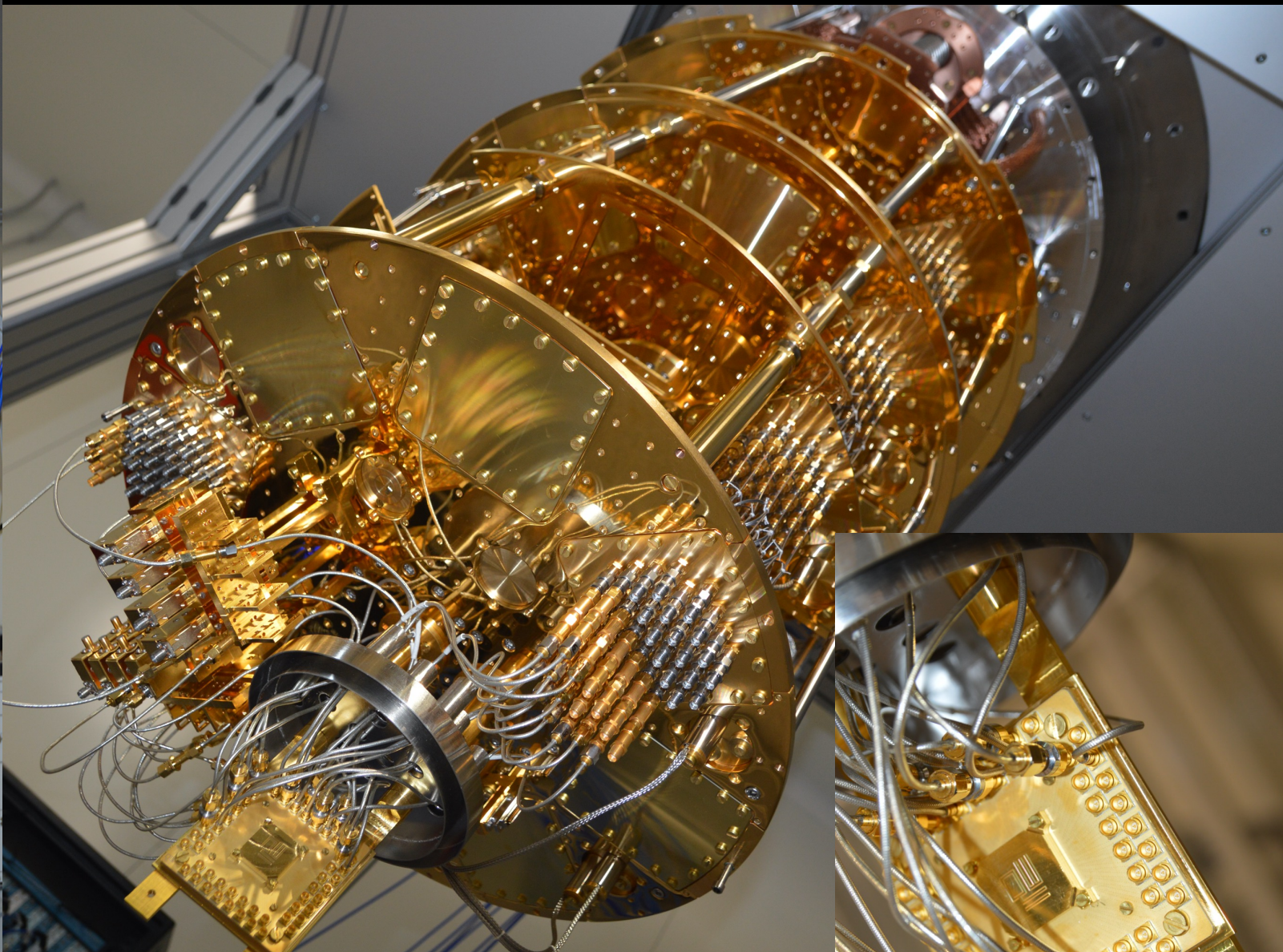
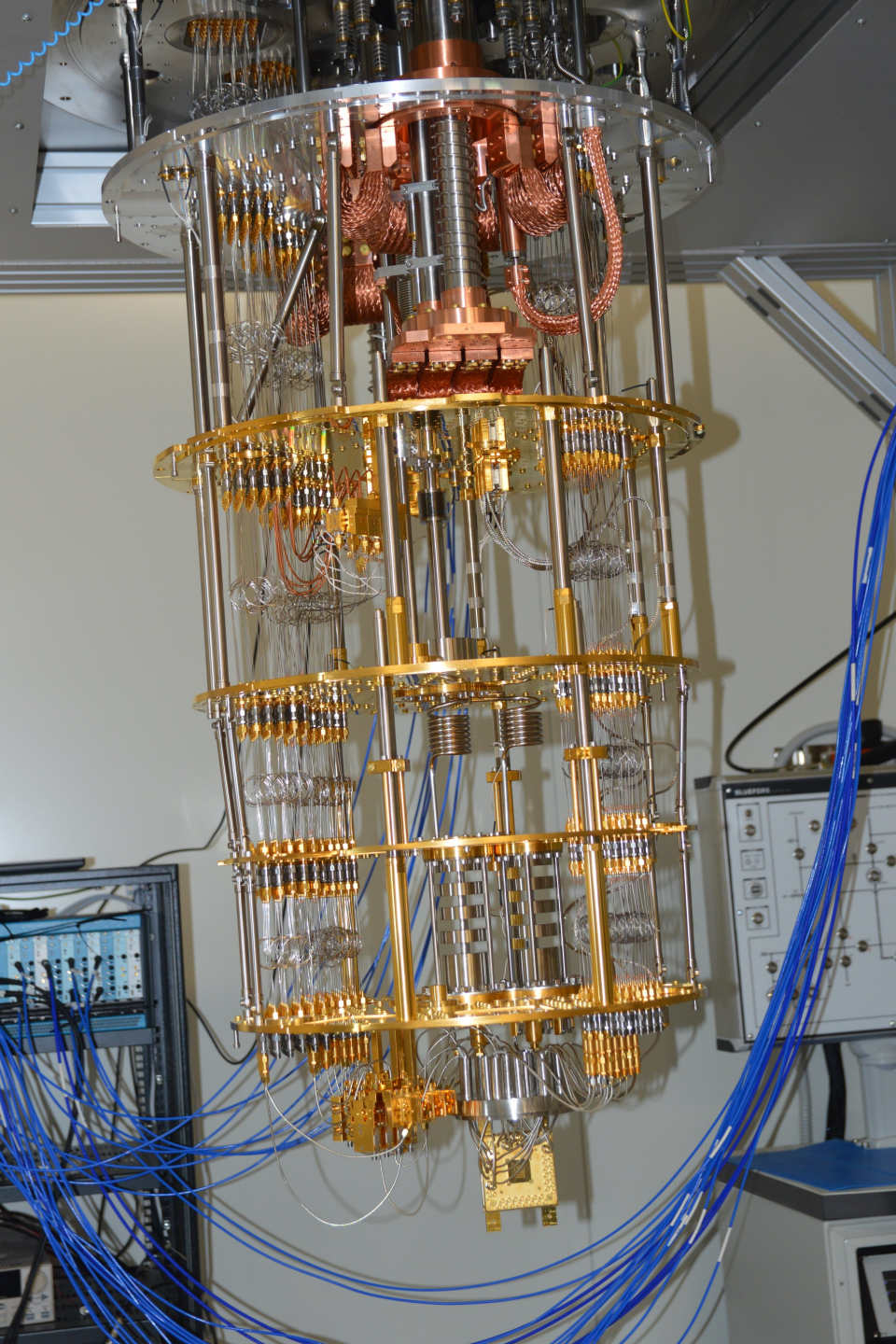
Italiadomani
PIANO NAZIONALE
DI RIPRESA E RESILIENZA

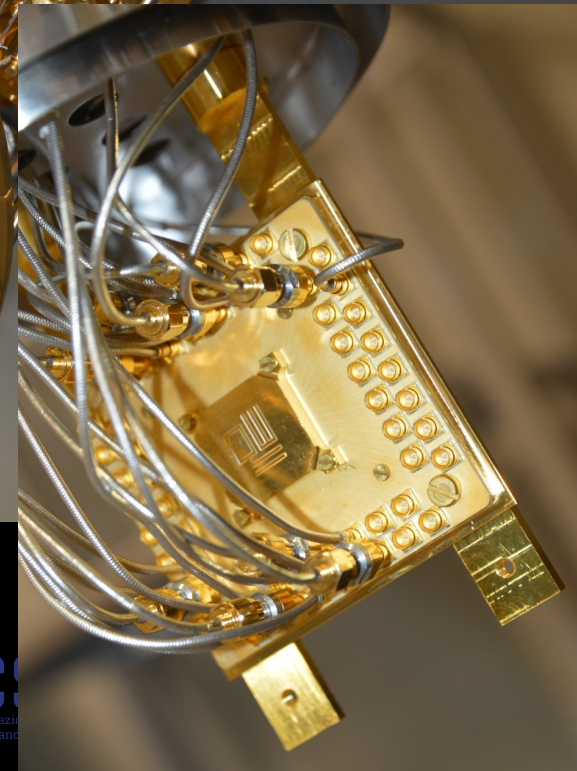
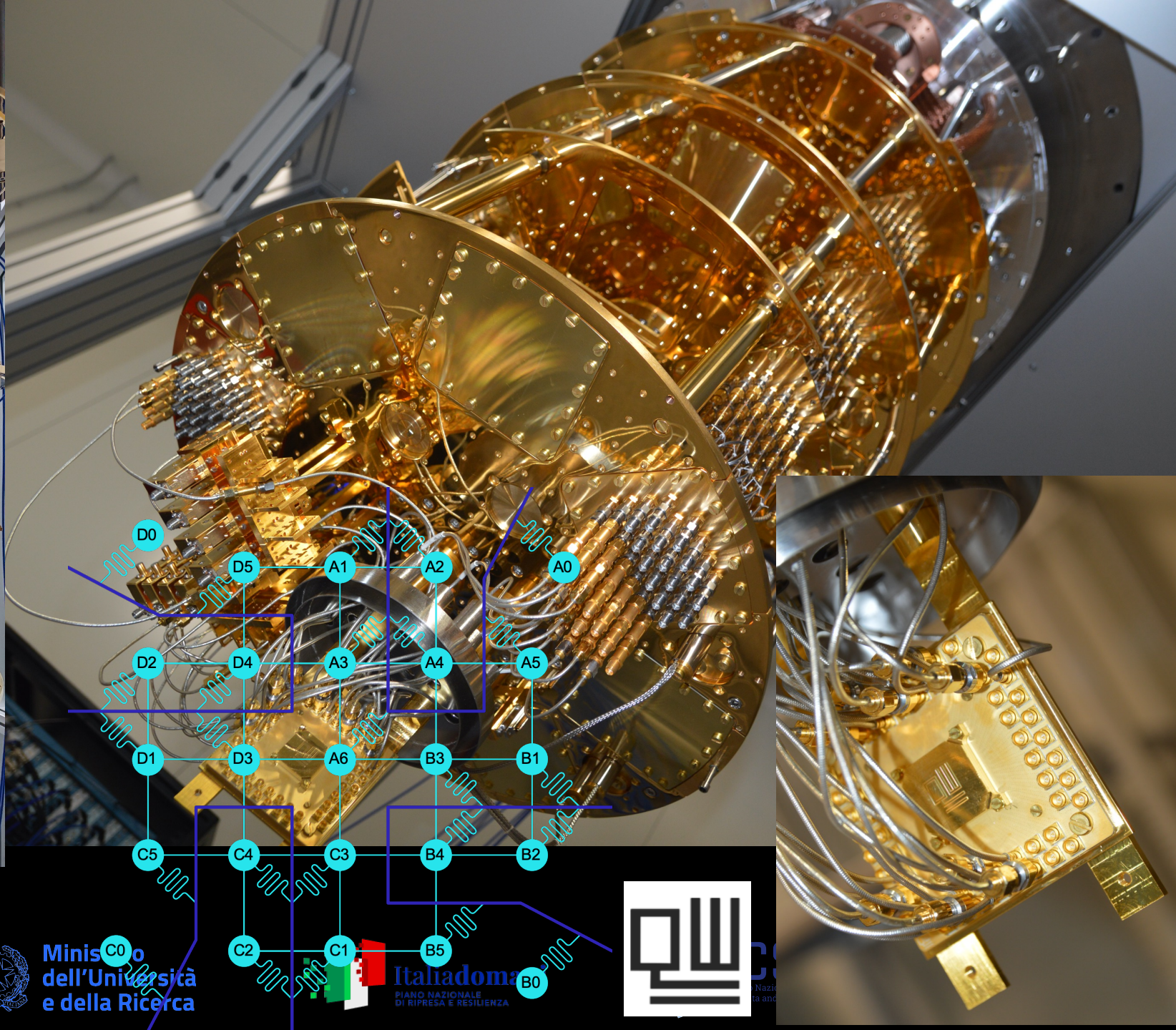
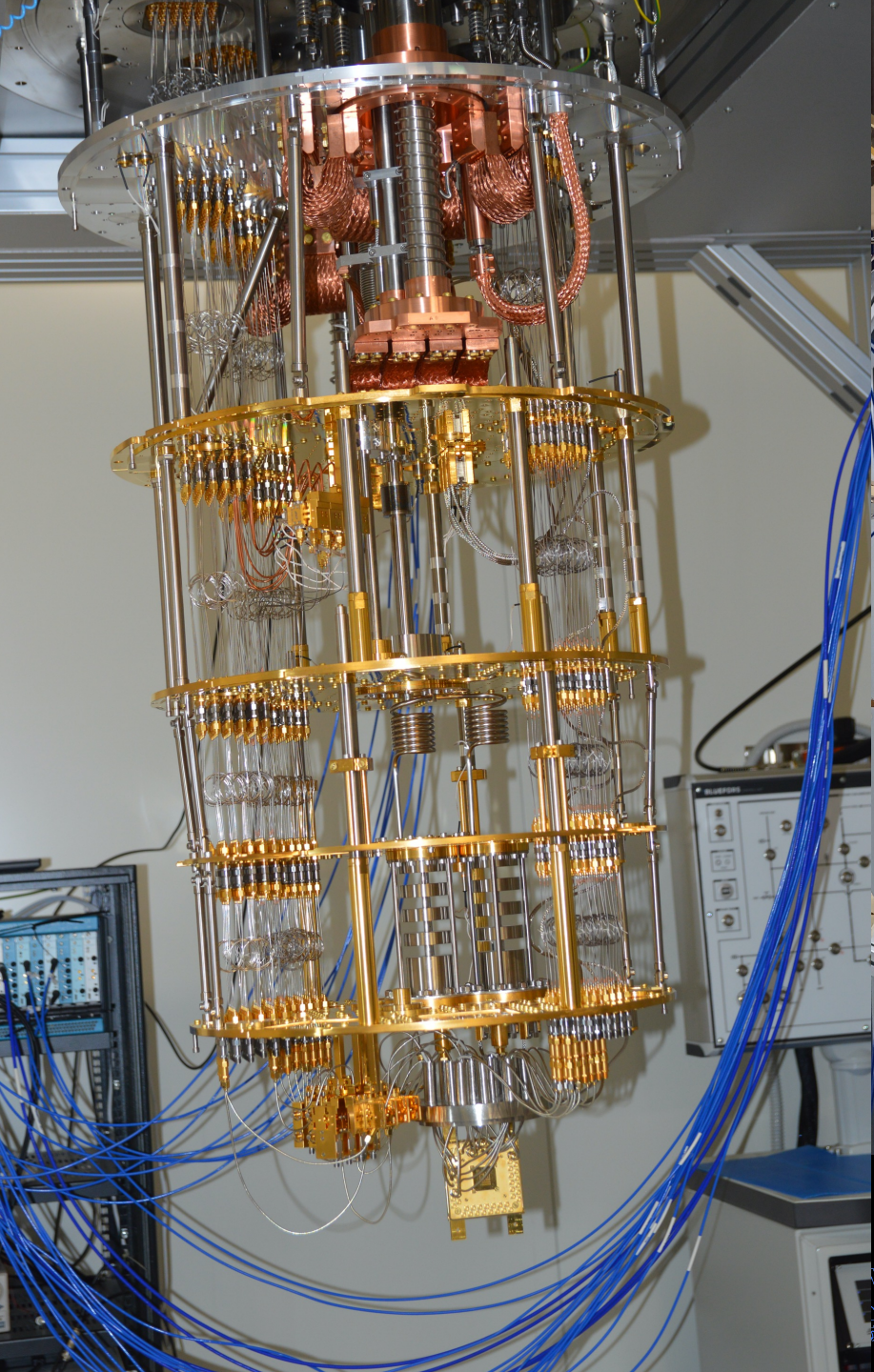


Centro Nazionale di Ricerca in HPC,
Big Data and Quantum Computing



UNIVERSITÀ DEGLI STUDI DI NAPOLI FEDERICO II





Ministero
dell'Università
e della Ricerca

C0

C4

C3

B4

B2

C2

C1

B5

B0

D2

D5

A1

A2

A0

D1

D3

A6

B3

B1

C5

C4

C3

B4

B2

D2

D4

A3

A4

A5

D0

D5

A1

A2

A0

D1

D3

A6

B3

B1

C5

C4

C3

B4

B2

C0

C4

C3

B4

B2

C2

C1

B5

B0

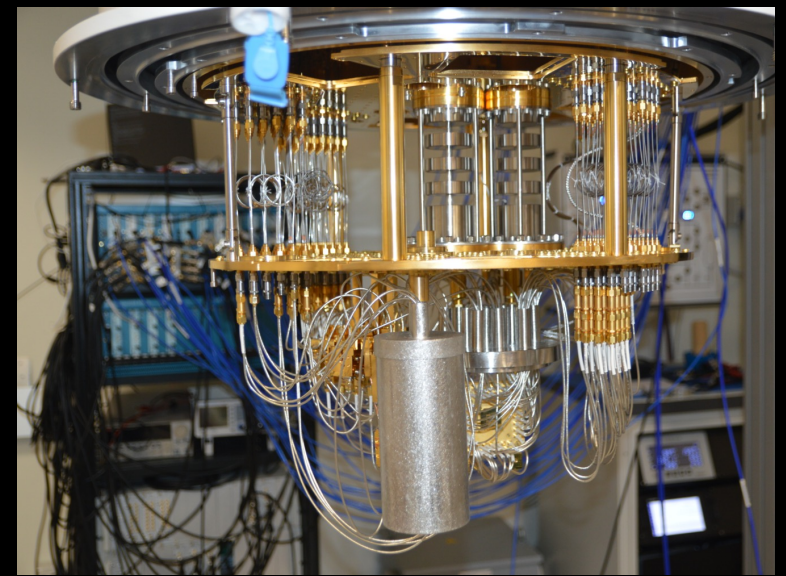
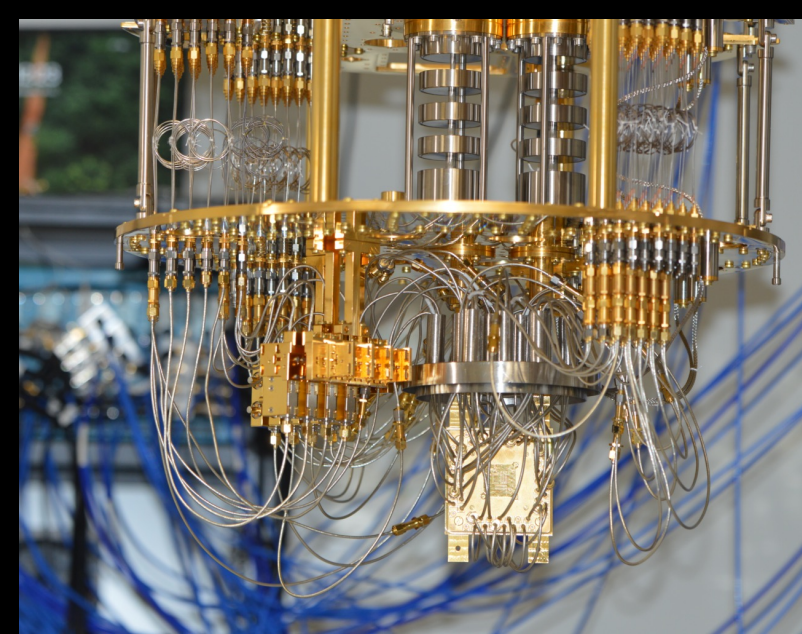
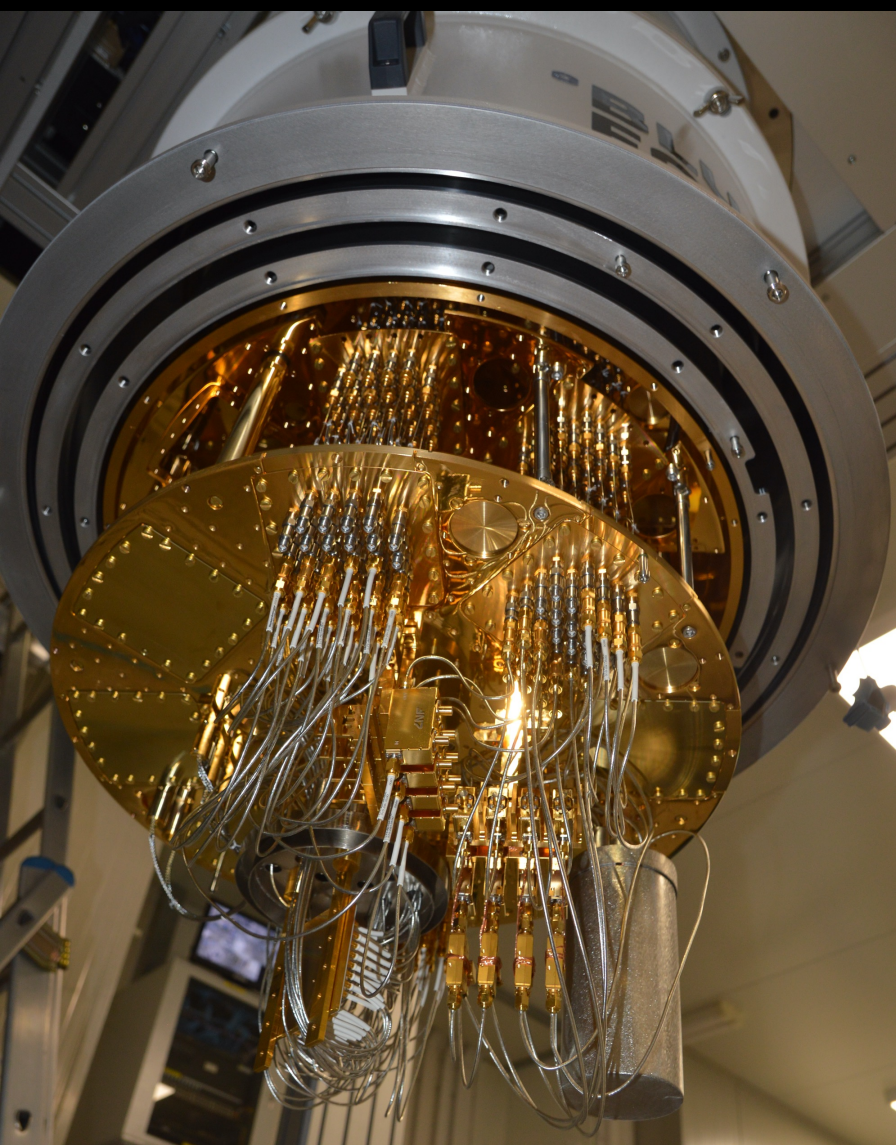


Ministero
dell'Università
e della Ricerca

Itihadoma
PIANO NAZIONALE
DI RIPRESA E RESILIENZA



Università
di Padova

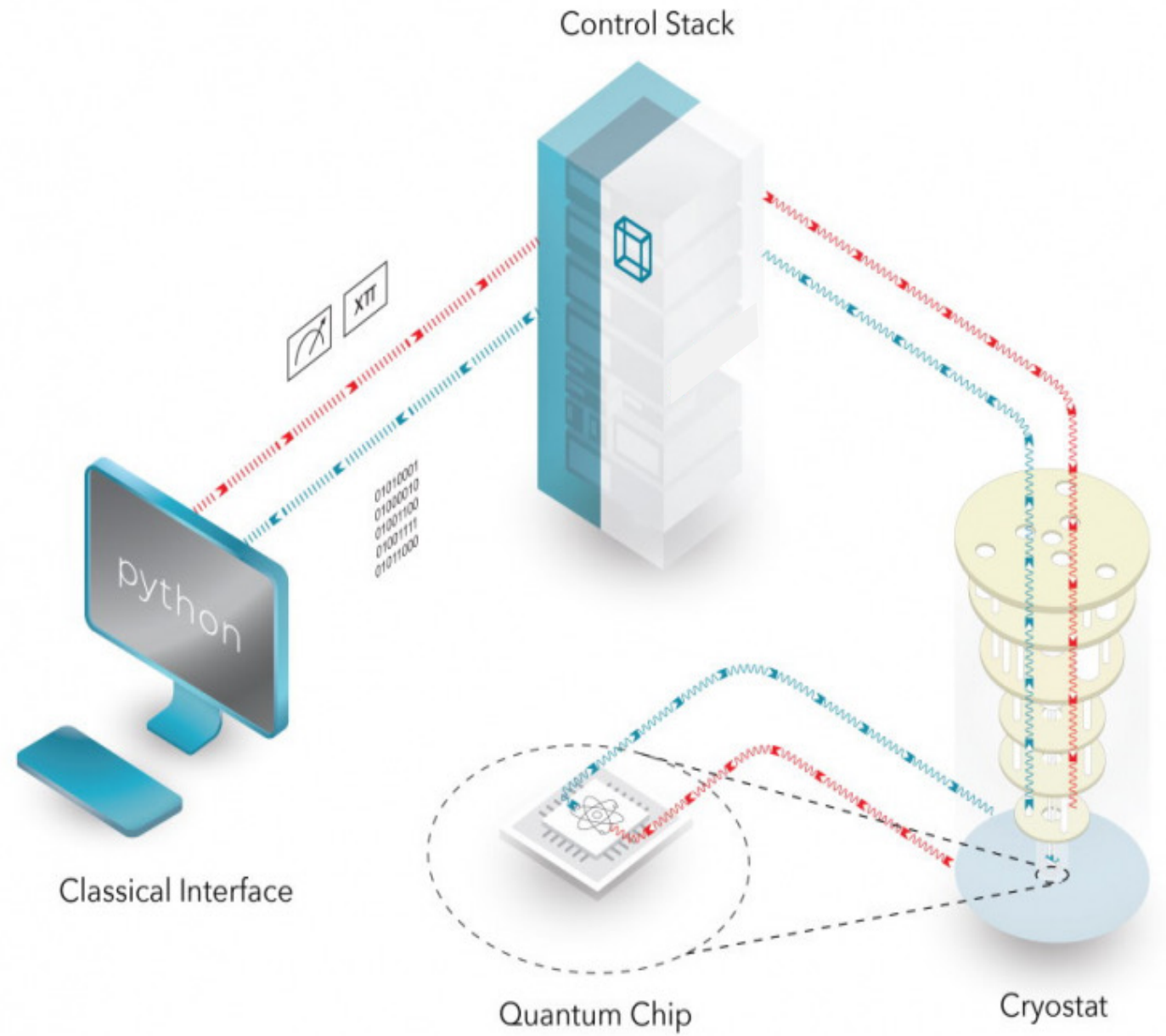


Crescendo



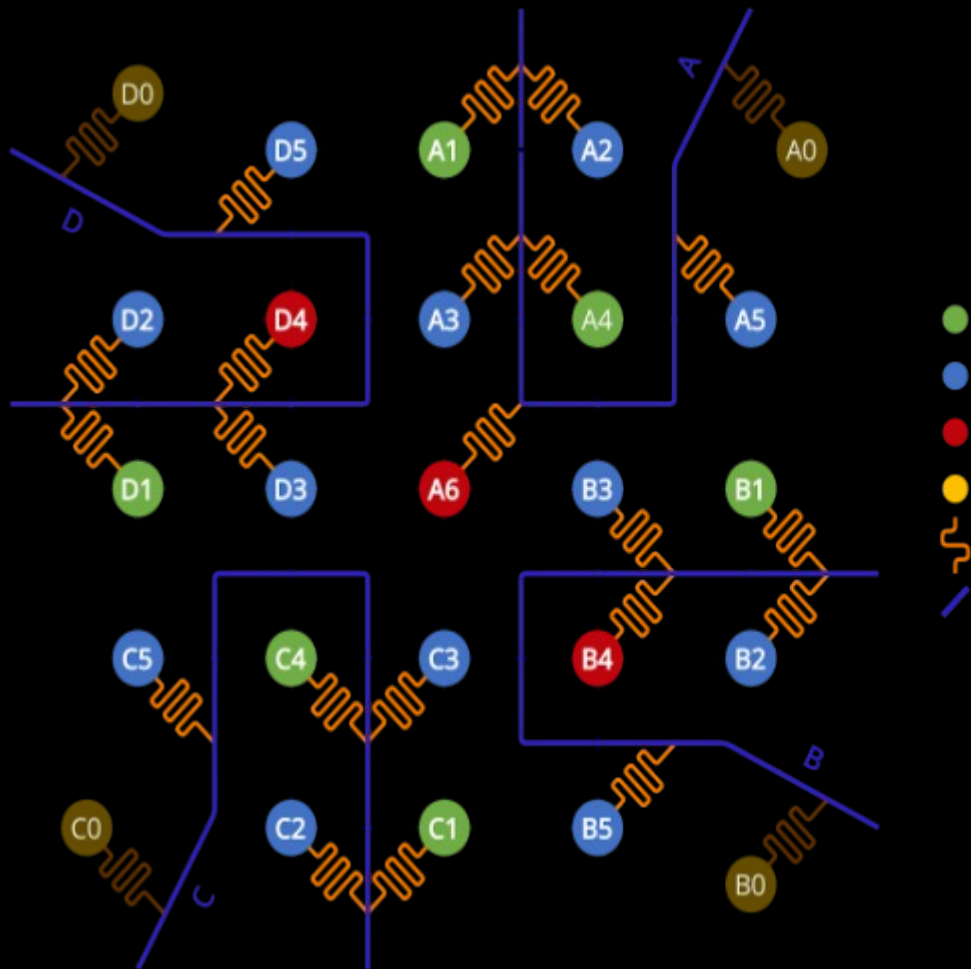
Componenti Computer Quantistico

Approccio
modulare





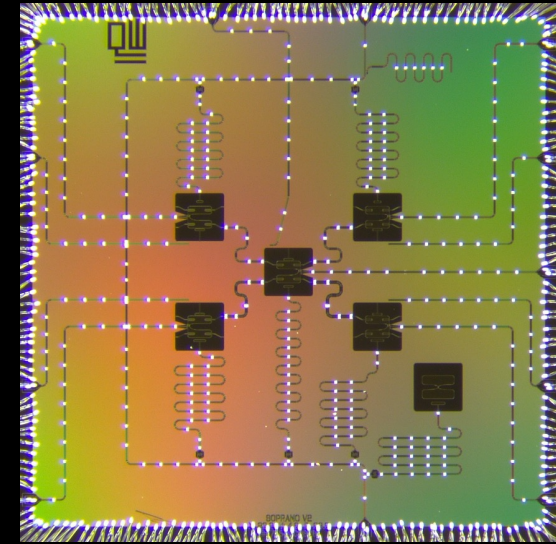
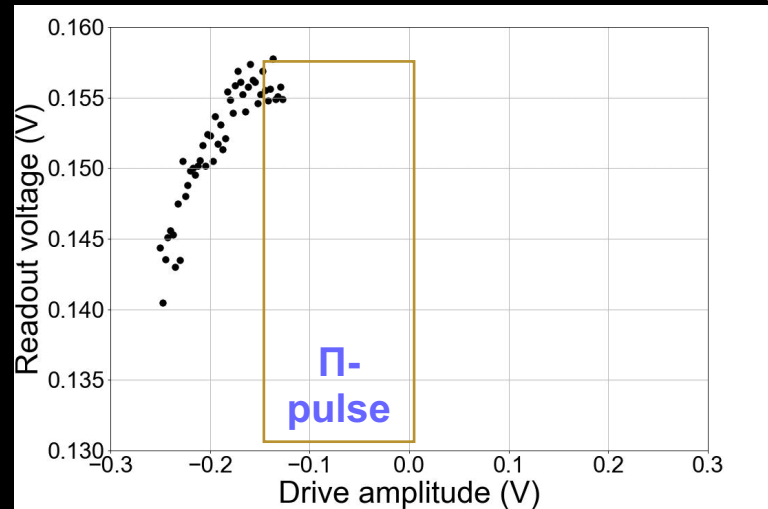
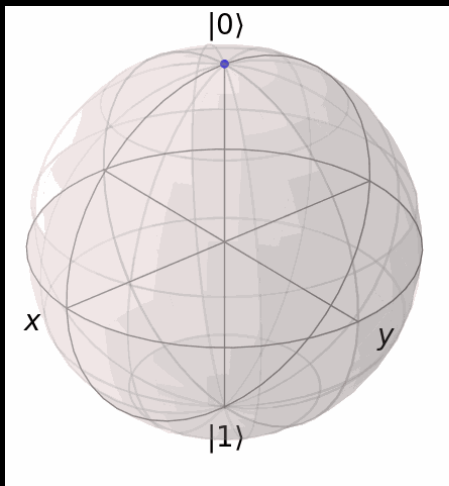
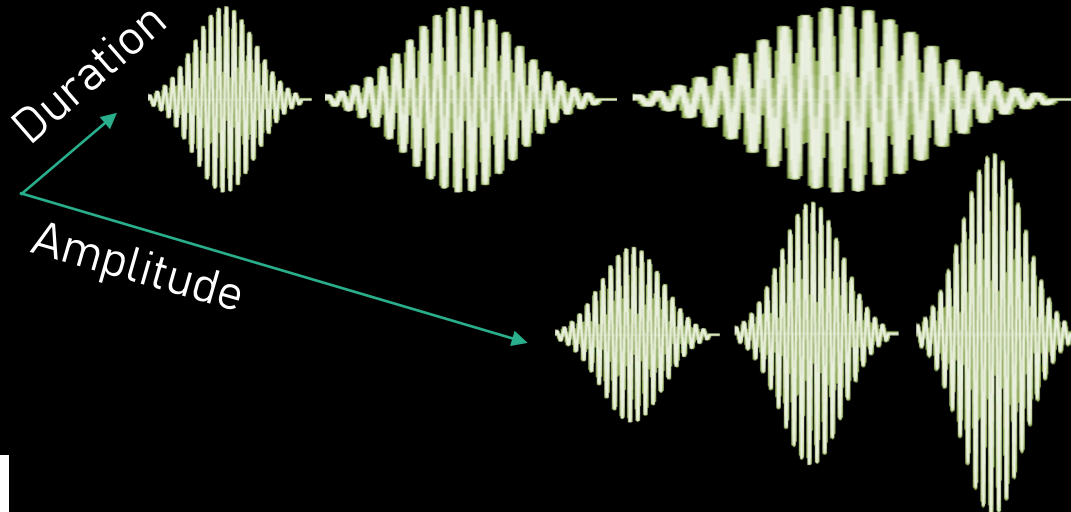
Sample and measurements



- Resonator power sweeps
- Resonator flux sweeps
- Qubit spectroscopies vs. power
- Qubit spectroscopy vs. flux
- Few one-shot coherence time experiments on subset D1-D5

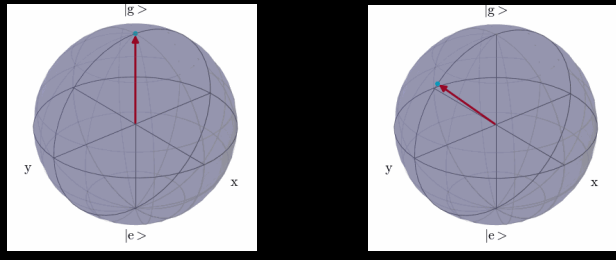
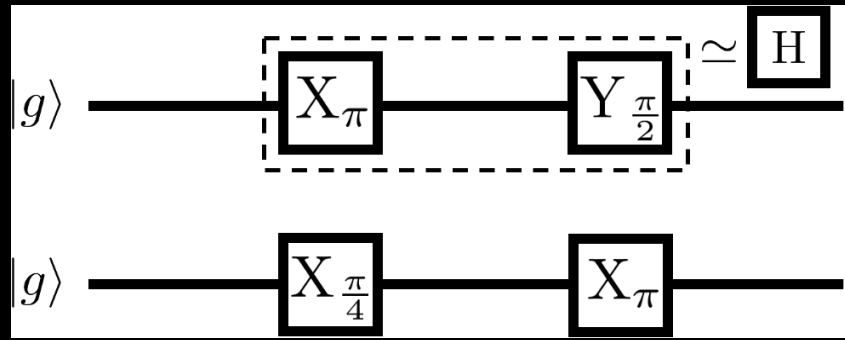
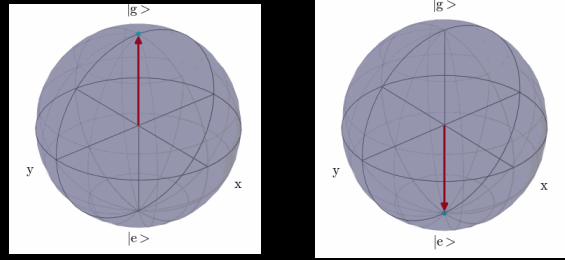
Oscillazioni Rabi: esempio di coerenza quantistica

By continuously changing the duration or amplitude of the control pulses, **coherent oscillations** between the $|0\rangle$ and $|1\rangle$ states of the qubit

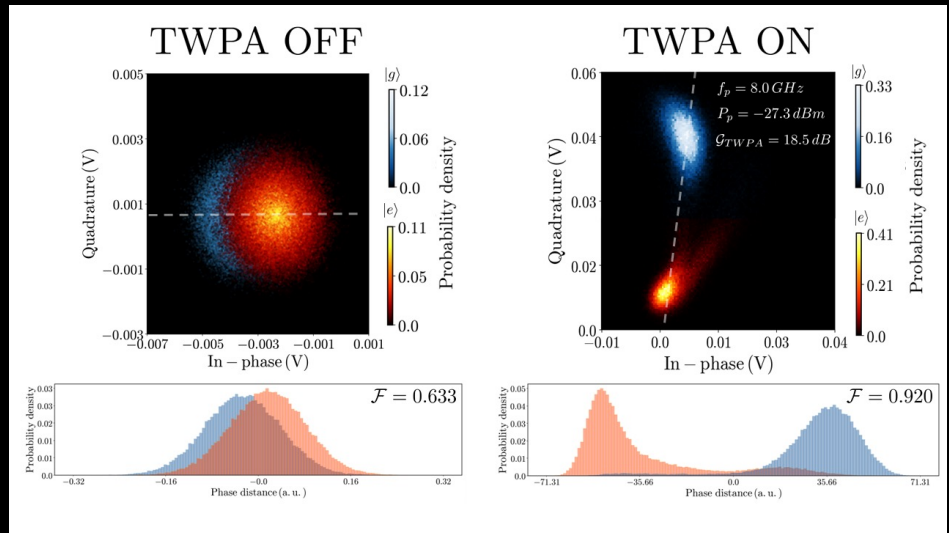
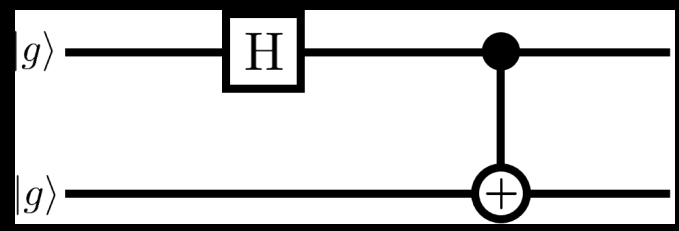


We are moving coherently between the two states of the computational basis!

Single Qubit Gates

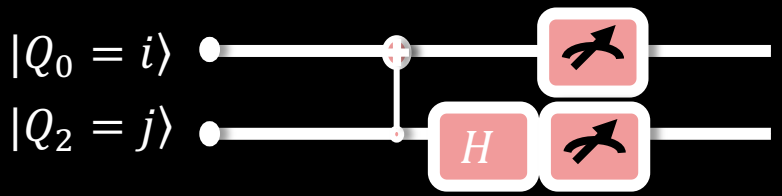
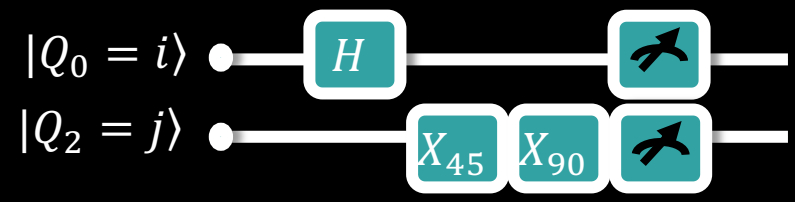


Two Qubit Gates

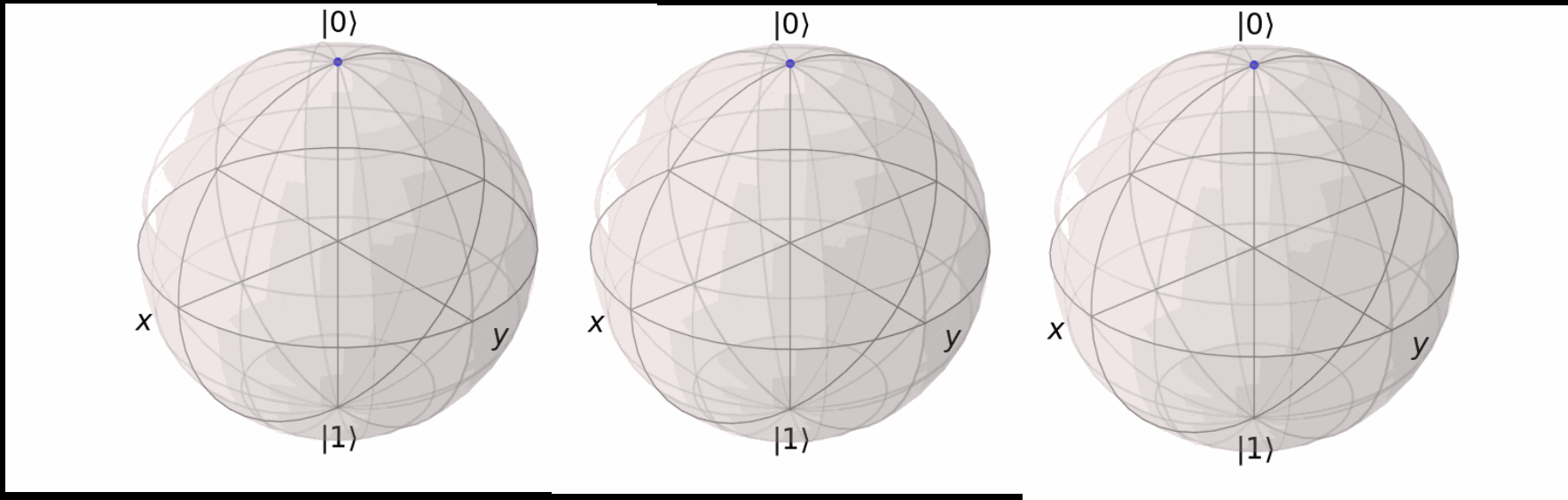
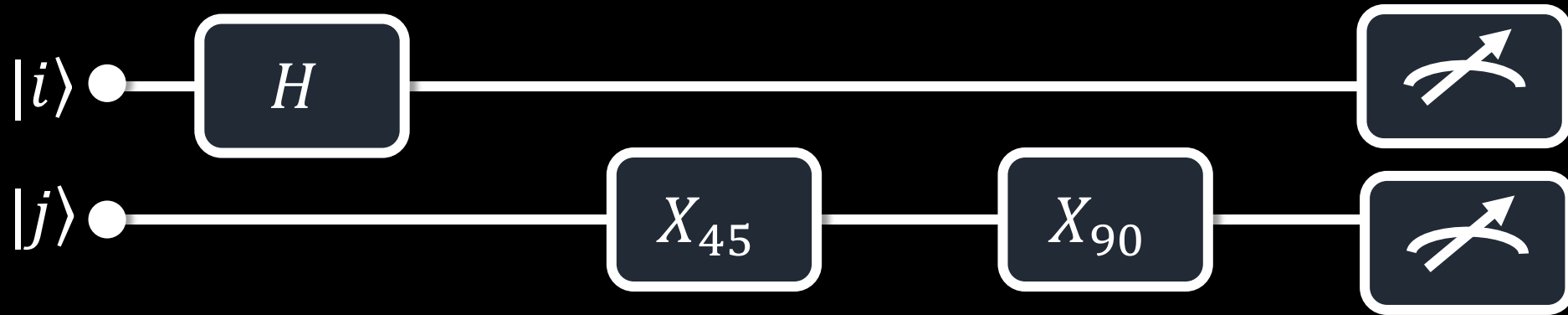


Quantum Algorithms

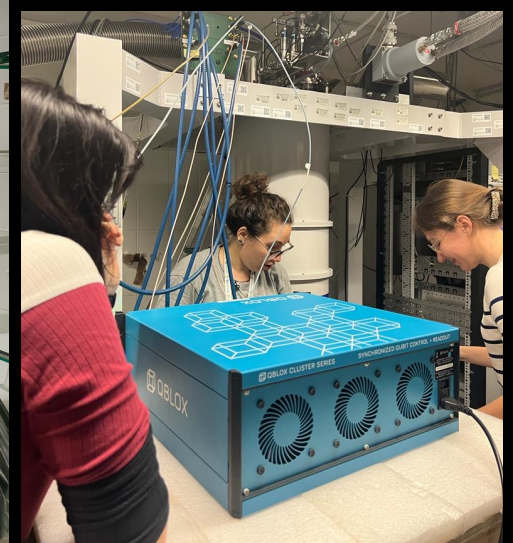
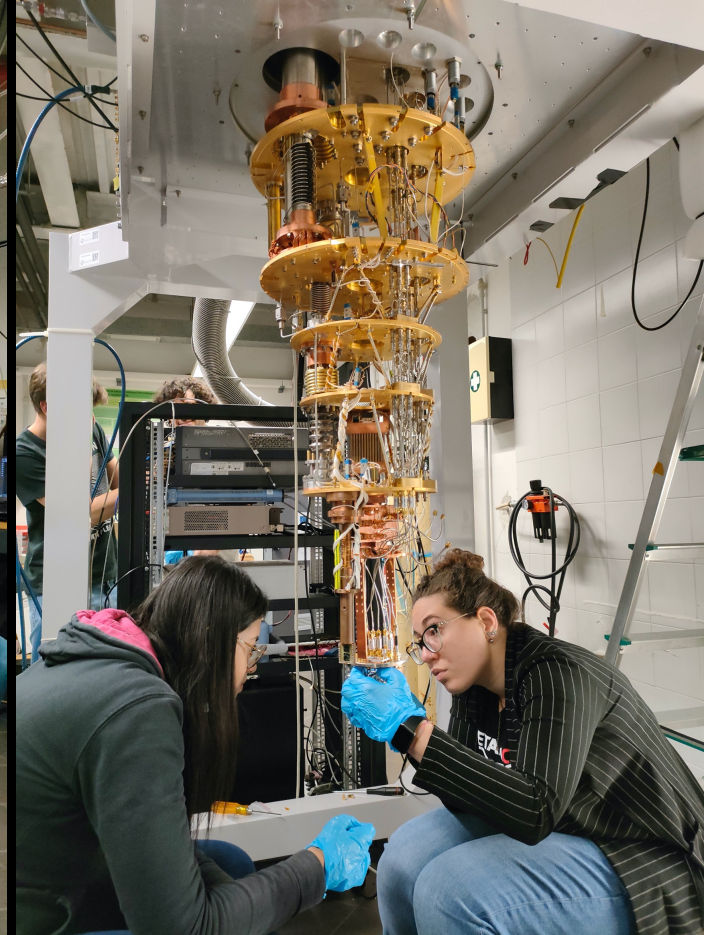
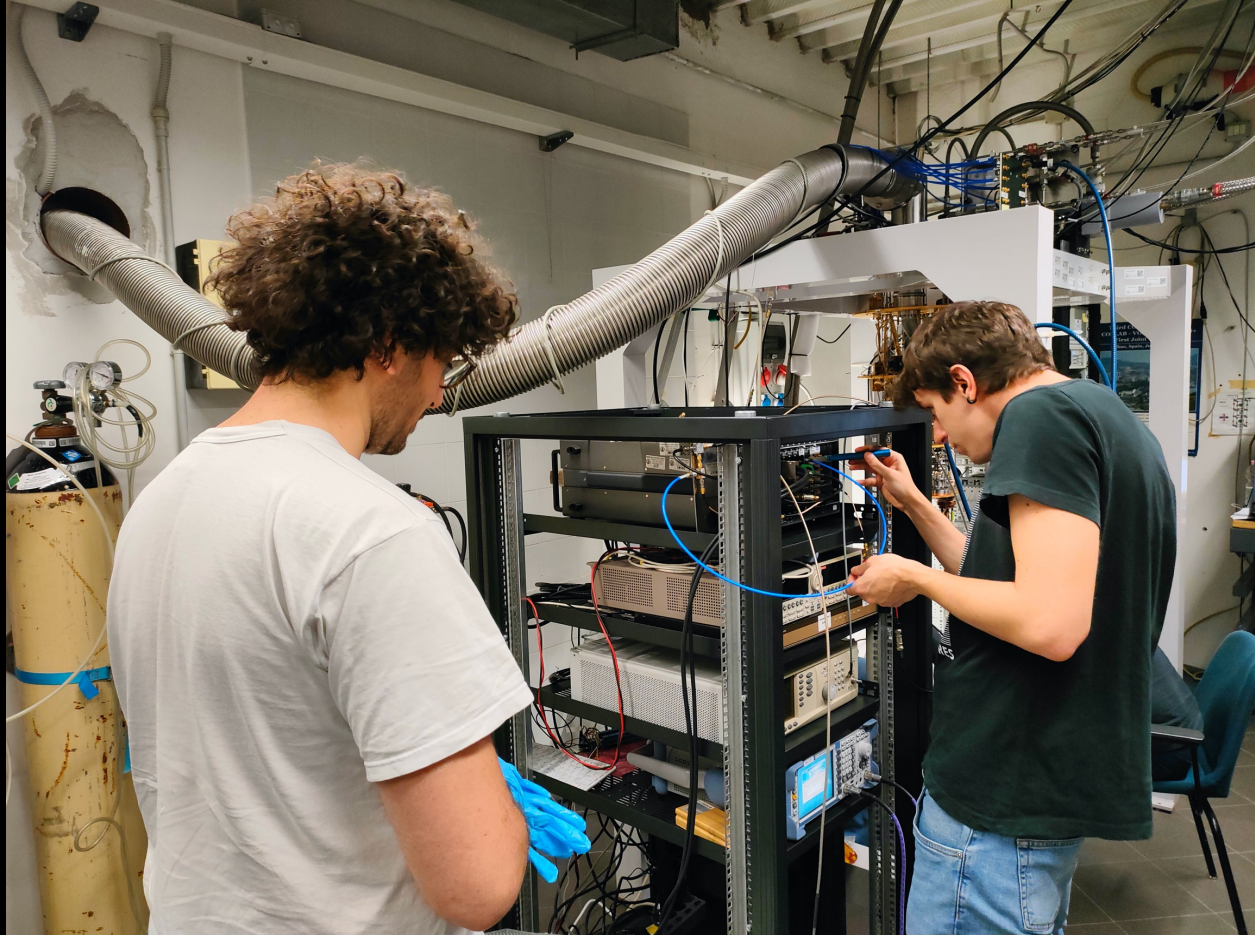
Mitigating Errors on Superconducting Quantum Processors through Fuzzy Clustering



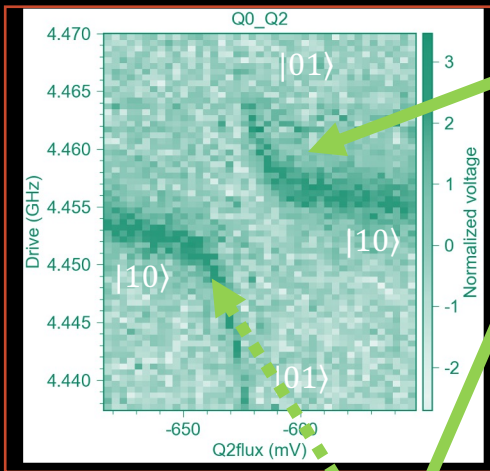
Running random single- and two-qubit quantum circuits & algorithms



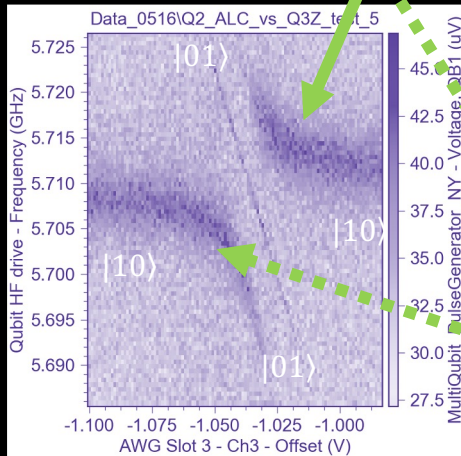
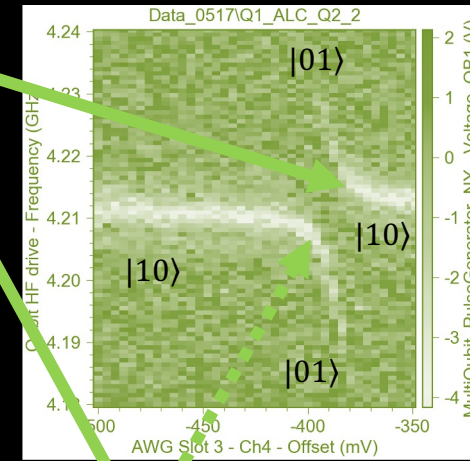
First implementation of a hybrid classical/quantum algorithm for Quantum Error Mitigation on a 5-qubit superconducting device in Italy



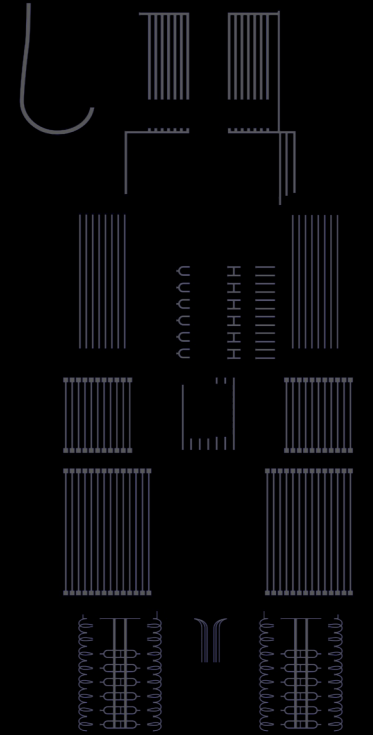
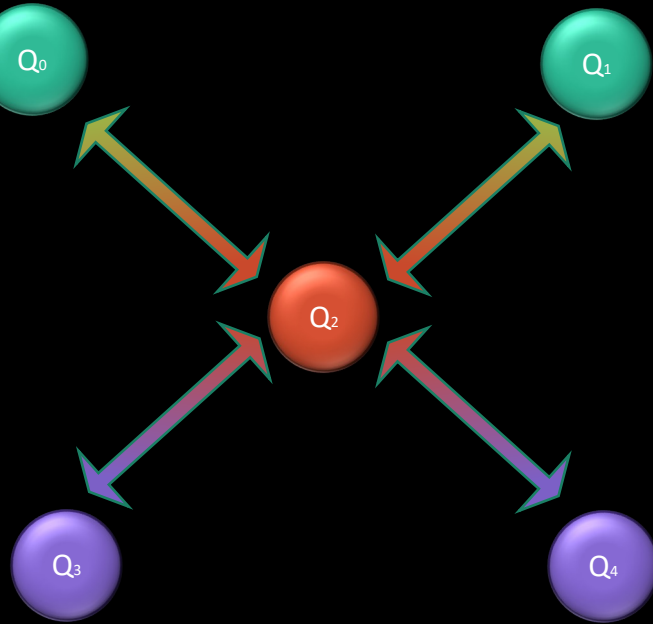
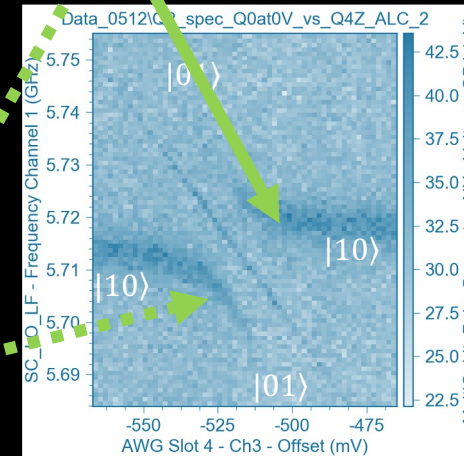
Systematic investigation on 2-qubits entanglement



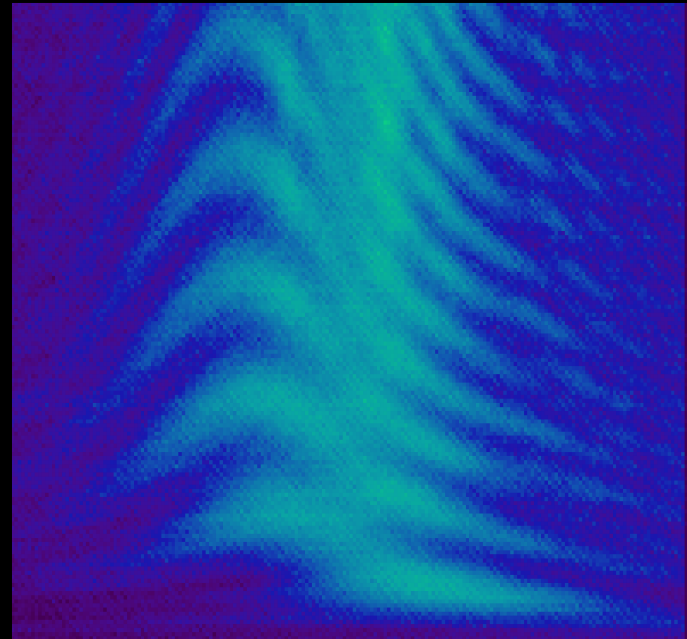
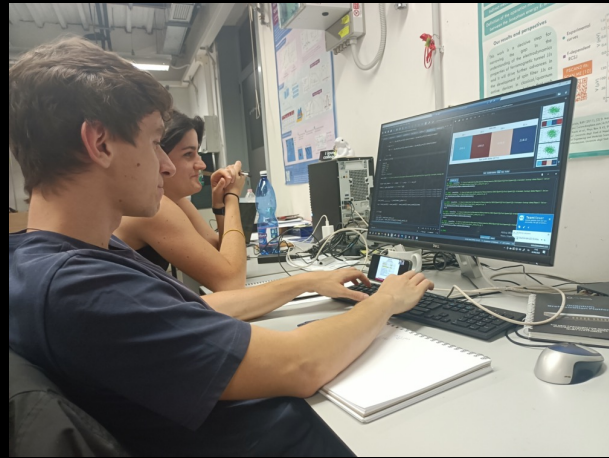
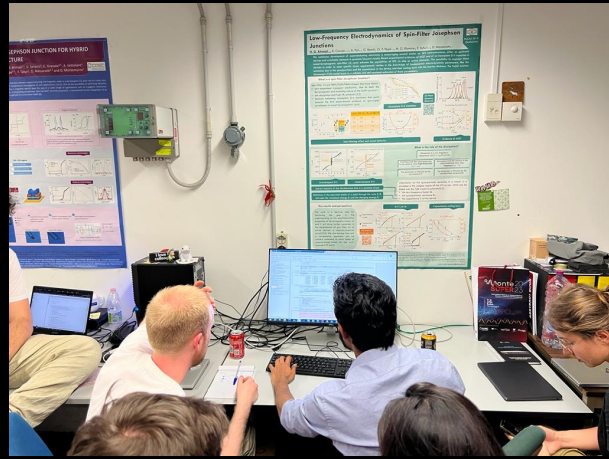
$$|\Psi_a\rangle = 1/\sqrt{2}(|01\rangle - |10\rangle)$$



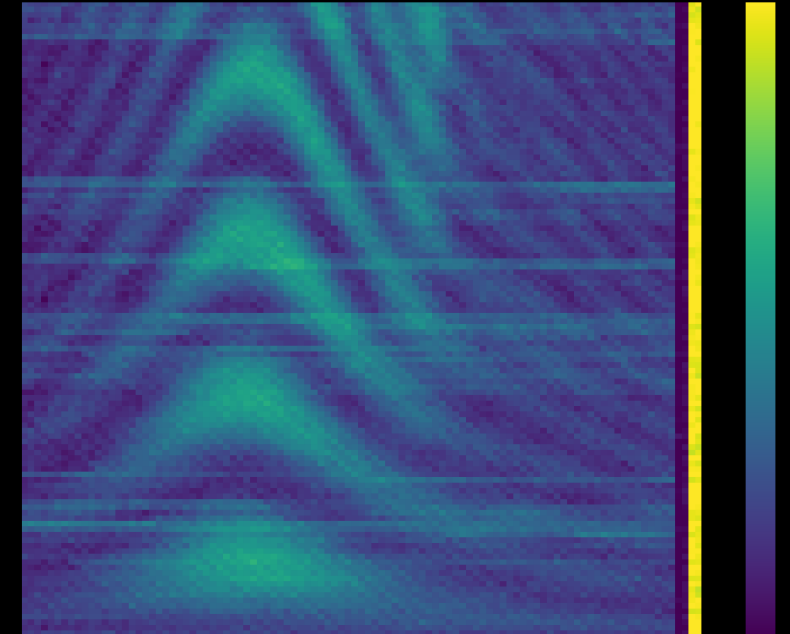
$$|\Psi_s\rangle = 1/\sqrt{2}(|01\rangle + |10\rangle)$$



Controlled exchange of energy between two qubits: CZ gates optimization and calibration



Pre-calibration (distorted pattern)

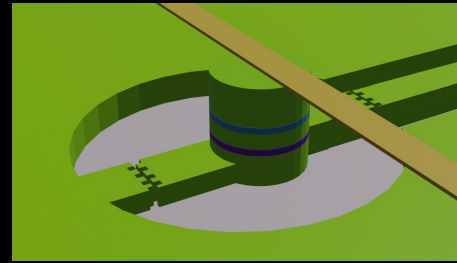
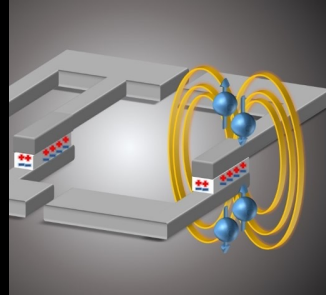
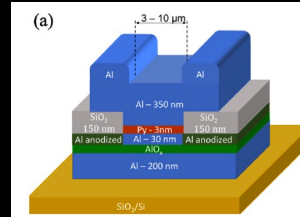
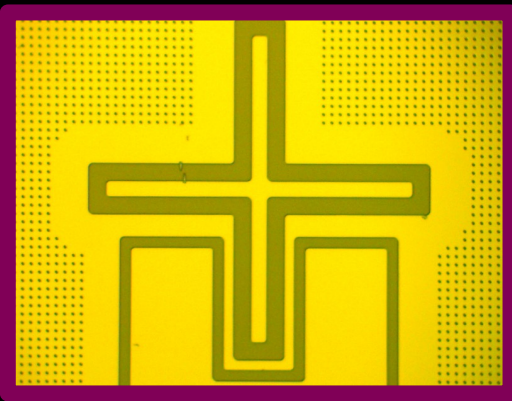


After-calibration (symmetric pattern)

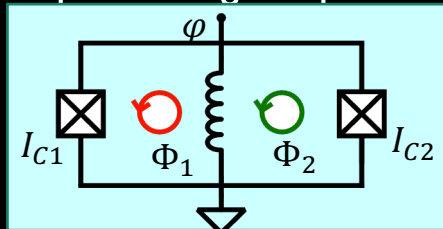
Made in Napoli

Hardware

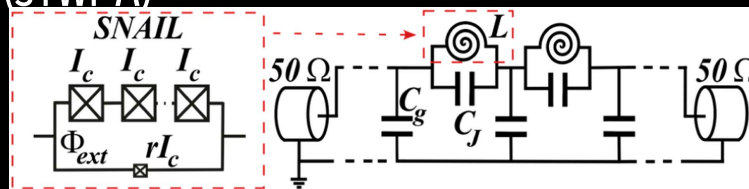
Transmon qubit based on ferromagnetic JJs-ferrotransmon



Josephson digital phase detector



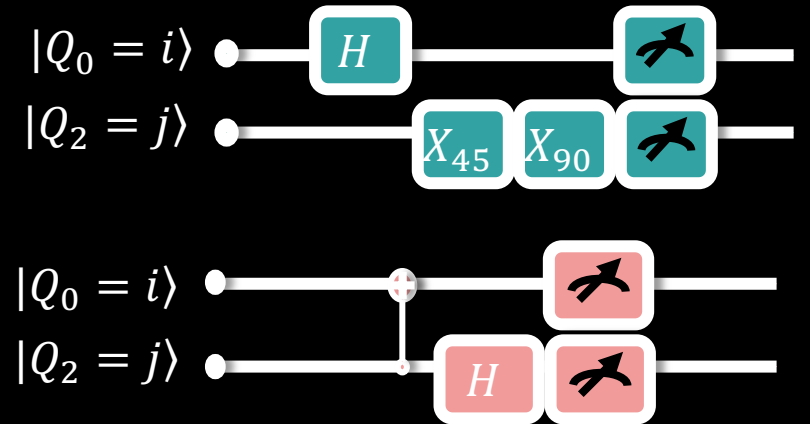
Josephson Travelling wave parametric amplifier (JTWA)



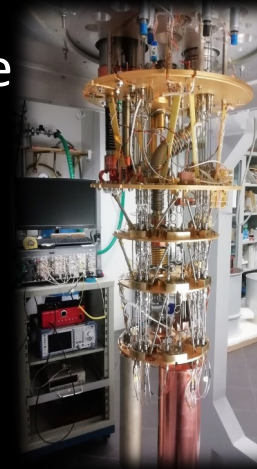
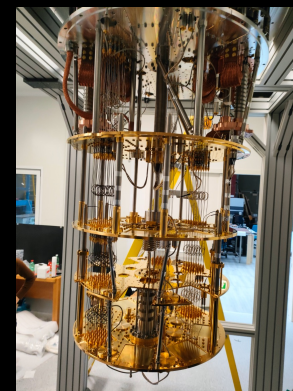
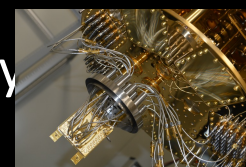
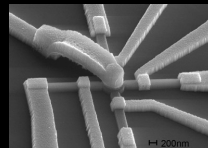
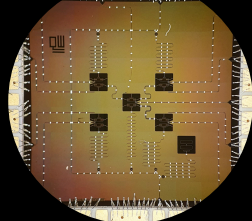
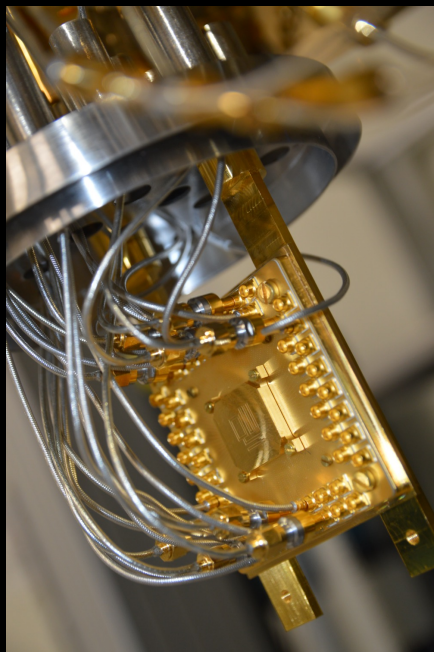
On-chip microwave source of coherent states in superconducting quantum circuits

Software

Mitigating Errors on Superconducting Quantum Processors through Fuzzy Clustering



Flexibility in building Hamiltonians (Hamiltonian Engineering) control & read out



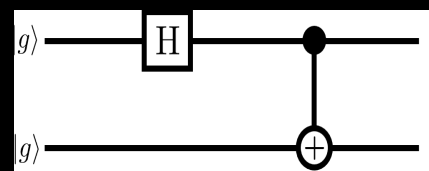
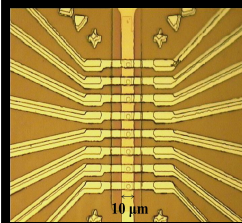
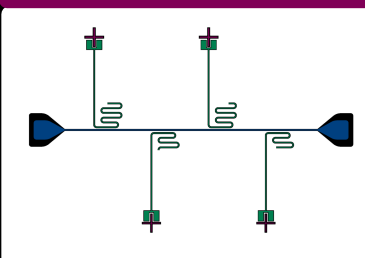
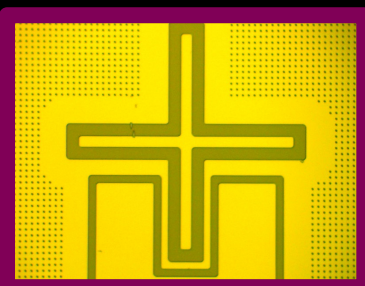
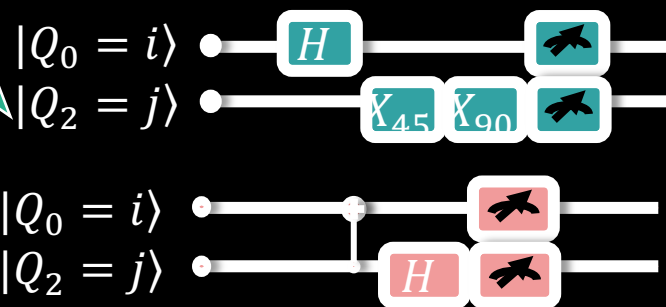
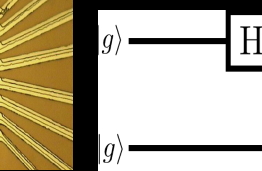
Hybrid & Engineering

Fabrication & nanotechnology

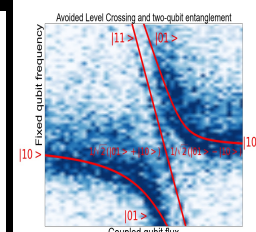
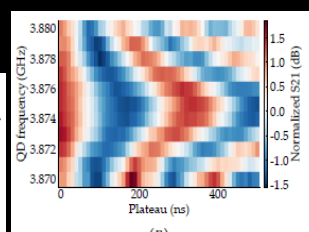
Concepts, Design & layout

Measurement, operation, software control quantum algorithms

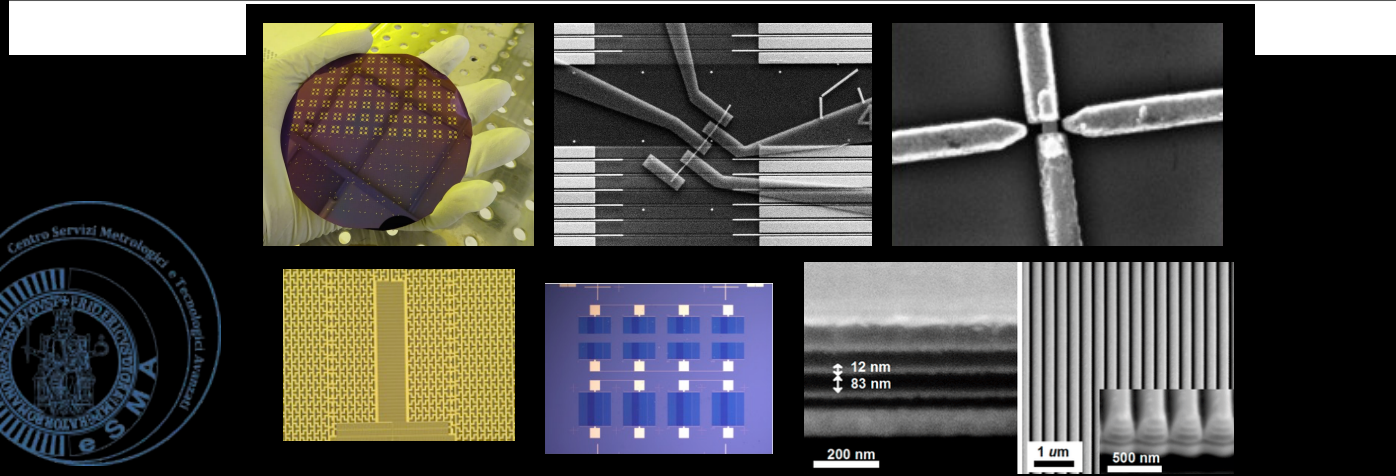
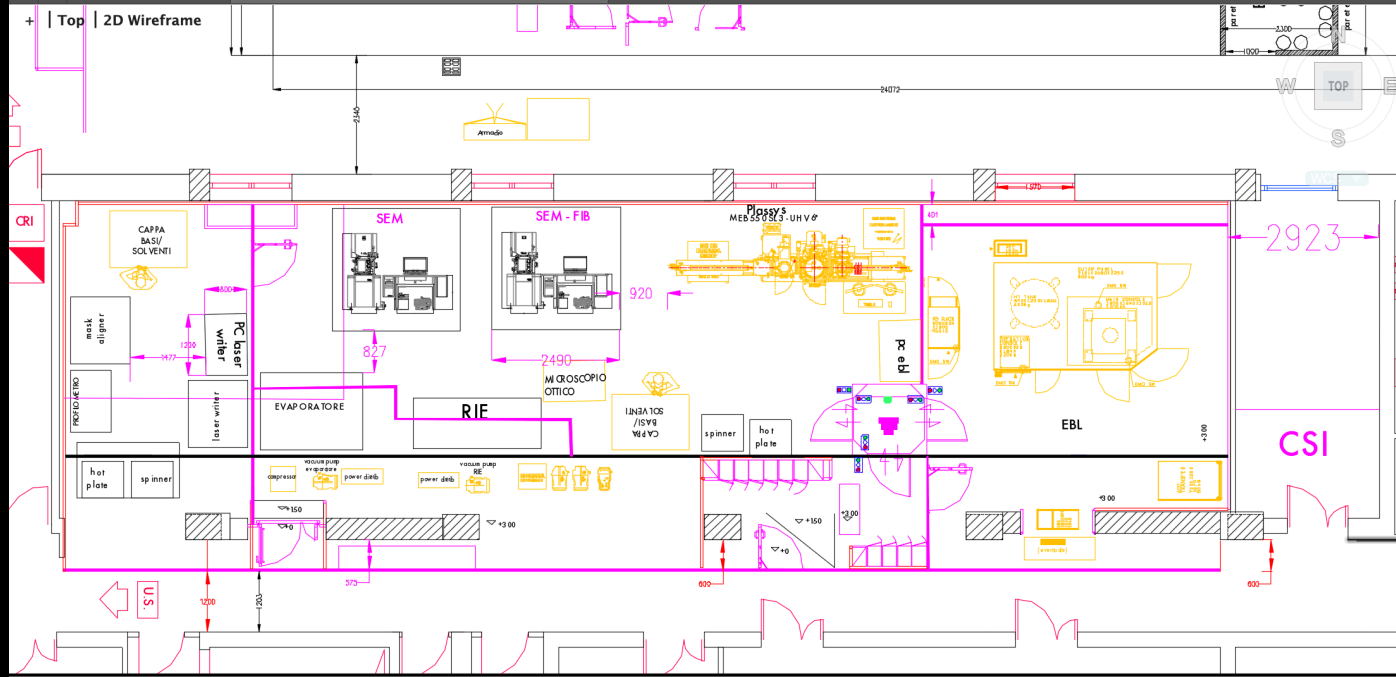
Intellectual property, external services, ...



Prepared state	$ 00\rangle$	$ 01\rangle$	$ 10\rangle$	$ 11\rangle$
$ 00\rangle$	46.32	4.08	6.58	43.03
$ 01\rangle$	7.89	41.97	38.03	12.11
$ 10\rangle$	45.00	6.05	10.00	38.95
$ 11\rangle$	5.00	48.03	43.03	3.95



UniNAno: Nanotech facility



DIPARTIMENTO DI INGEGNERIA ELETTRICA
E DELLE TECNOLOGIE DELL'INFORMAZIONE



UNIVERSITÀ DEGLI STUDI DI NAPOLI FEDERICO II - DIPARTIMENTO DI
FISICA "ETTORE PANCINI"

I protagonisti

Davide Massarotti, Halima G. Ahmad, Domenico Montemurro, Roberta Satariano, Anna Levochkina, Pasquale Mastrovito, Carlo Cosenza, Viviana Stasino, Giuseppe Serpico, Giovanni Ausanio, Loredana Parlato, Nicola Poccia, Giampiero Pepe & Francesco Tafuri



Martina Esposito, Pegah Darvehi, Isita Chatterjee (SPIN)



Marco Arzeo, Luigi Di Palma
and Oleg Mukanhov

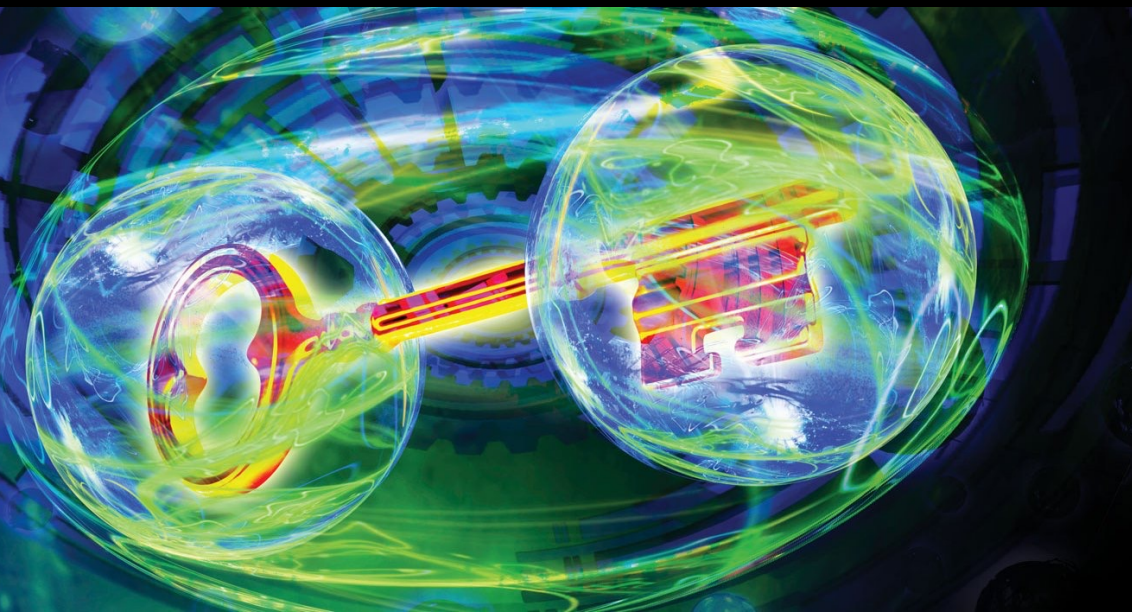


Alessandro Bruno, Raffaella Ferraiuolo

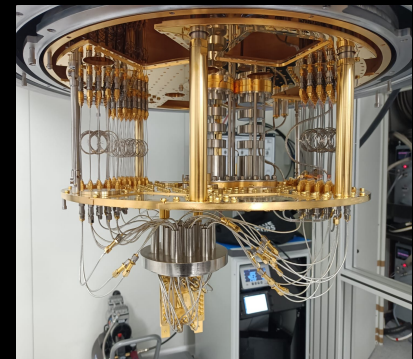
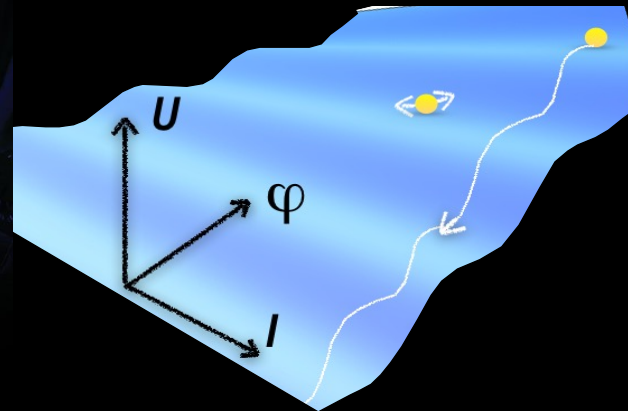


Antonio Barone

Incerto, quantistico e infine reale



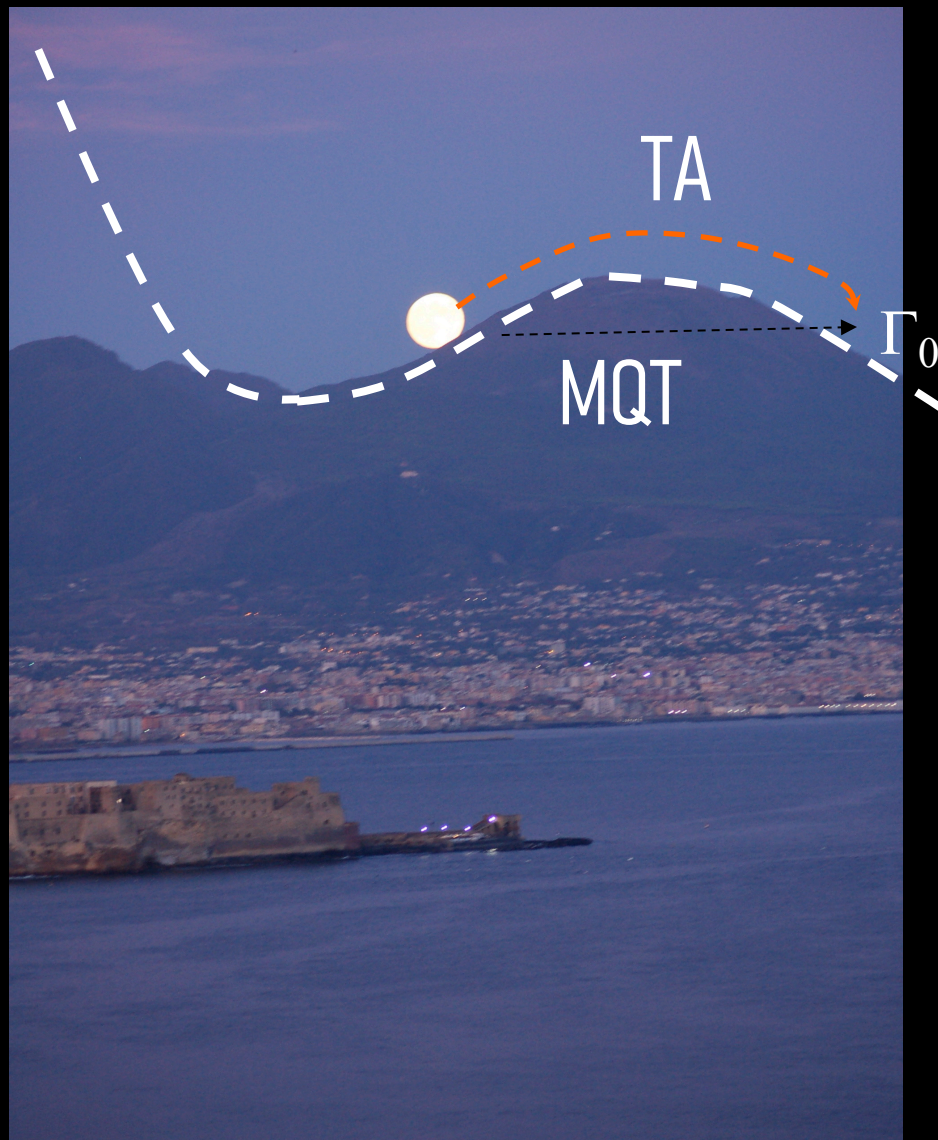
$$-\frac{\hbar^2}{2m} \nabla^2 \psi(\vec{r}, t) - \frac{e^2}{r} \psi(\vec{r}, t) = E \psi(\vec{r}, t)$$



The sense of Macroscopic



The sense of Macroscopic



In bocca al lupo per il vostro futuro

Bibliografia

Quantum Physics , *Eisberg & Resnick*, Wiley editor

Quantum Theory: a graphic guide to Science's most puzzling discovery, *McEvoy & Zarate*

Quantum : A Guide for the Perplexed, *J. Al-Khailili*,
Sterling Editor